

ATATÜRK ÜNİVERSİTESİ
FEN BİLİMLERİ ENSTİTÜSÜ
KİMYA ANABİLİM DALI

KUŞBURNU MEYVASINDAN İZOLE EDİLEN POLİFENOL OKSİDAZ
ENZİMİN KİNETİK VE ELEKTROFORETİK ÖZELLİKLERİNİN
İNCELENMESİ

Halis ŞAKIROĞLU

Yönetici : Doç.Dr.Ö.İrfan KÜFREVİOĞLU

Doktora Tezi

ÖZET

Bu çalışmada, kuşburnu meyvasından polifenol oksidaz enzimi izole edilerek, çeşitli kinetik ve elektroforetik özellikleri incelenmiştir. Bu amaçla, 8 ayrı substrat için K_M ve V_{max} değerlerini belirlemek üzere optimum şartlar (pH, sıcaklık ve iyonik şiddet) tespit edildi. Optimum şartlarında 5 farklı substrat konsantrasyonunda aktivite ölçümleri yapıldı. K_M değerleri katekol, 4-metil katekol, L-dopa, dopamin, gallik asit, pirogallol, L-tirozin ve p-kresol için sırasıyla 7.41×10^{-3} M, 6.06×10^{-4} M, 2.82×10^{-3} M, 2.64×10^{-3} M, 2.79×10^{-3} M, 8.27×10^{-4} M ve 8.63×10^{-5} M; V_{max} değerleri ise aynı substratlar için 41.66, 431.96, 45.45, 42.48, 111.11, 111.73, 142.85 ve 40.00 EÜ/ml dak. olarak bulundu.

Inhibitör çalışmalarında substrat olarak 4-metilkatekol kullanılarak, sodyum metabisülfit, L-sistein, askorbik asit, glutatyon, tiyoüre, sodyum azotür, sodyum dietilditiyokarbamat, ditiyoeritritol, tannik asit, benzoik asit ve β -merkaptoetanol inhibitörleri ile çalışıldı. Lineweaver-Burk grafikleri yardımıyla bu inhibitörler için K_i sabitleri ve inhibisyon türleri bulundu. Ayrıca I_{50} değerleri tespit edildi. K_i sabitleri ve I_{50} değerlerine göre en etkili inhibitörün sodyum metabisülfit olduğu ve kompetitif inhibisyon etkisi gösterdiği belirlendi.

Enzimin sıcaklık artışına paralel olarak daha kısa sürede denatüre olduğu sıcaklığın düşürülmesi ile renatüre olduğu gözlandı.

Enzim saflaştırılmışa işlemlerinde, jel filtrasyon kromatografisi ve iyon değişim kromatografisi ile iki pikin elde edilmesi ve tabii elektroforez ile iki bantın gözlenmesi iki izoenziminin varlığını gösterdi.

SUMMARY

The polyphenol oxidase enzyme was extracted from doge rose fruit and its kinetic and electrophoretic features were investigated in this study.

For this purpose, optimum conditions, i.e., pH, temperature and ionic strength, affecting the values of K_M and V_{max} for eight different substrates were determined. The assay of activites were carried out in the optimum conditions for five different concentrations of the substrate. The values of K_M for catechol, 4-methyl catechol, L-dopa, dopanine, gallic acid, pyrogallol, L-tyrosine and p-Cresol are 7.41×10^{-3} M, 8.46×10^{-3} M, 6.06×10^{-4} M, 2.82×10^{-3} M, 2.64×10^{-3} M, 2.97×10^{-3} M, 8.27×10^{-4} M, and 8.63×10^{-5} M. and V_{max} values for the same substrates were found 4.66, 431.96, 45.45, 42.48, 111.11, 111.73, 142.85, and 40.00 EU/ml min. respectively.

In inhibitor studies, 4-methyl catechol substrate was employed with sodium metabisulphite, L- cysteine ascorbic acid, glutathione thiourea, sodium azide sodium diethyl-dithiocarbamat, benzoic acid, dithioerythritol, tannic acid and β -mercaptoethanol inhibitors for the investigation. K_i constants and the types of inhibition of these inhibitors were found by using Lineweaver-Burk graphics. In addition, the values of I_{50} were found. Sodium metabisulfite is found to be the most effective inhibitor and to display competitive inhibition effect on the basis of the K_i constants.

It was observed that the enzyme was denatured as the temperature increased, it was renaturated as the temperature decreased.

In the processes of enzyme purification, the presence of two peaks obtained with gel filtration chromatography and ion-exchange chromatography and of two bands observed from nature polyacrylamid gel electrophoresis show that there are two distinct isoenzymes of the enzyme.

TEŞEKKÜR

Doktora tezi olarak sunduğum bu çalışma, Fen-Edebiyat Fakültesi Kimya Bölümü Biyokimya Anabilim Dalı Başkanı Sayın Doç.Dr.Ö.Irfan KÜFREVİOĞLU yönetiminde Fen-Edebiyat Fakültesi Biyokimya Laboratuvarında gerçekleştirilmiştir.

Başta, doktora çalışmalarımın her safhasında büyük yardım ve desteğini gördüğüm sayın hocam Doç.Dr. Ö.Irfan KÜFREVİOĞLU'na şükranlarımları arzederim.

Ayrıca çalışmalarımda maddi ve manevi desteklerini gördüğüm Kimya Bölümü Başkanı Sayın Prof.Dr.Metin BALCI ve bölümümüz öğretim üyelerinden Prof.Dr.Yaşar SÜTBEYAZ'a; tezimin yazılmasında yardımcılarını gördüğüm Doç.Dr. Nihat AKBULUT'a, Doç.Dr. Hasan SEÇEN'e, Yrd.Doç.Dr. Abdullah MENZEK'e, Yrd.Doç.Dr.Yavuz ONGANER'e, Öğr.Gör. A.Emin ÖZTÜRK'e, Yrd. Doç.Dr. Yunus KARA'ya, Arş.Gör. Oktay ASLAN'a, Zeki TURAN'a ve bölümümüz bütün elemanlarına teşekkürü bir borç bilirim.

Nisan - 1994

Halis ŞAKIROĞLU

İÇİNDEKİLER

	Sayfa No
1. GİRİŞ.....	1
1.1. Polifenol Oksidaz Enzimi.....	1
1.1.1. Enzimatik Kararma.....	1
1.1.2. Polifenol Okzidazın Tabiatındaki Dağılımı.....	1
1.1.3. Polifenol Oksidazın Biyokimyası.....	3
1.1.3.a. Adlandırılması.....	3
1.1.3.b. Katalizlediği Reaksiyonlar.....	3
1.1.3.c. Polifenol Oksidazın Substratları.....	5
1.1.3.d. PPO Aktivitesinin Optimum pH ve Sıcaklığı.....	11
1.1.3.e. PPO'nın Isı Stabilitesi.....	13
1.1.3.f. PPO'ın Aktivatörleri.....	13
1.1.3.g. PPO'ın Inhibitörleri ve Enzimatik Kararmanın Önlenmesi.....	14
1.1.4. Enzimatik Kararma Reaksiyonlarında Bakırın Rolü	18
1.1.5. O-Kinonların Sekonder Reaksiyonları.....	19
1.1.5.a. Çiftleşmiş Oksidasyon	20
1.1.5.b. Amino asitler ve Proteinlerle Kompleks Oluşumu	20
1.1.5.c. Kinon Oluşumundan Sonra Polifenollerin Polimerleşmesi.....	21
1.1.6. PPO'ın Ekstraksiyonu, Saflaştırılması, Homojenliği ve Molekül	
Ağırlığı	22
1.1.6.a. Ekstraksiyon	22
1.1.6.b. Saflaştırma.....	24
1.1.6.c. PPO Enziminin Homojenitesi ve Molekül Ağırlığı.....	24
1.1.7. Enzim Aktivitesi Tayin Metodları.....	25
1.1.8. PPO'ın Tabiatta ve Gıda İşletmeciliğindeki Rolü	27
1.2. Çalışmanın Amacı	29
2. MATERİYAL VE YÖNTEMLER.....	31
2.1. Kullanılan Kimyasal Madde ve Malzemeler.....	31
2.2. Faydalanan Alet ve Cihazlar.....	31
2.3. Kullanılan Çözeltilerin Hazırlanması.....	32
2.4. Yöntemler.....	35
2.4.1. Protein Tayini.....	35
2.4.1.a. Kalitatif Protein Tayini.....	35

2.4.1.b. Coomassie bleu Yöntemiyle Kantitatif Protein Tayini.....	35
2.4.2. Polifenol Oksidaz Enzim Aktivitesi Tayini.....	36
2.4.3. Kuşburnu Polifenol Oksidaz Enziminin İzolasyonu ve Saflaştırılması Çalışmaları.....	36
2.4.3.a. Kuşburnu Meyvasının Temini ve Ham Ekstrakt Hazırlanması	36
2.4.3.b. Amonyum Sülfatla Çöktürme ve Diyaliz.....	37
2.4.3.c. Jel Filtrasyon Kromatoğrafisi.....	37
2.4.3.d. DEAE-Sephacel İyon Değişim Kromatografisi	38
2.4.3.e. SDS - Poliakrilamid Jel Elektroforezi.....	39
2.4.4. Kuşburnu Polifenol Oksidaz Enzimi ile İlgili Kinetik Çalışmalar.....	42
2.4.4.a. Optimum pH Çalışması	42
2.4.4.b. Optimum Sıcaklık Çalışması	42
2.4.4.c. İyonik Şiddet Etkisi Çalışması	43
2.4.4.d. Enzimin Stabil Olduğu pH'nın Belirlenmesi Çalışması.....	43
2.4.4.e. Farklı Substratlar İçin Optimal Şartlarda K_M ve V_{max} değerlerinin Bulunması	43
2.4.4.f. Farklı İnhibitörler için K_i Sabitlerinin ve I_{50} Değerlerinin Bulunması.....	44
2.4.5. Aktivasyon Enerjisinin Hesaplanması	46
2.4.6. Sıcaklıkla Denatürasyon ve Renatürasyon Özelliklerinin Araştırılması.....	46
2.4.7. Kuşburnu Polifenol Oksidaz İzoenzimlerinin Tabii Şartlarda Poliakrilamid Jel Elektroforezi ile Belirlenmesi.....	47
3. DENEY SONUÇLARI.....	49
3.1. Kantitatif Protein Tayini İçin Kullanılan Standart Grafik.....	49
3.2. Amonyum Sülfatla Çöktürme Sonuçları	49
3.3. Polifenol Oksidaz Enziminin Jel Filtrasyon Kromatografisiyle Saflaştırılması.....	50
3.4. PPO Enziminin DEAE-Selüloz İyon Değişim Kromatografisiyle Saflaştırma Sonuçları.....	52
3.5. Sodyum Dodesilsülfat Poliakrilamid Jel Elektroforez Sonucu.....	53
3.6. Farklı Substratlar İçin pH-Aktivite Grafikleri	54
3.7. Farklı Substratlar İçin Sıcaklık-Aktivite Grafikleri.....	54
3.8. İyonik Şiddet Etkisi Çalışmasının Sonuçları.....	63

3.9. Enzimin Stabil Olduğu pH Çalışması Sonuçları.....	63
3.10. Aktivasyon Enerjileri.....	63
3.11. Farklı Substratlar için K_M ve V_{max} Değerlerinin Bulunmasına Yönelik Çalışmaların Sonuçları.....	69
3.12. Farklı İnhibitörler İçin K_i Sabitlerinin ve I_{50} Değerlerinin Bulunmasına Yönelik Çalışmaların Sonuçları.....	73
3.13. Sıcaklıkla Denatürasyon ve Renatürasyon Çalışmalarının Sonuçları.....	89
3.14. Tabii Şartlarda Poliakrilamid Jel Elektroforezi Çalışması Sonuçları.....	90
4. TARTIŞMA	9 2
KAYNAKLAR	1 0 0

KISALTMALAR

PPO	: Polifenol oksidaz enzimi
E.C.	: Enzim kod numarası
EÜ	: Enzim Ünitesi
TEMED	: N,N, N', N', tetrametil etilen diamin
PVP	: Polivinilpirolidon
PVPP	: Polivinilpolipiroldon
SDS	: Sodyum dodesilsülfat
DIECA	: Sodyum dietilditiyokarbamat
Tris	: Trihidroksimetilaminometan
TCA	: Triklor asetik asit
PEG	: Polietilenglikol
DEAE	: Dietilaminoetil
PER	: Amonyum persülfat
PAGE	: Poliakrilamid jel elektroforezi
EA	: Aktivasyon enerjisi
I ₅₀	: Yüzde elli inhibisyonaya sebep olan inhibitör konsantrasyonu

1. GİRİŞ

1.1. Polifenol Oksidaz Enzimi

1.1.1. Enzimatik Kararma

Bir çok meyva ürünlerinde esmerleşme, genel adıyla bilinen renk değişimeleri meydana gelmektedir. Bunlar bir dereceye kadar istenir, ancak çoğu kez arzu edilen seviyede durdurulamadıklarından gıda ürününün tabii rengini bozarlar. İşinin şekerlere etkisiyle meydana gelen karamelizasyon, indirgen şekerlerle proteinlerin etkileşmesinden ortaya çıkan bazı renk bozulmaları, enzimatik olmayan kimyasal reaksiyonlardan kaynaklanmaktadır. Enzimatik renk kararmalarının çoğunda, oksijen varlığında polifenol oksidaz (PPO) enziminin, özellikle o-difenol grubu, fenolik maddeleri renkli bileşiklere yükseltmesi söz konusudur. Enzimatik kararma, bitki tür ve çeşidine göre farklı olduğundan bu olayda PPO enzimi, fenolik substratlar ve askorbik asitin ayrı ayrı veya birlikte etkili olabileceği belirlenmiştir¹. Bu üç faktörden, yani fenolik madde, O₂ ve PPO enziminden birinin ortadan kaldırılması ile enzimatik kararmaları durdurulabilir veya azaltılabilir².

Genellikle bitkisel ürünlerin toplanması ve depolanması sırasında bitki dokularının mekanik bir etkiye (basınç, yaralanma, donma, preslenme vb.) zarar görmesi sonucu ortaya çıkan enzimatik kararma, bazı ürünlerde istenmeyen renk, koku ve tad oluşumuna neden olmakta ve sonuçta ürünlerin gıda değerinde önemli derecede kayıplar oluşturmaktadır³.

1.1.2. Polifenol Okzidazın Tabiatattaki Dağılımı

Polifenol oksidaz tabiatta geniş bir alana yayılmıştır. Genel olarak bitkilerde bulunursa da, özellikle mantar ve hayvan organlarındaki bazı mikroorganizmalarda da bulunabilir⁴. Farklı kültürlerdeki PPO muhtevası tür ve kültürlerle bağlı olarak değişir⁵.

Enzimin bitki hücresindeki konumu, meyva ve sebzenin türü ve yapı olgunluğuna bağlı olarak değişmektedir. Yeşil yapraklarda PPO aktivitesinin önemli bir kısmı kloroplastlarda bulunmaktadır^{6,7}.

Patates yumrularının bütün hücre organellerinde PPO bulunduğu tesbit edilmiştir. PPO muhtevasının hemen hemen protein muhtevasıyla orantılı olduğu bulunmuştur⁸.

Ispanak pancarı gövdesinde aktivitenin çoğu plastid membranlarında ve mitokondrilerde yer almaktadır⁹. Taze olarak hasat edilen elmalarda enzimin daha ziyade kloroplastlarda ve mitokondrilerde yer aldığı tesbit edilmiştir¹⁰. Ispanak, yonca, yulaf, büğday, bezelye ve şekerkamışı yaprakları gibi bazı türlerde enzim, kloroplastlarda gizlidir ve aktive edilmesi için tripsin veya kırmızı ışığa ihtiyaç duyulur⁷. Asma yapraklarında hücre partiküllerine sıkıca bağlı bulunan PPO kafein ile aktive edilebilir¹¹. Bakla yapraklarındaki PPO'ın aktive edilmesi için asidik veya bazik ortama ihtiyaç duyulurken¹², patates, mantar, mısır yaprağı, domates ve fasulyede hücre partiküllerine bağlı veya kloroplastlarda yer alan enzim gizlilik arz etmez^{7,11}.

Stanley eriklerinde etli kısmındaki ham enzim aktivitesi kabuğundakinden 3,5 kat daha büyük olduğu belirtilmiştir¹³. Brezilyanın değişik muz türlerinde yapılan çalışmalarda enzim aktivitesinin kabukta, iç kısmından (pulp) ve dış kısmından sırasıyla 8,9 ve 10 kat daha büyük olduğu bulunmuştur¹⁴.

Enzim aktivitesi üzümde, pulp veya özsuya nazaran kabukta daha fazla bulunmuştur ve olgunlaşma esnasında aktivite azalması kabukta daha belirgin olmuştur⁹. Bazı araştırmacılar kabukta daha yüksek aktivite bulurken¹⁵, bazıları çekirdek bölgesindende daha fazla aktivite olduğunu tesbit etmiştir¹⁶. Elmada polifenol oksidaz aktivitesi, o-dihidroksi fenol bileşeni kararma eğiliminin büyük oranda kültüre bağlı olduğu bazı yazarlar tarafından rapor edilmiştir^{17,18}. Herhangi bir elma kültürünün kararma eğilimi birkaç yıl için kararlıdır¹⁹ ve farklı klimatik şartlar veya farklı coğrafik bölgelerde bu kararlılık pek fazla değişmemektedir^{17,18}. Farklı kültürlerdeki elma dokularının kararma hızı fazla olmamakla birlikte PPO substratlarının çeşidine bağlıdır²⁰. Enzimin armuttaki dağılımı elmadakine benzer bulunmuştur. Her iki meyvanın özsuları pratik olarak aktiviteden yoksundur. Aktivitenin hemen hemen tamamı pulpta kalmaktadır²¹. Tatlı kirazlarda pH 4,7 ve 7,0 de ölçülen aktivite değerleri meyve olgunlığında aniden yükselmektedir²². Zeytinlerden olgunlaşma esnasında o-difenol konsantrasyonu arttığı halde enzim aktivitesi azalmaktadır. Temel olarak siyah zeytin türlerinde enzim çözünebilir haldeyken, olgun yeşil meyvalarda kloroplastlara sıkı sıkıya bağlı olarak bulunmaktadır²¹. Amasya ve Golden türü elmalar üzerinde yapılan bir çalışmada, Amasya türünün Golden'e göre daha fazla PPO aktivitesine sahip olduğu bulunmuştur²³.

Birçok meyvada enzimin çözünmeyen kısmı daha fazla bulunmuştur. Çözünen kısmın aktivitesi, toplam aktivitenin şeftalilerde %20-30, tatlı kirazlarda %15-17, kayısıda %13 ve elmalarda %8-15'i olarak bulunmuştur²⁴.

Kuşburnu meyvasında PPO enzimi, ilk defa tarafımızdan izole edilerek kinetik ve elektroforetik özellikleri incelenmiştir.

1.1.3. Polifenol Oksidazın Biyokimyası

1.1.3.a. Adlandırılması

Bitki PPO'ların uluslararası adlandırılması yakın zamanlarda yeniden değiştirilmiş ve monofenol mono oksigenaz [Tirozinaz E.C. 1.14. 18.1] ile difenol oksidaz (catekolaz; difenol: O₂ oksidoredüktaz: E.C.1.10.3.2) olarak adlandırılmıştır^{13,25,26,27,28,-29,30}.

Bu yeni adlandırma önceden kresolaz ve catekolaz aktivitelerinde bilindiği gibi aynı enzimin iki reaksiyonları arasında farkı belirttiğinden dolayı yeni bir gelişme sayılmaz. Aynı zamanda mantarlardan ve yeşil bitkilerden elde edilen lakkazlar aynı enzim kod numarasıyla verilirler (E.C. 1.10.3.1).

Diğer bazı yaynlarda da polifenol oksidazlar, [difenol: O₂ oksidoredüktaz, polifenol-oksidaz (PPO) E.C.1.10.3.1] olarak verilmiştir^{14,31,32,33}.

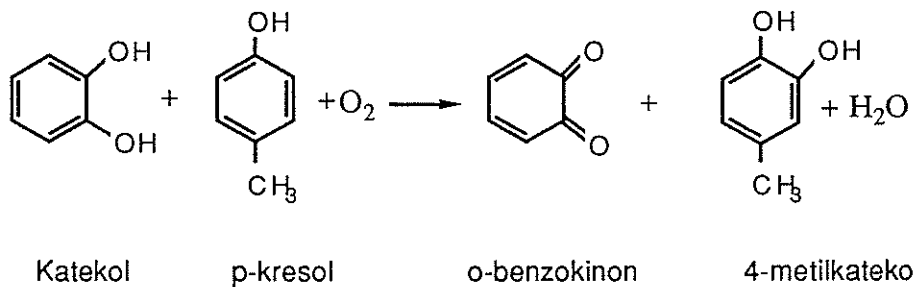
PPO lar; fenolaz, fenol oksidaz, polifenol oksidaz o-difenol oksidaz, tirozinaz, catekol oksidaz ve klorogenik asit oksidaz olarak adlandırıldıkları da bilinmektedir³⁴.

1.1.3.b. Katalizlediği Reaksiyonlar

Moleküler oksijen varlığında PPO enzimi tarafından iki tip reaksiyon katalizlenmektedir.

- a) Monofenollerin hidroksilasyonu ile o-dihidroksifenollerin oluşturulması,
- b) Dihidroksi fenollerin o-kinonlara oksidasyonu .

Bu reaksiyonlar aşağıdaki gibi bir basit şekilde gösterilebilir.



Monofenollerin hidroksilasyonu sonucu oluşan dihidrokisifenoller, yine PPO enzimi tarafından katalizlenen bir reaksiyonla o-kinonlara dönüştürülür. Oluşan kinon birimleri polimerleşerek kararmayı meydana getirir³⁵.

Ortamda askorbik asit veya o-dihidroksi fenollerin bulunması halinde oksidasyon potansiyeli, askorbik asit veya o-dihidroksi fenolün indirgenmesi için harcanır. Ancak bu işlem tamamlandıktan sonra hidroksilasyon reaksiyonu başlayabilir³⁶.

Monofenollerin hidroksilasyonu ve o-dihidroksi fenollerin oksidasyonu reaksiyonlarının, aynı enzim tarafından katalizlenip katalizlenmediği konusunda farklı düşünceler ileri sürülmüştür^{37,38}. Bu konudaki bazı görüşler şöyle özetlenebilir:

1. Hidroksilasyon enzimatik bir proses değildir, fakat o-dihidroksi fenollerden kinonlarının oluşumu PPO tarafından katalizlenmektedir.
2. Her iki reaksiyona da iki ayrı protein molekülünden ibaret enzimin faaliyeti sebep olmaktadır.
3. Her iki reaksiyon da enzimatiktir, fakat katalizin aynı veya ayrı ikinci dereceden önemli olan enzimler vasıtasiyla gerçekleştirilmiş gerçekleştirmemiş açık değildir.
4. Reaksiyonlar, iki aktif bölgeye sahip olan bir enzim tarafından katalizlenir.
5. Her iki reaksiyon da enzimin aynı aktif bölgesi tarafından yürütülür. Ancak enzimin prostetik grubu veya bakırın değerliği ortama göre sürekli değişir.

Bugün o-dihidroksi fenollerin dehidrogenasyon ve mono fenollerin hidroksilasyonu reaksiyonlarının her ikisininde, iki ayrı bölgeye sahip aynı PPO enzimi tarafından katalizlendiği düşüncesi daha fazla rağbet görmektedir³⁹. Bununla birlikte son zamanlarda en güçlü tartışmalardan birini oluşturan "iki aktivite; ultrasantrifüj ve elektroforez teknikleriyle ayrılamaz." teorisi çürüttülmüş görülmektedir. Maydanız

hücrelerinden bir preparasyonda dehidrogenasyon ve hidroksilasyon reaksiyonlarını gerçekleştiren protein kısımlarının DEAE-selüloz kolonu üzerine yapılan iyon değişim kromatoğrafisiyle ayrıldığı bilidirilmiştir³⁹.

Muz PPO ile yapılan bir çalışmada ilginç bir sonuç olarak enzimin, reaksiyonun ilerlemesiyle inaktif olduğu gözlenmiştir⁴⁰. Bu olay, aktif bölgenin çevresindeki enzim ile bir kovalent bağ oluşturduğu kabul edilen ortamda var olan kinonun hareketine atfedilir⁴¹.

Enzimin Cu muhtevası, PPO molekülü başına mantarda 4, viciafaba'da 1 atom Cu olduğu bulunmuştur^{42,43}. Bakır konsantrasyonları mantarda %0,2-0,3 patateste %0,2, tatlı patateste %0,27 ve tütünde %0,32 olarak bulunmuştur^{42,44}.

Hidroksilasyon reaksiyonu bakırın tek değerlikli formda olmasını gerektirir ve bu form dehidrojenasyon basamağıyla sağlanır. Bakırın iyon değişim kromatoğrafisi gibi bir metodla uzaklaştırılması sonucu aktivite kaybolur ve bakırın ilavesiyle aktivite yeniden kazanılır^{45,46}.

Dihidroksi fenollerin PPO tarafından oksidasyonu düzenli seri bir mekanizmasıyla gerçekleşir⁴¹. Patatesten elde edilen enzim için oksijen ilk substrat olarak rapor edilirken³⁶, diğer çalışmalarında substrata bağlı olarak farklı mekanizmaların olduğu bulunmuştur³⁴. Son zamanlarda reaksiyonun, enzimin aktif bölgesinde yer alan bakırın değerliğinin değişmesi sonucu bir radikal oluşumuyla gerçekleştiği gösterilmiştir⁴⁷.

Lakkazda saf halde koyu mavi renkte olan ve bakır ihtiiva eden bir enzimdir. PPO dan lakkaz substrat spesifikliği ve inhibitörlerle karşı olan ilgisi yoluyla ayırdedilebilir. Lakkaz, PPO'ın substratı olan tirozin ve p-kresol ile bir reaksiyon vermezken, p-fenilendiamin ve guinolu kolaylıkla oksitler⁴⁸.

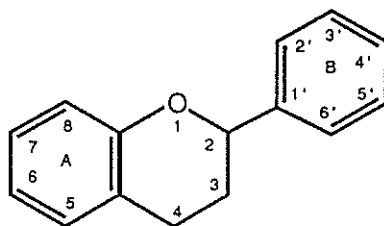
1.1.3.c. Polifenol Oksidazın Substratları

Meyva ve sebzeler oldukça fazla çeşitli fenolik bileşik ihtiiva ederler. Bununla birlikte bunların sadece bir kısmı PPO'ın substratlarıdır⁴⁹. PPO'ın meyva ve sebzelerdeki en yaygın tabii substratları, flavonoid tipi fenollerle, basit fenollerdir^{49,50}. Flavonoidler, bitkilerin yenilebilir kısmı ile kök, gövde, yaprak, meyva ve tohum kısımlarında bulunurlar. Bitkilerin hiçbirinde flavonoidler

konsantrasyon olarak belirli bir noktada bulunmamışlardır. Bitkilerin muhtelif bölümlerinde eşite yakın olarak dağılmışlardır. Bitkinin farklı kısımlarında en azından eser miktarda flavonoid bileşiklerine rastlanmıştır⁵¹. Değişik konsantrasyonlardaki polifenoller yenilebilir ürünlerin çoğunda, karma reaksiyonlarının vuku bulması için yeterli sebeptir.

Bitkilerdeki tabii olarak bulunan farklı türdeki flavonoid bileşiklerinden yalnızca, katekinler, lökoantosiyanyanidinler, antosiyanyanler, flavonoller ve sinnamik asit türevleri besinlerin önemli bir kısmını teşkil ederler.

Flavonoidlerin kimyasal yapısı (I);



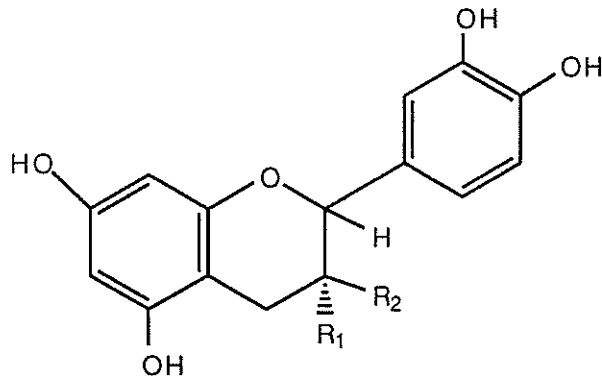
(I)

şeklinde olduğu açıklanmıştır⁵².

Katekinler ;

Flavonoidlerin çoğunun hidroksilli türevleri, resorsinol (A halkası) ve bir katekol birimi (B halkası) ihtiva eder. Flavonoid halkasının kırılma, parçalanma ve sentez reaksiyonları incelenerek katekinlerin yapısı için model geliştirilmiştir.

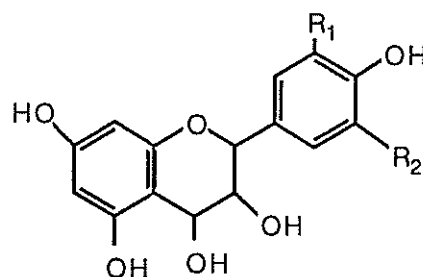
Katekinleri, (+)-catekin (II) ve onun stereozimeri olan (-) epikatekin (III) tabii olarak bulunmuştur. Diğer formları; tabii olarak bulunan katekinlerin sıcak sodyum karbonatla muamelesiyle elde edilir⁵².

(II) (+) - Katekin ($R_1=H$, $R_2=OH$)(III) (-) - Epikatekin ($R_1=OH$, $R_2=H$)

(+) katekin (II) ve (-) epikatekin (III)'in 3 nolu karbon atomunda zıt konfigurasyonda, 2 nolu karbon atomunda ise aynı konfigurasyonda olduğu gösterilmiştir.

Lökoantosiyanyanidinler ;

Lökoantosiyanyanidinlerin ilk göze çarpan özelliği asidik ortamda ısıtılmasıyla antosiyanyanidinlere çevrilme kabiliyeti olan bileşikler sınıfına dahil olmasıdır. Lökoantosiyanyanidinlerden (5,7,3',4'- tetrahidroksi-3,4-diol (IV) Lökosiyanyanid (5,7,3',4',5' -pentahidroksi-3,4 diol) (V) ve Lökopelargonidin (5,7,4' - trihidroksiflavon-3,4 - diol) (VI) izole edilebilmişlerdir⁵⁵.

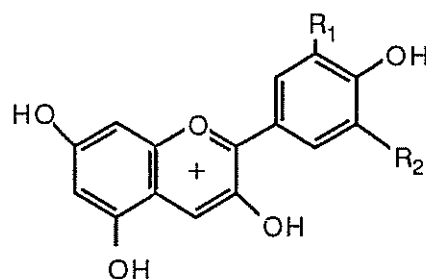
(IV) Lökosiyanyanidin ($R_1=OH$, $R_2=H$)(V) Lökodelfinidin ($R_1=R_2=OH$)(VI) Lökopelargonidin ($R_1=R_2=H$)

Lökoantosiyanyanidinlerin stereokimyası, katekinlerin stereokimyası kadar araştırılmamıştır. Bununla beraber 2,3 ve 4 nolu karbon atomları asimetriktir, üç

asimetrik merkez içeren bu molekülün 8 izomer yapısı ihtimali mevcuttur. Ancak bu 8 izomer ayrı ayrı rasemik karışımında sayılamamıştır. Farklı lokoantosianidinlerin karakteristik özelliklerinin incelendiği bildirilmiştir⁵⁶.

Antosianinler;

Antasiyaninler renklidirler, fakat bu durum kararmış reaksiyonları için o kadar önemli değildir. Birkaç değişik durumda sekonder reaksiyonlar için vazgeçilmez bir bileşen oldukları gösterilmiştir. Çiçek, meyva ve bitkilerin diğer kısımlarında, çözünmüş halde, hücre özsuyunda mevcutturlar ve genellikle glikozidler halinde bulunurlar. Antosianinler serbest şeker rezidüleri, antosianidin olarak bilinir. Hidroksilasyonun temelini teşkil eden antosianidinler, üç ana sınıfta sınıflandırılmıştır. Pelargonidin (VII); siyanidin (VIII) ve delfnidin (IX) buna ilaveten metilenmiş türevler tabii olarak da bulunabilirler.



(VII) Pelargonidin ($R_1 = R_2 = H$)

(VIII) Siyanidin ($R_1 = OH, R_2 = H$)

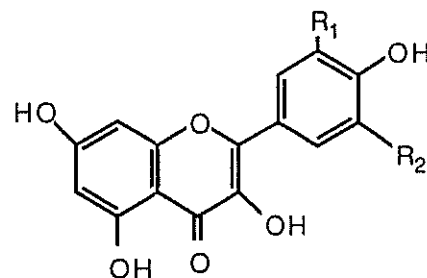
(IX) Delfnidin ($R_1 = R_2 = OH$)

Antosianinler, antosionidinlerin %20 lik HCl ile 3 dakika civarında kaynatılarak hidroliz edilmesinden bir veya birçok şeker molekülliyle beraber elde edilirler⁵⁷.

Flavonoller;

Flavonoller ve flavononlerle birlikte toplu olarak antoxantin pigmentleri olarak adlandırılırlar. Genelde bunların renkleri açık yeşildir. Flavonoller bazı durumlarda kararma reaksiyonlarına bizzat iştirak ederler.

Quercetin (3,5,7,3',4'-pentahidroksi flavon) (X) ve bir başka türevi olan myricetin (3,5,7,3',4',5' - hegzahidroksiflavon) (XI) ve kaemferol (3,5,7,4'-tetrahidroksi flavon) (XII) nin flavonollerin yapısında yaygın olarak bulunurlar.

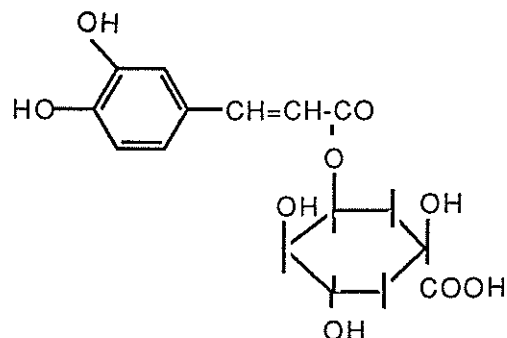
(X) Quercetin ($R_1 = OH, R_2 = H$)(XI) Myricetin ($R_1 = R_2 = OH$)(XII) Kaempferol ($R_1 = R_2 = H$)

Bunlar genellikle glikozidler halinde mevcutturlar. Bu glikozidlerde, bir ya da daha çok hidroksil grubu olan glukoz, ramnoz ve nadiren de rafinoz şeker türleri bir araya gelmiştir. Genellikle şeker rezidülerinin, substitüsyon reaksiyonlarında flavonol çekirdeğinin hidroksil grupları esterleşme reaksiyonuna uğrar. Özellikle 3 nolu C atomundaki hidroksil, bazen de 7 nolu C atomundaki hidroksil üzerinde esterleşme olur⁵⁸.

Sinamik asit türevleri:

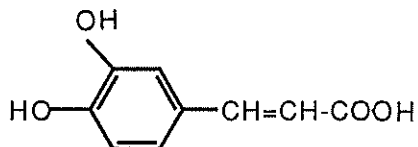
Sinamik asit tam anlamıyla hakiki flavonoid değildir. Fakat flavonoid bileşiklerinin C₆-C₃ fenil propan biriminin oluşmasında önce B halkasının sentezlenmesinde kullanıldığı gösterilmiştir⁵⁹.

Sinamik asitin yiyeceklerdeki önemli üyesi olan klorogenik asit (XIII), kafeik asitle quinik asidin 3-depsitididir (sinamik asit türevi).



(XIII) Klorogenik asit

Kafeik asit (3,4-dihidroksi sünamik asit), (XIV) ve p-kumarik asitin (4-hidroksi sünamik asit) diğer quinik asit depsitlerine bazen karşılaşılabilir⁶⁰.



(XIV) Kafeik asit

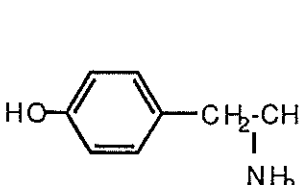
Klorogenik asitin bir kısmını oluşturan, kafeik asidin PPO tarafından p-kumarik asitten hidroksillenebildiği rapor edilmiştir⁶⁰. Klorogenik asidin izomerleri olan izoklorogenik asit, neoklorogenik asit, pseudo klorogenik asit de PPO substratları olarak sayılmıştır⁶¹.

Basit Fenoller;

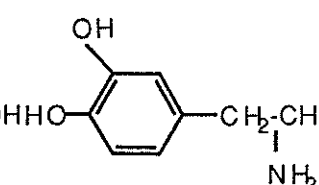
Tabii olarak oluşan flavonoidlerin bir çoğu, katekole benzer B halkası hidroksilasyon örneğine sahiptir. Katekol bu yüzden en basit o-dihidroksi fenol olarak düşünülebilir.

Gallik asit, hidroliz olabilen taninlerin esas birimi oluşturur ve bu bileşikler örneğin, m-digallat ve ellagic asit hidroliz olabilen ester bağlarıyla birleşirler. Hidroliz olabilen tanninler gıda ürünlerinde yaygın olarak bulunmazlar. Bununla birlikte gallik asit serbest olarak, az miktarlarda birkaç meyvada ve diğer gıdalarda bulunur⁶².

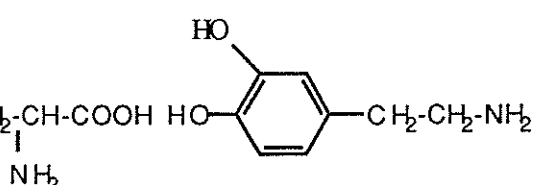
Tirozin (XV) çoğu gıdalarda bulunan önemli bir amino asittir ve melanin oluşumunda enzymatik oksidasyon için, monohidroksifenol klasik bir substrattır. Tirozinin hidroksilasyon ürünü olan dihidroksi fenil alanin (Dopa) (XVI) ve dihidroksifenil etilamin (dopamin) (XVII) bitki dokularında bulunur^{63,64}.



(XV) Tirozin



(XVI) 3,4-Dihidroksifenil alanin (dopa)



(XVII) 3,4-Dihidroksifenil etilamin (dopamin)

Şeker pancarı PPO enzimi, tirozin üzerinde etkili olmazken, pancar dokularının ihtişi ettiği DOPA'yı oksitlemektedir. Bununla birlikte tirozin, L-dopaya nazaran dokularda daha fazla bulunmaktadır⁶⁵. Bu da bir çok araştırmacılarca öne sürülen "PPO enziminin elde edildiği bitkilerde en iyi substratlar bulunmaz" tezine uygun düşmektedir^{10,66}.

Mono ve dihidroksi fenollerin sübstiyüsyon yeri de enzimin reaksiyona katılması açısından önemlidir. Monofenoller, yalnızca p-sübstidue >CH₂-grubuna sahip iseler hidroksillenebilirler. 3,4-Dihidroksi fenoller, 2,3-dihidroksifenollere nazaran daha yüksek hızda oksitlenebilirler^{6,50}. 3 pozisyonundaki sübstituentler (3-metil katekol; 2,3-dihidroksi benzoik asit; 2,3-dihidroksi 4-metoksi benzoik asit; 2,3-dihidrokisfenil sulfonik asit) enzimin substrata ilgisinde muhtemelen sterik etki nedeniyle azalmaya neden olmaktadır. 4 pozisyonunda elektron veren grupların bulunması halinde (klorogenik asit, 4-metil katekol gibi) substratın reaktiviteleri artarken, elektron alıcı grupların bulunması halinde (4-nitro katekol, 3,4-dihidroksi benzoik asit ve 3,4- dihidroksi benzaldehit gibi) azalmaktadır⁶⁷.

p-Sübstituentlerin tabiatı da reaksiyon hızında etkilidir⁶⁸. Bütün bunlardan oksidasyonun elektrofilik bir kademeyle yönlendirildiği ve fenolün muhtemelen keto formuna yükseltıldığı söylenebilir^{67,68}.

Tabii fenolik substratların meyva ve sebzelerdeki enzimatik kararmaya katkıları, farklı kinonlardan elde edilen makromoleküller pigmentlerin renk şiddetine olduğu kadar, fenolün lokalizasyon ve konsantrasyonuna da bağlıdır⁶⁹.

1.1.3.d. PPO Aktivitesinin Optimum pH ve Sıcaklığı

PPO aktivitesinin optimum pH'sı, enzimin kaynaklarına ve substratlarına göre genellikle pH 4.0-7.0 arasında değişir⁷⁰. Birçok kaynaklardan elde edilen PPO'nin, pH 4.0'ün altında inaktif olduğu belirtilmiştir⁷¹. Patates homojenatındaki enzim pH 5.0 de pirogallol ve klorogenik asit substratları için inaktif olduğu bulunmuştur. Oysa pirogallol, pH 6.0 nin altında Satsuma mandalinasından elde edilen PPO ile oksitlenmiştir⁷². Diğer taraftan üzümden hazırlanan PPO, üzüm suyunun normal pH'sı olan 3,4 de maksimum aktivitenin %50 nin üzerinde olduğu bulunmuştur⁷³. Erikten elde edilen enzim nötral ortamda aktivitesini tamamen kaybettiği halde, normal pH sı olan 3.8 de maksimum aktivite göstermiştir.

Enzimin safliği ve içinde bulunduğu tamponun çeşidi optimum pH yi son derece etkiler. Bu yüzden enzimin, çözünmüş ve partikül halde olması optimum pH'nın zorunlu olarak farklımasına sebep olacaktır⁷⁴. Aynı zamanda izoenzimler de farklı optimum pH ya sahip olacaklardır.

Aynı meyva ve sebzelerin olgunlaşmasının değişik devrelerinde elde edilen enzimlerin optimum pH sının farklı olduğu belirlenmiştir⁷⁵. Birçok kaynaklardan elde edilen enzimlerin çoğunun tek bir optimum pH sı vardır. Fakat saflaştırmanın niteliğinden dolayı ikinci bir optimum pH ya rastlamak mümkündür.

Lakkaz aktivitesinin optimum pH sı enzimin kaynağına ve substratlarına son derece bağlıdır. Değişik mantarlardan elde edilen enzimler için, optimum pH 4,5-7,5 arasında olduğu belirtilmiştir. Verilen bir preperasyon için en yüksek aktivite; katekol substratı için pH=5,0, hidrokinon için de pH=4,0 de gözlenmiştir. Şeftali lakkazı, 4-metil katekol ve quinol substratlarının her ikisi için de pH 6,0 da net bir optimum pH ya sahiptir⁷⁶.

PPO için, optimum sıcaklık üzerindeki araştırmalar, optimum pH ya göre oldukça azdır. Yapılan araştırmalar, enzimin optimum sıcaklığının, optimum pH gibi aynı faktörlere bağlı olduğunu göstermiştir.

Şeftali PPO'sının aktivitesi, sıcaklık 3°C den 37°C ye yükseltildikçe arttığı ve 45 °C den sonra azaldığı bulunmuştur. 3°C deki aktivite maksimum değerinin yaklaşık olarak %50 si kadardır. Enzimin aktivitesi, kaysıda 25°C de, muzda ise 37°C de maksimum aktiviteye erişir.^{75,77}. Muz PPO'nın katekol substratıyla katalizlenen reaksiyonun aktivasyon enerjisi 18,6 kJmol^{-1} olarak bulunmuştur⁷⁷.

Cvs elmalarında, klorogenik asit substratıyla PPO'nın maksimum aktivitesi sıcaklıkla hızlıca arttığı fakat 35°C ye gelindiğinde bile maksimum aktiviteye ulaşılmadığı belirtilmiştir⁷⁵. pH 5,2 de klorogenik asit substratı ile yabani havuç PPO aktivitesinin 22-27°C arasında yavaşça arttığı halde, daha sonra sıcaklık 32°C ye yükseltildiğinde aktivitede daha fazla artış gözlenmemiştir⁷⁸. Patateste, PPO 22°C de katekol substratıyla maksimum aktiviteye sahipken⁷⁹, pirogallo substratı ile 15°C ve 35°C arasında aktivitede lineer bir artış kaydedilmiştir⁷⁵.

1.1.3.e. PPO'nın İsı Stabilitesi

PPO enzimleri aşırı sıcaklıklarda kararlı değildir. Dokularda ve çözeltilerde enzim, 70 ve 90°C sıcaklıklara kısa aralıklarla maruz bırakmak çoğu durumlarda katalitik fonksiyonunu tamamen ya da kısmen dönüşümsüz olarak kaybetmesine yetmektedir. Aynı zamanda 0°C nin altındaki sıcaklıklara maruz bırakmakta aktiviteyi etkileyebilir.

Meyva yada sebze dokularında PPO, enzimatik kararmayı önlemek için düşük sıcaklıklara maruz bırakmadan ziyade genellikle ışıyla ya da kimyasal bileşiklerle inaktif edilirler. Aksi takdirde donma esnasında hücre parçalanmasının bir sonucu olarak hızlı bir şekilde enzim ortama geçecek ve substratlarıyla daha kolay etkileşecektir⁸⁰.

PPO'nın ısıya dayanıklılığı, substrat spesifikliğine, optimum pH ya, optimum sıcaklığa ve enzim kaynağına bağlıdır. Dokuda mevcut olan enzimi göz önüne aldığımız zaman, partikül büyülüğüne bağlı olan ısı geçirgenliği termal inaktivasyonu kayda değer bir şekilde etkileyebilir.

Ayvadaki PPO'nın inaktivasyonu, 95°C de 16-30 saniye arasında bulunurken, 75°C de 25-80 dakika arasında bulunmuştur⁸¹.

Aynı kaynaktan elde edilen farklı molekül yapıdaki izoenzimle çok daha farklı termal stabilitelere sahip olabilir. Şeftaliden elde edilen üç izoenzimin 55°C de yarılanma süreleri sırasıyla 5.5, 14.1 ve 14.6 dakikadır. Dördüncü izoenzim ise 50 dakikalık bir sürenin üzerinde aktiftir ve hızlı bir inaktivasyon için 76°C de ısıtmak gereklidir⁸².

1.1.3.f. PPO'ın Aktivatörleri

Literatürde PPO'nın inaktivasyonu ve enzimatik karamanın önlenmesi hakkında çok geniş bilgi varken, enzimin aktivasyonu hakkındaki bilgiler oldukça azdır. Bu durumun temel sebebi, PPO'nın aktivasyonunun istenmeyen durum olmasından kaynaklanmaktadır.

Elma kabuğundan hazırlanan mitokondrial enzim; polivinilpirolidon (PVP) ile inaktive edildikten sonra anyonik deterjanlarla (sodyumdodesil sülfat; SDS) reaktive

olduğu bulunmuştur⁸³. Aynı zamanda SDS, kısmi olarak saflaştırılmış ve olgunlaşmamış farklı kaynaklardan elde edilen gelişmemiş PPO'ı aktive ettiği bulunmuştur⁸⁴. Üzüm PPO'ı kısa aralıklarla asidik pH yada üreye maruz bırakıldığında 4-10 kat dönüşümlü olarak aktive olduğu, asidik pH ya daha uzun süre maruz bırakıldığında dönüşümsüz aktivasyona uğradığı belirlenmiştir. Asitlerle aktivasyon yüksek iyonik şiddetlerde daha da aktif durumdadır. Bu durum sağlam kloroplastlarda olduğu gibi kısmi olarak saflaştırılmış enzim çözeltilerinde de tesbit edilmiştir. Buna ilaveten dönüşümsüz aktivasyona enzimin elektroforetik hareketliliğindeki azalmanın etki ettiği bulunmuştur⁸⁵. Bu ifade konformasyonel yüklerin aktivasyona sebep olabileceğini destekler. Üre aynı zamanda olgunlaşmamış kaynaklardan elde edilen PPO'ı da aktive etmektedir.

Ortama Cu⁺² iyonlarının katılması patatesteki PPO'a etki etmezken, turptaki enzimin aktivitesini artırdığı bulunmuştur^{86,87}.

L-DOPA, PPO'nın katalizlediği adrenalin sıklızasyon reaksiyonunu ve nitelikli ara ürünlerinin oluşumunu aktive ettiği belirtilmiştir⁷⁰. Substratın indüklediği bu aktivasyona patates dokularında rastlanmıştır⁷⁹.

PPO'ın aktif formu, Cu ihtiya eden bir oligomerik protein olduğunu gösterir. Aktivatörün rolü enzimi biyolojik aktivite için gerekli konformasyon derecesine getirir⁸⁸.

1.1.3.g. PPO'ın Inhibitörleri ve Enzimatik Kararmanın Önlenmesi

PPO'ın inhibisyonu ve enzimatik kararmanın önlenmesi genelde aynı başlık altında incelenir. Ancak kararmanın önlenmesi, yalnızca enzimin inaktivasyonu ile değil aynı zamanda reaksiyon için gerekli olan iki substrattan (O₂ ve polifenol) birinin uzaklaştırılması yada enzim reaksiyonu sonucu oluşan ürünlerin, ikinci defa enzimatik olmayan bir reaksiyonla yeni renkli bileşikleri inhibe edebilir.

Gıda teknolojisinde karma inhibitörlerin kullanılması, zehirleyici olmayan, sağlıklı, tadi ve görünümü bozmayan özellikli olmasına sınırlanır.

En iyi sonuçlar, kimyasalların karışımıyla elde edilmiştir. Walker⁸⁹ enzimatik inhibitörleri aşağıdaki gibi sınıflandırmıştır.

- i. Enzimi birinci derecede etkileyen inhibitörler;

PPO, prostetik grup olarak Cu²⁺ ihtiva eden bir metaloprotein olduğu için, siyanür, karbonmonoksit, sodyum-dietil-ditiyo-karbamat (DIECA), merkaptotiyazol, dimerkaptopropanol, azid ve potasyum metil ksantat gibi metal şelatlayıcı reaktiflerle inhibe edilebilir^{69,89,90,91}.

Bu inhibitörlerden bazıları meydana gelen kinonlarla da reaksiyona girerler. DIECA, muz PPO'su üzerinde etkisiz olduğu bulunmuştur. Bu durum DIECA'nın saflaştırılmış enzimdeki Cu²⁺'la kompleks yapamadığı gerçeği ile açıklanabilir⁹². Askorbik asit enzimin prostetik grubunu şelatlayarak PPO üzerinde direkt etkili olabilir.

Florür ve azotür gibi inorganik iyonlar asidik ortamda enzimi genellikle inhibe etmektedir. Bakla PPO'su üzerinde florür nonkompetitif inhibisyon etkisi gösterirken azotür karışık tip inhibisyon göstermektedir. Borat gibi bazı inorganik iyonlar substratla kompleks yaparak inhibisyon etkisi gösterirler. Substrat olarak L-DOPA yada L-adrenalin kullanıldığında boratın inhibisyonu kompetitif tip olduğu bulunmuştur^{93,94}.

Benzoik asit ve sinamik asidin bazı türevleri, tatlı kiraz, elma, armut, kayısı ve patateslerden elde edilen enzimler üzerinde daha ziyade kompetitif inhibisyon etkisi gösterdiği bulunmuştur^{95,96,97,98}. K_i değerleri; sinamik asit, p-kumarik asit, ferulik asit, m-kumarik asit, o-kumarik asit ve benzoik asit sırasıyla artış gösterirler^{89,95}. Aromatik asit inhibitörleri, ya direkt benzen halkası üzerinde ya da konjuge pozisyonunda serbest bir karboksilik grup ihtiva etmeleri gereklidir. Düz zincirli asit inhibitörleri etki gösterebilmeleri için, en az iki konjuge etilen grubuna sahip olmaları gereklidir⁹⁸. Metilasyonla, inhibisyon ve K_i değerlerinin daha düşük olduğu bulunmuştur. İnhibitörün, benzen halkasının metilasyonu ya da hidroksilasyonu aktif bölgeyi yarışmalı olarak inhibe ettiği bulunmuştur⁹⁸.

Benzoik asitle mantar PPO'sının inhibisyonu, katekol substratı ile kompetitif, O₂ ile nonkompetitif olduğu halde siyanid inhibitörü aynı substratlarla zit etki gösterdiği bulunmuştur. Bu durum enzim molekülü üzerinde iki farklı bölgenin varlığı ile açıklanabilir. Bu bölgelerden birisi fenolik substratları da kapsayan aromatik bileşikler için yüksek afinityeye sahipken, diğer bölgesi metal bağlayabilen reaktifler ve oksijen için fonksiyon görebilen bakır ihtiva etmektedir⁹⁹.

Verilen bir inhibitör için K_i değeri, aynı orjinli izoenzimler için farklı olabilir. pH 6,2'de klorogenik asit substratı ile p-kumarik asit, armut PPO'su üzerinde

nonkompetetiv, pH 4.0 de bu enzim fraksiyonu üzerinde benzoik asit kompetetiv bir etki gösterdiği bu inhibitör gruplarının K_i değerleri, substrat olarak o-dihidroksifenol yada monofenola bağlı olduğu bulunmuştur¹⁰⁰.

Polivinilpirolidon (PVP, MA 10.000-60.000) gibi çözünebilen polimerler, PPO'a kompetetiv bir inhibitör olarak etki eder^{89,101,102}. Bu etki anyonik deterjanlarla kaldırılabilir.

Şeker kamışı PPO'ının güçlü bir inhibitörü olan tiyoglikolat, hem enzimle, hem de substratla reaksiyona girer^{64,103}.

2,3 Naftalendiol PPO'ın spesifik kompetetiv bir inhibitördür. Bu inhibitör lakkaz üzerine etki etmez ve bu iki enzim arasındaki farlılığı ortaya çıkarır¹⁰⁴. PPO'ın inaktivasyonunun bir başka yolu da proteolitik enzimlerin aktivatörleriyle muamelesiyledir. Yani PPO'ın inhibitörleri, proteolitik enzimlerin aktivatördür. Kültür mantarlarının enzimatik kararması süksinik asit-2,2-dimetil hidrazid ile önlenir. Kararma aynı zamanda bu inhibitörlere substratların bağlanmasıyla önlenmiştir. Diklorodiflaronmetan dommuş reaktiflerle temas ettiği zaman proteini denatüre ederek PPO'ı inhibe ettiği bulunmuştur¹⁰⁵.

ii. Reaksiyon Ürünleri veya Substratlar ile Reaksiyona Giren Bileşikler;

Reaksiyon ürünleri veya substratlar ile reaksiyon veren enzimatik kararma inhibitörleri aşağıdaki gruplara ayrılabilir;

1. O-dihidroksifenollerden oluşan kinonlar üzerine indirgeyici reaktif olarak etki edenler: Bu bileşikler inhibisyon esnasında tükenirler. Ve bunlar yüksek konsantrasyonlarda kullanılmadıkça renk değişimine karşı geçici bir koruma sağlarlar. Enzimin inaktif olması, indirgenme reaktifinin tükenmesinden kaynaklanmaktadır. Bu özelliği gösteren ve kullanılan bazı maddeler; askorbik asit, SO_2 , potasyum metabisulfat, 2-merkaptoetanol, 2-merkaptobenztyiazol ve tiyoglikolat.

2. Kinonlar ile kararlı renksiz bileşik oluşturan kinon çiftleri: Bunlar tükenmediği müddetce devamlı koruma sağlarlar. Sistein, glutatyon, benzensülfenik asit, DIECA ve Na-etilksantat böyle reaksiyolarda etkilidirler.

Bazı enzimler metilasyon yada benzen halkasının oksidatif parçalanmasıyla PPO 'ın substratlarını inhibitörlere dönüştürür. O-metil transferaz enzimi, 3,4-dihidroksi

aromatik bileşiklerin 3 pozisyonunu metilleyerek PPO'ın substratlarını, inhibitörlerine dönüştürür (kafeïk asitin ferulik asite çevrilmesi gibi). Bu işlem için kofaktör olarak S-adenozilmetiyonine ihtiyaç vardır⁸⁹.

iii. Özel inhibitörlerin uygulanması;

Ispanak kloroplastlarından elde edilen PPO, azidden pratik olarak etkilenmezken 0,01 M konsantrasyondaki potasyum siyanür içinde kuvvetli inhibe olur¹⁰⁶. Patatesten elde edilen enzim 0,1 mM'lik KCN ve NaN₃'ün her ikisiyle de %60'a kadar inhibe olmuştur. Concord üzümü PPO'sı 5 mM KCN çözeltisinde %98'e kadar inhibe olurken aynı konsantrasyonlu NaN₃ içinde yalnızca %60'a kadar inhibe olur⁷³.

Atmosferi çevreleyen O₂, CO₂ ve CO seviyelerinin değişmesiyle enzim aktivitesi uygun bir dereceye kadar inhibe olur. CO₂/CO oranı 80/20 olduğunda, mantar PPO'ının katekol oksidaz aktivitesi %68'a kadar azaltılabilir¹¹³. %30 lik CO₂, 20°C'de %70 lik inhibisyonu sebep olur. %5 ile %10 arası, O₂ ve %1 lik CO ihtiyaç eden veya etmeyen %1 lik CO₂'li atmosferde salatanın rengini korumada etkili olmuştur. CO in fasulye kabuğu üzerinde PPO'ın etkili bir inhibitörü olduğu kaydedilmiştir¹⁰⁷. Diğer taraftan taze üzüm ya da homojenatları CO₂ ortamında korunduğunda 30 güne kadar havaya göre aktivitesi daha çok korunmuştur¹⁰⁸.

2-Merkaptobenztiyazol, farklı kaynaklardan elde edilen PPO'ın etkili bir inhibitörü olduğu kaydedilmiştir. %1 veya %2 lik çözeltisi Anjou armutunun renk değişimini tamamen durdurmuştur¹⁰⁹. 0,02 mM konsantrasyonlarında muz PPO'ının inhibisyonuna sebep olduğu belirtilmiştir. Tütün yaprakları, patates ve mantar'dan elde edilen PPO enzimleri üzerine etkili olduğu gözlenmiştir¹¹⁰.

Elma dilimlerinin kahverenginin önlenmesinde 1 mM konsantrasyondaki 2,3-naftalendiol etkili olmuştur. Ancak bu bileşiklerin çeşitli izoenzimler üzerine etkisi çok farklıdır. Bazı izoenzimler ile benzer etkiler gösterir. Bu inhibitör bir kaç bitki veya onların meyvalarından (şeftali, patates yumrusu, salata tohumu ve şeker pancarı yaprakları gibi) elde edilen PPO üzerine etkili olduğu bulunmuştur.

Askorbik asit, enzimatik kararma inhibitörü olarak en çok kullanılanlardan biridir. Çünkü gıda ürünlerinin biyolojik değerini artırmaktadır. Oksidatif parçalanmadan gelen antosianinlere karşı koruyucu görev yapar ve aynı zamanda kırmızı meyvaların renk korumasında yardımcı olur. Askorbik asitin PPO-polifenol sistemi üzerine etkisi kompleksdir ve kinonların indirgeyicisidir. Diğer taraftan Cu'ı

şelatlama reaktifi olarak görev yapar. Bunların yanında enzim tarafından direkt oksitlenerek yarışmalı bir inhibitör olarak kullanılır. Kinetik çalışmalar üstün bir inhibitör olduğunu göstermiştir. Bazı fenollerde gözleendiği gibi (rezorsinol gibi), PPO'ın yarışmalı inhibisyonu askorbik asitle artırılabilir^{111,112}.

Askorbik asit aynı zamanda düşük oksidasyon-redüksiyon potansiyeline sahip bileşiklerin yanında pro-oksidant olarak hareket eder. L-tirozin, DOPA ve prokateküük asitin PPO ile oksidasyonu askorbik asitle arttığı bulunmuştur. Askorbik asitin yüksek konsantrasyonları kararmaya karşı devamlı bir koruyuculuk sağladığı gözlenmiştir¹¹³.

Askorbik asit yanında SO₂ yada sülfit çok sık olarak sebze ve meyvalardaki enzimatik kararmayı önlemek için kullanılır. Bu bileşikler, PPO-polifenol sistemi üzerine kompleks bir etkiyede sahiptirler. Sülfit, kinonları renksiz bileşiklere çevirerek dönüşümsüz bir inhibisyonla kararmayı önler. Aynı zamanda bu inhibitör mono ve dihidroksi fenollere karşı enzimin aktivitesini azaltır¹¹⁴.

Elma dilimlerine SO₂ in inhibisyon etkisi, %5 lik malik asitle büyük oranda artırılabildi. Bu gibi şartlarda %0,02 lik SO₂ içerisinde 17 saat tutulması tam bir etki için yeterlidir. Geri kalan SO₂'in 30 ppm ve pişirme sonunda tayin edilmediği gözlenmiştir. Üzüm PPO'ı sodyum metabisülfitle tamamen inaktif edilmiştir¹¹⁵.

1.1.4. Enzimatik Kararma Reaksiyonlarında Bakırın Rolü

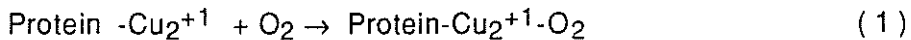
Bakır; polifenol oksidazın yapısında mevcut olduğundan Cu⁺, Cu⁺² nin etkileri dikkate alınmalıdır. Kertesz ve grubu çeşitli mantar numunelerinden PPO enzimini izole etmiş ve 2,2'-diquinolyl ile test edilerek Cu⁺¹ in varlığını tespit etmişlerdir¹¹⁶.

Aynı kişiler numunenin hazırlanış şecline ve tazeliğine bağlı olarak Cu⁺² nin de %25' e kadar arttığını elektron spin rezonans spekstroskopisiyle tayin etmişlerdir. Enzimin Cu⁺² ye karşı özel bir absorblama özelliği göstermeyiği PPO daki Cu' in Cu⁺¹ halinde olduğunu ispatlar.

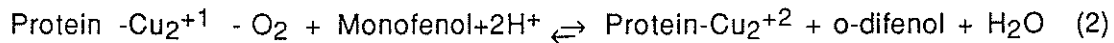
Kertesz ve Zito'nun yaptıkları başka bir çalışmada da apoenzimlerin Cu⁺² ye aktif olduklarını, apoenzime az miktarda Cu⁺² nin eklenmesi halinde Cu⁺² nin aktif Cu⁺ e indirgendiği ispatlanmıştır¹¹⁷.

Mason'un; enzimin katalitik kısmındaki bakır atomlarının valans durumu etkilidir teorisine göre, ortamda o-difenol molekülünün varlığında, enzimin yapısındaki iki

bakır atomu Cu_2^{+2} halinden Cu_2^{+1} haline indirgenir¹¹⁸. Bu teoriye göre, kresolazın (monofenolaz) aktif bölgesinin katalitik kısmında proteine bağlı komşu iki Cu_2^{+1} vardır ve bir oksijen molekülü proteine bağlı Cu_2^{+1} ile bir kompleks oluşturur.

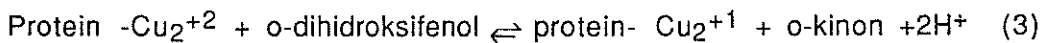


Bir oksijen molekülünden monofenolün hidroksilasyonu sırasında bir atomu kullanırken, diğer atomu da suya dönüştürülür.

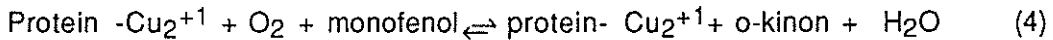


Bunun için 2 elektron ihtiyacı Cu^{+1} atomları tarafından sağlanır. Burada Cu^{+2} inaktif haldedir.

Bakırın inaktif halden (Cu^{+2}) aktif hale (Cu^{+1}) geçmesi, dihidroksifenolün kinona oksidasyonu yoluyla sağlanır :



Bu üç basamağında aynı ortamda olduğu varsayılsa net reaksiyon denklemi şöyledir:



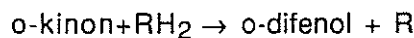
1.1.5. O-Kinonların Sekonder Reaksiyonları

Fenolik substratlardan teşekkür etmiş o-kinonlar, her ne kadar kırmızıdan kahverengiye değişen renkler gösterirlerse de, daha çok koyu renkli sekonder ürünlerin oluşumuna neden olan sekonder reaksiyonlar da rol oynarlar.

Polifenol karamasında önemli sekonder reaksiyonlar şunlardır : 1) Zorla oksitlenmiş substratların çiftleşmiş oksidasyonu, 2) Amino asitler ve proteinlerle kompleks oluşturma 3) Yoğunlaşma ve polimerizasyon.

1.1.5.a. Çiftleşmiş Oksidasyon

Okside olmuş kinonlar, yükseltgenme-indirgenme potansiyelleri daha düşük olan diğer bileşiklerin oksidasyonuna neden olabilirler.



Bu yüzden, polifenoloksidazlar tarafından doğrudan oksitlenmemiş olan bileşikler dolaylı olarak oksitlenirler. Antosianinler, fenollerin glikozidleri, askorbik asit ve amino asit veya proteinlerle kompleks oluşturan polifenoller, bu tür bileşiklerdir¹¹⁹.

PPO'ın inhibitörleri olarak bilinen birkaç bileşigin, tütün yaprağı PPO'ı ile klorogenik asitin oksidasyonuyla oluşan kinon ile gerçekleşmesi muhtemel olan reaksiyonlar denenmiştir. Bunun sonucu olarak askorbat, potasyum etilksentat, sodyum dietilditiyokarbamat ve sistein gibi bileşiklerin kinon oluşumunu farklı derecelerde inhibe etmeyeceğini göstermektedir. Aynı zamanda kinonlar ile reaksiyon verdikleri tesbit edilmiştir.

Rutin (quercetin glikozidi)'in, patatesin ihtiva ettiği polifenoloksidazın etkisiyle çok miktarda oksitlendiği gözlenmiştir. Fakat bu oksidasyonun hızı, klorogenik asit ve kafeïk asit gibi basit fenolik asitlerin ilavesiyle dikkate değer oranda arttıgı bulunmuştur. Buda gösteriyorki reaksiyon dolaylı olarak oluşan bir çiftleşmiş oksidasyondur¹²⁰.

1.1.5.b. Amino asitler ve Proteinlerle Kompleks Oluşumu

Kinonun ilk teşekkülünden sonra, gıda kararmasıyla ilgili en önemli sekonder reaksiyolarından biri, amino asit veya protein gruplarıyla kompleks oluşturmasıdır. a) Aminler ve ilgili bileşikler; Aminler, hem o-hem de p-kinonlarla reaksiyona girerler. o- kinon halinde substitüsyon 4 ve 5. pozisyonlarında cereyan eder. Oluşan ürünler kinoniminler olarak bilinir. İndollerde, o-kinon ve p-kinonlarla reaksiyona girerler. Normalde 3. pozisyon mevcut olduğunda indoller, kinon ve naftakinonla yoğunlaşarak koyu renkte indolil kinonları dönüşürler.

b) Amino asitler; Birçok hallerde enzimatik olarak oluşmuş o-kinonun çok koyu renkli ürünler vermek üzere farklı amino asitlerle reaksiyon vereceği gösterilmiştir. Renk oluşturan reaksiyonlar amino asitlerin türlerine ve onların türevlerine göre

incelenmiştir. Bu tür bileşiklere örnek olarak, prolin, hidroksiprolin etilester, pirolidin, glisin, dimetilamin ve metilamin ve sınırlı hallerde alanin, glutamik asit ve arginin verilebilir.

c) Sulfhidril grupları; α -Kinon ve proteinler arasındaki reaksiyonun incelenmesi göstermiştir ki amino ve sulfhidril gruplarının varlığında çitleşmenin amino hidrokinonlar oluşturmak üzere vuku bulduğu ve fazla α -kinonunda aminokinona dönüştürüldüğü gözlenmiştir¹²¹.

Enzimatik olarak üretilmiş kinonlar ve amino asitler arasındaki reaksiyonun sistematik olarak incelenmesi göstermiştirki; α -kinonlar ile bir kompleks oluşturan proteinin fonksiyonel grubu tiyol grubudur. Bu durumda reaksiyon, kinonun hidrokinona geri oksidasyonunu ihtiva eden birkaç basamaktan ibarettir. Bu basamaklar sırasıyla R-S-hidrokinon ve sonuçta R-S-kinon oluşumudur.

1.1.5.c. Kinon Oluşumundan Sonra Polifenollerin Polimerleşmesi

Katekinin otooksidasyonunda ($pH=4-8$), temel reaksiyon sırasının oksidatif yoğunlaşmayı takip eden α -kinonun oluşumu esasına dayanır. Fenol ile kinon arasındaki bağ karbon-karbon bağıdır. Bu bağın oluşumu α -kinonun elektrofilik olarak aktiflenmiş kısımlarından biri ile (2',5' veya 6') bir başka katekin-kinonun nükleofilik olarak aktiflenmiş kısımdan biri (6. veya 8. pozisyon) arasında veya bir katekin molekülünün 6-pozisyonu arasında cereyan eder. Takip eden çalışmalar göstermiştir ki, katekinin polimerleşmesi bir molekül katekol kalıntıyla bir başka floro glucinol kalıntısı arasında bir baş-kuyruk bağı oluşturur¹²².

Katekinin, α -kinonlara benzer oksidasyonunun mantar, patates ve tütün PPO'dan etkilendiği gözlenmiştir. Böyle bir durumda oluşmuş α -kinonun, bir başka molekülü floroglucinol ile kinonun B halkası arasında bir baş-kuyruk bağı halinde polimerleştiği bulunmuştur.

Polimerleşmenin özel bir hali olan koyu renkli ve yüksek molekül ağırlıklı bir polimer olan melanin; fenolik amino asit tirozinden oluşur. Melanin oluşumu gıda prosesleri nazara alındığında gıdaların kararması açısından herhangi bir önemi yoktur. Fakat melaninin reaktif grupları proteinlerle birleşerek koyu renkli pigmentler oluşturabilirler.

Bu polimerleşme çeşitli basamaklarda cereyan eder. Tirozin enzimatik olarak o-dihidroksi bileşigi dopa'ya ve ondan sonra dopa kinona oksitlenir. Dopa kinonun kendi kendine ve dönüşümsüz olarak molekül yapısındaki bir değişme ile 5,6-dihidroksi dihidroindol-2-karboksilik asite dönüşür ve buda kinonun bir hali olan dopakroma oksitlenir. Takip eden basamak dekarboksilasyon ve tekrar düzenlenmeden sonra kırmızı renkli dopakromdan 5,6-dihidroksi indolun oluşumudur. Bu bileşigin daha ileri oksidasyonu 5,6-indol kinonu oluşturur bu da çapraz bağlı bir polimerleşme olan oksitlenmenin neticesinde melanin teşekkül eder.

1.1.6. PPO'ın Ekstraksiyonu, Saflaştırılması, Homojenliği ve Molekül Ağırlığı

1.1.6.a. Ekstraksiyon

Bitki materyalinden PPO yada lakkazın ekstraksiyonu işleminde üç önemli husus dikkate alınmalıdır.

1. Enzim kaynağının olgunlaşmamış durumundan dolayı aktivite göstermemesi, 2-Hücreye bağlı aktif enzimin çözünebilirliği ve 3-Bazı fenollerin enzim proteini üzerindeki oksidasyonu ve bunun sonucu olarak da polimerizasyon ve çökmenin önlenmesi.

Enzim kaynağının olgunlaşmamış halinden dolayı aktivite göstermemesi bitki PPO'ı için çok önemli bir problem değildir. Çünkü, olgunlaşmamış partikül haldeki enzim, kafein-sodyum benzoat'la çözmekle aktif hale getirilebilir. Olgunlaşmamış kaynaklardan elde edilen ya da kısmi olarak saflaştırılmış PPO, SDS ile aktive edilebilmiştir⁸⁴.

Çözünme işlemi, genellikle Triton X-100 yada Twen-80 gibi deterjanlarla gerçekleştirilebilir, Diğitionin elma mitokondrisinde kullanılırken, bu işlemin kloroplastlar için etkili olduğu bulunmuştur. Ekstraksiyonda sodyumdioksalatın kullanılması, şeker pancarı yaprağı kloroplastlarından elde edilen PPO'ın aktivitesini artırdığı belirtilmiştir. Enzim proteinlerine bağlı lipoproteinleri uzaklaştırmak için, bütanol ekstraksiyonu, elma kabuğundan PPO'ın hazırlanması için tavsiye edilmiştir⁷⁴. Kararlı bir PPO çözeltisi hazırlanmasında ortaya çıkan en büyük güçlük; enzimatik fenol oksidasyonu ve bitki materyalinin parçalanmasında ve ekstraksiyonunda ortaya çıkan piğment oluşumunun önlenmesidir. Piğmentler, enzim

çözeltisinde çökebilirler ve çözünmeyen kısımlar aktiviteyi etkileyebilirler. Daha da önemli enzimin dönüşümsüz inaktivasyonuna sebep olabilirler. Bu tehlikeleri azaltmak için, tüm ekstraksiyon işlemleri mümkün mertebe -20, -30°C arasında yapılmalıdır. Ve kesinlikle 0°C nin üstüne çıkılmamalıdır. Toz haline getirme ve homojenleştirme genellikle sıvı azot yada azot atmosferinde yapılmaktadır. Bazı durumlarda materyalin, kuru ve hızlı dondurma enzim ekstraksiyonunun ilk basamağı için istenilen bir durumdur. Aseton çöktürmesi ve bunun tampon ekstraksiyonuyla takip edilmesi çok sık kullanılan metodlardan biridir^{64,65,95}.

Aseton çöktürmesi ve tampon ekstraksiyonun etkisi, şeftali PPO aktivitesi üzerinde karşılaştırıldığında, asetonla çöktürmede aktivitenin 20 kat fazla olduğu bulunmuştur. Aktivitedeki bu son derece yüksek artış, asetonun bir inhibitörü eliminе etmesi ya da enzim proteinini aktif formuna dönüştürmesiyle açıklanabilir¹²³.

Uygun bir tamponla bazı ekstraksiyonlar, aseton çöktürmesinden daha çok tercih edilir. Çok çeşitli tamponlar, enzimi kaynağından ekstraksiyon için uygun pH değerlerinde (asidik yada bazik) sağlayabilirler. Tamponun pH'sı elde edilen enzimin formunu etkileyebilir. Enzimatik polifenol oksidasyonundan ekstraksiyon sistemini korumak için, ortama indirgen reaktifler yada kinonlar gibi enzimin dönüşümlü inhibitörleri katılabilir. Askorbik asit, sistein sodyum metabisulfit, DIECA yada sukroz bu maksatla kullanılan inhibitörlerdir^{76,124,125}.

Enzim ekstraksiyonu boyunca fenol oksidasyonunun ve polimerizasyonun önlenmesinin en etkili yolu, çözünmeyen bir polimer materyaline substratları bağlayarak ortamdan uzaklaştırmaktır. Fenol bağlamada en yaygın kullanılanı polivinil pirrolidon (PVP) dir. PVP fenollerin iyonlaşmadığı nötral yada asidik pH da çok kuvvetli proton alıcısıdır^{125,126}. Aynı zamanda PVP kısmı olarak PPO'ın kompetitif bir inhibitördür. Ancak onun inhibitör etkisi, enzim çözeltisini yıkamakla eliminе edilebilir. Polietenglikol (PEG), bu iş için bazen daha fazla tercih edilir. Belki de bunun sebebi, PEG'nin asetondaki çözünürlüğünün enzim çözeltisi elde edilmesinde belirli avantajlar sağlamasından dolayıdır¹²⁶.

Poliamid (naylon) ve polikaprolaktam da aynı zamanda fenol bağlamak için yaygın olarak kullanılmıştır. Katalitik olarak inaktif olan proteinler (kazein gibi), fenollerle hidrojen bağı oluşturmak üzere kullanılabilir¹²⁷.

Proton alabilen organik solventler (ketonlar, esterler, dimetil amidler, dimetilsulfoksit ve N-metilpirolidon) da fenollerle kompleks yapımında etkilidirler.

Enzim ekstraksiyonunun ilk basamağında çok sık kullanılan kuru aseton (özellikle %20 su ihtiva eden), aynı zamanda fenoller uzaklaştırımda da etkili bir faktördür.

Meyva dokularındaki PPO substratlarının uzaklaştırılması, ya aseton yada kalsiyum asetat çöktürmesi ile yapılabilir. Şeftaliden lakkaz ekstraksiyonunda, zayıf alkali hidrolizi ve amonyum bromürle çöktürmekle ilgili substratlar uzaklaştırılabilir⁷⁶.

1.1.6.b. Saflaştırma

Ekstraktlanmış ham PPO çözeltilerinin saflaştırılması için enzim kaynağına ve saflaştırma derecesine göre birkaç metod uygulanmıştır. Farklı doygunlukta amonyum sülfat çöktürmesi, Sephadex G-100 yada G-200 üzerinde jel filtrasyon kromatoğrafisi ve DEAE-Seluloz yada DEAE-Sephadex anyon değiştircileri ile iyon değişim kromatoğrafisi çok sık olarak kullanılmıştır. Ayrıca diyaliz yada sephadex G-25 kromatografisiyle düşük molekül ağırlıklarına sahip safsızlıkları uzaklaştırmak için bu metodların bazı kombinasyonları ara basamaklarda tatbik edilmiştir⁷⁶. İşlemlerin sırası duruma göre değişebilir. Bazı durumlarda bir yada diğer saflaştırma basamakları tekrar edilebilir. Örneğin; Mantar PPO'ı için bir saflaştırma prosedürü; iki amonyum sülfat çöktürmesi basamağı ve diğer saflaştırma basamakları takip edilerek son olarak DEAE-seluloz iyon değişim kromatoğrafisi uygulanmıştır. Daha yakın zamanda şeftali PPO'ı hidrofobik kromatoğrafi çeşidi olan fenil-sepharose CL-4B ile saflaştırıldığı rapor edilmiştir⁹⁵.

1.1.6.c. PPO Enziminin Homojenitesi ve Molekül Ağırlığı

Çoğu kaynaklardan elde edilen PPO'ların farklı molekül yapılarında olduğu açıklanmıştır. Bu yapıların sayısı enzim kaynağına, ayrıca ekstraktlama ve ayırmada tatbik edilen metodlara bağlıdır. Molekül yapılarının farklı oluşunun nedeni birleşme-ayrılaşma durumuna göre değişir. Bu ifade; 1-Benzer birimlerin değişik polimerizasyon derecesinde birleşmeleri, 2-Farklı birimlerin değişik kombinasyonuna, 3-Tek bir proteinin konformasyonel değişimeleri, 4-Yukarıda bahsedilen üç ihtimalin kombinasyonlarına bağlıdır.

Bu formlar kendi aralarında da değişebilir. Bu değişimler; farklı pH, iyonik şiddet konsantrasyon yada protein parçalama reaktifleri ihtiva eden çözeltilerde bekletmekle daha da artırılabilir¹²⁵. Bu yapıların substrat spesifikliği, optimum pH, stabil

olduğu sıcaklık ve de inhibitörlerle karşı davranışlarında farklılıklar vardır. Dehidrogenasyon ve hidroksilasyon aktivitelerinin oranları üzerinde çok detaylı çalışmalar vardır. Genelde, çeşitli yapılarının yalnızca bir kısmı monofenollere etki eder^{65,129}.

Hidroksilasyon aktivitesi, dört alt birimin birleşme derecesine bağlıdır. Ancak alkali pH'larda daha büyük molekül ağırlıklı yapılar hidroksilasyon aktivitesinin çoğunu kaybeder. Bu şartlarda o-difenolün yükseltgenme aktivitesinden daha az kararlıdır¹³⁰.

Şeker pancarı kloroplastları ve muzdan elde edilen enzimleri için, dikkate alınacak derecede daha düşük molekül kütleyeleri (10.000 ve 12.000 dalton) bulunmasına rağmen genelde monomerin 30.000 dalton civarında molekül kütlesine sahip olduğu ve bir bakır atomu ihtiva ettiği kabul edilir¹³¹.

Bu enzim yapılarının yanı sıra, yalnızca elektroforetik özellikleri farklı olan özdeş molekül kütleyeli yapılarda vardır. Patatesten elde edilen PPO'ın farklı izoelektrik noktalara sahip birkaç monomerik yapıları PAGE ile belirlenmiştir¹³².

Şeftali lakkazının molekül ağırlığı 70.000-90.000 arasında olduğu belirlenmiştir. Değişik kaynaklardan elde edilen lakkazın farklı molekül yapılarına sahip olduğu ifade edilmektedir¹³³.

1.1.7. Enzim Aktivitesi Tayin Metodları

PPO aktivitesi, substratın parçalanma yada ürünün oluşma hızını belirli sınırlar içinde ölçmekle belirlenebilir. Her iki metod ile de reaksiyonun başlangıç hızının ölçülmesine dikkat edilmelidir. Çünkü, o-dihidroksifenolün oksidasyonuyla enzim çok çabuk inaktif hale geber.

Substratın parçalanma hızının belirlenmesinde, O₂ absorbsiyonu ya Warburg respirometresiyle monometrik olarak yada bir oksijen elektroduyla polarografik olarak ölçülür. İki metod da aynı sonuçları vermez. Çünkü aynı şartlar altında elde edilen O₂ nin adsorbsiyon değerleri polarografik metodda daha yüksektir. Bu metod PPO aktivitesi tayini için birkaç araştırmacının seçtiği metodla uyum içindedir¹³⁴.

Ürünün oluşma hızı, kinonlardan oluşan renkli bileşiklerin optik yoğunluklarının spektrofotometrik metodla ölçülmesiyle tayin edilebilir. Bu metodun çok basit olmasından dolayı rutin analizlerde ve polarografik metoda göre nisbeten daha uzun

zaman aralıklarında kullanıldığından tercih edilir. Ancak bazı yazarlar spektrofotometrik metodun kullanılmasına karşıdırular. Çünkü; PPO'nın sekonder reaksiyon ürünleri oluşur ve sekonder reaksiyonlar kontrolü güç olan bir çok faktörden etkilenirler.

Askorbik asitin varlığı elde edilen değerleri düşürürken, aminoasit; protein parçalanma ürünleri, ağır metal iyonları, meyvaların kendi yapısındaki substratları ve fenollerin otooksidasyon ürünleri enzim aktivitesinin seviyesini artırabilirler. Spektrofotometrik metodlar, enzim aktivitesi ve enzim kararması arasında bir ilişki kurduğu zaman tavsiye edilebilir¹³⁵.

Katekol, pirogallol yada klorogenik asit gibi nötral substratlar spektrofotometrik metodlarda kullanılabilirler. Değişik fenollerin oksidasyonundan elde edilen renkli bileşikler farklı dalga boylarında maksimum absorbsiyon verirler vede substratlar özellikle bazik pH larda otooksidasyona maruz kalabilirler. Daha da önemlisi; bazı substratların aşırısı enzim inhibisyonuna sebep olduklarından bu hususlara spektrofotometrik ölçümller yapılmırken dikkat edilmelidir¹³⁶.

Enzimin hidroksilasyon aktivitesi, O₂ absorbsiyon metoduyla belirlenmektedir. Saf enzim o-dihidroksi fenolün mevcut olmadığı ortamda monofenol substratı (en sık kullanılan; p-kresol ya da tirozin) kullanılarak enzim aktivite değeri hesaplanmasında, reaksiyonun geri kalan fazı dikkate alınmadan yapılır. Değerlendirme periyodunun sonu, reaksiyonun başlangıcı olarak düşünülür ve de O₂ absorbsiyonunun zamana karşı grafiği çizilir. Bu grafikten enzim aktivitesi hesaplanır¹³⁷.

Aktivite ölçümller esnasında inaktivasyonu geciktirmek için ilave reaksiyonlar kullanılır. Enzim ve substratın yanı sıra reaksiyon karışımı, oluşan kinonları hemen indirgeyen hidrokinon ve askorbik asit gibi oldukça zıt oksidasyon-redüksiyon potansiyeline sahip olan bir yada daha çok bileşikler ihtiiva eder. Substratın katalitik değeri, bu reaktantın konsantrasyonu sabit kaldıkça yeterlidir. Sistemin oksidasyon-redüksiyon potansiyeli polarografik olarak ölçülebilir. Bu prensibi temel alan diğer varsayımlar, reaksiyon karışımına oksitlenebilen askorbik asit tatbik edilir. Ve onun maksimum absorbsiyonu olan 265 nm de konsantrasyondaki azalma ölçülür. Askorbik asitin parçalanma hızı, enzim aktivitesiyle direkt olarak orantılıdır¹³⁸. Reaksiyon sistemindeki hızı belirleyen basamak; substrat \rightleftharpoons kinon transformasyonudur. Aksorbik asit oksidaz sonuçlarla zittir. Bu metodun diğer bir varsayıma göre reaksiyon

karişimına katılan askorbik asit miktarının tam olarak tüketilmesi için gerekli zaman ölçülür. Böyle bir metodun kullanılması, lineer olarak proses durdurulmadığı zaman tavsiye edilmez. Gerçekten bu reaksiyon süresinin lineer olmadığı bulunmuştur¹³⁴.

Askorbik asit yerine $K_4[Fe(CN)_6] \cdot 3H_2O$ kullanıldığında, 420 nm'de absorbans verir. Bu durumda askorbik asidin mevcudiyeti veya 265 nm dalga boyu civarında absorbans veren bitki materyalleri etkilendir. Bu metodun diğer bir avantajı da ferrosiyanürün özellikle asidik pH'lardaki değişimlerden askorbik asite göre daha az etkilenir. Ve de çözeltide daha kararlıdır. Ferrosiyanür metodunda aynı substratlar kullanıldığı zaman askorbik asit prosedüründen yarı yarıya daha az hassastır¹³⁹.

Fenilik substratlar ve reaksiyon ürünleri üzerinde yapılan gaz kromatografisi çalışmaları, kolayca oksitlenebilen materyaller kullanılmadıkça, katekol substratı ile daha yüksek K_M değerlerinin elde edildiğini göstermiştir. Bu çalışmalar, reaksiyonun Michaelis-Menten kinetiğine uyduğunu göstermiştir ve reaksiyon boyunca enzimin inaktivasyona uğradığı tespit edilmiştir.

Inaktivasyonu önlemek için birçok prosedür geliştirilmiştir. Bu prosedürler reaksiyon karışımından kinonları uzaklaştırma esasına dayanmıştır. 3-metil-2-benzotiyazolon, hidrazon hidro klorid, kinonlar ile kondansasyon ürünleri verir. Bu ürünler $CHCl_3$ ile reaksiyon karışımından ekstraktlanır ve organik fazın absorbasyonu 500 nm'de okunur⁷⁹. Ekstraktlama yerine kondanse olmuş ürünleri asetonda çözmekle daha hassas sonuçlar elde edilir. Enzim aktivitesi, meydana gelen sarı bileşigin 412 nm de absorbansındaki azalma spektrofotometrik olarak ölçülerek bulunur. Substrat olarak katekol yerine 1,4-dihidroksi benzen kullanıldığında bu metod lakkaz aktivitesi belirlemek için de uygun olur¹⁴⁰.

1.1.8. PPO'ın Tabiatta ve Gıda İşletmeciliğindeki Rolü

PPO'ın bitkilerdeki mevcudiyeti sınırlı olsa bile tabiataki rolü oldukça fazladır. Kısmen de olsa enzimin önemli bir görevi, bitkilerin viral veya mikrobiyal enfeksiyonlara karşı direncinde rol oynamasıdır. PPO enziminin patolojisindeki rolü çok sayıda araştırmacı tarafından incelenmiştir^{141,142}.

Patates x virüsü tarafından etkilenen yumruların, sağlıklı olanlara nazaran daha fazla PPO ihtiyac ettiği ve enzimatik kararmaya karşı daha hassas olduğu bulunmuştur. Tatlı patates dokularının *Ceratocystis fimbriata* mantarından izole edilen patojenik

veya patojenik olmayan izolatla aşılanmasında, dokularda PPO aktivitelerinin artmasına neden olmaktadır. Daha hassas türlerin patojenik olmayan izolatla aşılanması, aşılanan yerle kuşatılmış tabakalarda daha sonra meydana gelebilecek bir hastalığa karşı bağışıklık sağlamaktadır. Tatlı patates köklerinde kesme işlemi veya enfeksiyon, sağlıklı dokularda mevcut olmayan yeni bir PPO bileşeninin oluşmasına neden olmaktadır. Bu bileşığın oluşumu ve aktivitedeki artış çeşitli antibiyotiklerle inhibe edilmektedir. Bu durum aktivitedeki artışın yeniden protein sentezi sonucu meydana geldiğini göstermektedir⁴⁴.

Bitkilerin enfeksiyona karşı direnci ile ilgili olarak PPO'ın rolü hakkında yapılan bir açıklamada enzimin faaliyeti sonucu oluşan kinonların ikinci bir polimerizasyon reaksiyonuna uğramasıyla koyu renkli, suda çözünmeyen polimerler oluştuğu belirtilmiştir. Bu polimerlerle doldurulan dokular enfeksiyonunun yayılmasına karşı tampon görevi yapmaktadır. Bu düşünce bazı araştırmacılar tarafından enzimin ana fonksiyonu olarak kabul edilmektedir¹⁴³.

Olumsuz iklim şartlarına dayanıklı olan bitkiler genellikle dayaniksız olanlara nazaran daha fazla PPO aktivitesine sahiptirler. Mesela kış şartlarına dayanıklı bir erik türü olan *Prunus ussuriensis* yapraklarında yüksek seviyede aktivite bulunmuştur. Yine kış şartlarına dayanıklı üzüm asmalarında, dayanıklı olmayanlara nazaran daha fazla aktivite bulunmuştur^{144,145}.

PPO faaliyeti sonucu oluşan kinonlar, sonuçta enzimatik olmayan kararmaya ve humuslaşmaya kadar giden reaksiyonlara iştirak edebilir. Böylece toprağın organik maddelerinin oluşmasına yardımcı olur¹⁴⁶.

Genelde mamül ürünlerin işlenmeleri sırasında gıdaların doğal özelliklerinin olabildiğince korunması görevini üstlenen gıda teknolojleri için çoğu kez istenmeyen renk değişimleriyle sonuçlanan enzimatik esmerleşmenin kontrolü güç bir uğraşı alanı olmuştur. Enzimatik kararma elma, armut, şeftali ve muz gibi meyvalarda, patates ve yemeklik mantar gibi sebzelerde nisbeten daha fazla görülür. Ancak yeterli seviyede fenolik madde ve PPO içermeyen domates ve sunbeam çeşidi şeftali gibi meyvalarda, PPO ihtiva etmeyen yada az miktarda bulunun PPO'yu yapılarındaki yüksek asit nedeniyle inaktifletiren limon ve diğer turuncgil meyvalarında birçok üzümsü meyvalarda ve çeşitli sebzelerde enzimatik kararma problem oluşturmamaktadır^{2,35}.

Öte yandan bazı tahlillardan elde edilen unlardaki yüksek PPO aktivitesinden dolayı, ekmek ve makarna ürünlerinin kararma gösterdiği enzimatik reaksiyonlar sonucu oluşan kinonların proteinlerle birleşerek onların hazmolma yeteneklerini ve bu arada lisin amino asidinin yarayışılılığını azalttığını bildirilmiştir³⁵. Şeker kamışından şeker üretiminde esmerleşme sonucu hem son ürünün rengi etkilenmekte hem de esmer polimerlerden dolayı kristalizasyon güçleşmekte ve verim düşmektedir. Kiraz, vişne ve patlıcanların antosiyanyanlarından kaynaklanan güzel renklerinin enzimatik kararma ile oluşan kinonlarla bozulduğu, daha düşük yükseltgenme-indirgenme potansiyelinden dolayı askorbik asidin antosiyanyan oksidasyonunu önlediği ve sonuçta kendisinin oksitlenerek vitamin değeri daha az olan veya hiç olmayan ürünlere dönüştüğü ve gıdaların bu vitaminince zayıfladığı öne sürülmüştür^{35,147}.

Siyah çay üretiminde enzimatik kararma istenen bir olaydır. Kinonlar, çaya içim tadı ve kalitesini kazandıran teaflavin ve tearübüginlerin ön maddeleridir. Bu nedenle çay PPO's üzerinde çok çalışma yapılmıştır¹⁴⁸. Benzer şekilde çekirdeksiz kuru üzüm, incir ve hurmaların beğenilen güzel renkleri enzimatik esmerleşme sonucudur. Açık renkli meyvalardan elde edilen meyva sularının altın sarısı rengi, ılımlı ve kontrollü bir esmerleşme ile elde edilir. Bu ürünlerin lezzet ve aromasında da aromatik esmerleşme ile oluşan maddeler etkili olabilmektedir. Kakao ve kahvenin renk ve aroması, siyah zeytinin renk ve lezzetinde enzimatik kararmanın rolü büyütür. Ancak yeşil zeytinlerde enzimatik kararma istenmemektedir³⁵. Son olarak meyva suyu üretimi sırasında PPO'nın fenolik maddelere ve tanenlere etki etmesi halinde polimerleşme sonucu durultma sağlanmakta ve fenolik maddelerden ileri gelen buruk tat giderilmektedir^{149,150,160}.

1.2. Çalışmanın Amacı

Enzimatik kararma, polifenollerin o-kinonlara oksidasyonu ve o-kinonların da çabucak esmer renk maddelerine veya melaninlere polimerizasyonu şeklinde cereyan eder. Enzimatik kararmanın kontrolü, enzim, substrat ve O₂ faktörlerinden en az birinin kontrol edilmesine bağlıdır. PPO enzimin inaktif hale getirilmesi veya inhibisyonunda ilk adım, meyva ve sebzeden ekstrakte edilen enzim aktivitesinin optimum şartlarının belirlenmesidir. Bunun için enzim kaynağı olarak, Türkiyenin Doğu Anadolu Bölgesi'nde bol yetişen ve diğer türlerine göre daha etli, büyük ve değerli bir besin olan Kuşburnu meyvaları, Atatürk Üniversitesi Kampüsü'nde yetişkin haldeki bitkilerden Eylül ve Ekim aylarında toplanarak kullanıldı. Kuşburnu

meyvası, meyva suyu, reçel ve marmelat yapımında kullanılır ve hatta çiğ olarak tüketilir. PPO enzimi çoğu meyva ve sebzelerde olduğu gibi Kuşburnu meyvasında da enzimatik kararmaya sebep olmaktadır.

Bu çalışmada ilk defa tarafımızdan kuşburnu meyvasında mevcut olduğu belirlenen PPO enzimi izole edilerek kinetik ve elektroforetik özelliklerinin incelenmesi amaçlanmıştır. Bunun için aşağıdaki hedefler belirlenmiştir.

- a) Enzimin uygun tekniklerle saflaştırılması,
- b) Çalışılan herbir substrat için optimum pH ve sıcaklığın belirlenmesi,
- c) Belirlenen optimum şartlarda enzimin substratlarına olan ilgisinin araştırılması ve bu ilginin biyokimyasal ifadesi olan K_M ve V_{max} değerlerinin bulunması,
- d) Enzimin farklı inhibitörlerle karşı ilgisinin araştırılması ve bu amaçla inhibisyon türünün tesbiti ve K_i sabitlerinin ve I_{50} değerlerinin bulunması,
- e) Enzimin sıcaklıkla denatürasyon ve renatürasyon özelliklerinin araştırılması,
- f) Izoenzimlerin uygun bir elektroforetik metodla belirlenmesi,

Ayrıca, çalışmada elde edilen sonuçların diğer PPO kaynaklarından elde edilen diğer sonuçlarla mukayese edilmesi amaçlanmıştır. Bu araştırmadan elde edilen sonuçların, hem bilimsel açıdan faydalı olacağına hem de kuşburnu işletmeciliğine yön vereceğine inanıyoruz.

2. MATERİYAL VE YÖNTEMLER

2.1. Kullanılan Kimyasal Madde ve Malzemeler

Çalışmalarımızda kullanılan dipotasum hidrojen fosfat, potasyum dihidrojen fosfat, amonyum sülfat, trihidroksimetilaminometan (Tris), hidroklorik asit, triklor asetik asit (TCA), sodyum hidroksit, sitrik asit, akrilamid, amonyum persülfat, glisin, bromfenolmavisi, gliserin, coomassie brilliant blue G-250, etanol, fosforik asit L-tirozin, tiyoüre, benzoik asit, sodyum azotür, β -merkaptoetanol, sodyum dodesilsülfat (SDS), metanol, asetik asit, gümüş nitrat, amonyak, formaldehit ve metilamin E. Merck A.,G dan; polietilenglikol (PEG), askorbik asit, N,N,N',N' tetrametil etilendiamin (TEMED), katekol, L-dopa, o-fenilendiamin, coomassie brilliant bleu R-250, standart serum albumin, diyaliz torbaları, Sephadex G-100, 4-metil katekol, p-kresol, pirogallol, gallik asit, dopamin, L-sistein, glutatyon, sodyum dietilditiyokarbamat (DIECA), ditiyoeritritol, tannik asit glutardialdehit ve N,N' metilen bisakrilamid Sigma Chemical Comp'den; dietilaminoetil (DEAE)-Sephacel pharmacia Fine Chemicals'dan ve sodyum metabisulfit DAYM'den sağlandı.

2.2. Faydalanan Alet ve Cihazlar

Çalışmalar esnasında aşağıdaki alet ve cihazlardan yararlanılmıştır.

Soğutmalı santrifuj : Heraeus Sepatech

Spektrofotometre: LKB-Biochrom, ULTROSPEC-II model 4050

pH metre : Shoot C6 840 pH Meter

Mağnetik karıştırıcı : IKAMAG RH Janke Kunkel

Peristaltik pompa : Pump p-3 Pharmacia Fine Chemicals

Elektroforez tankı : Hoefer, HSI

Terazi : Libror, EB. 330 H

Karıştırıcı : Vortex-Genie Model K-55

Kronometre : Hanhard, Elektronische Digital Stoppuhr

Otomatik pipetler : Fischer

Çalkalayıcı : GFL

Homojenize edici: Waring Blender

Gradient karıştırıcı : Gradient Mixer GM-1 Pharmacia Fine Chemicals

Sabit sıcaklık sirkülatörü : HAAKE FE

Fraksiyon Toplayıcı : Eldex Universal Fraction Collector.

2.3. Kullanılan Çözeltilerin Hazırlanması

Araştırma süresince kullanılan çözeltilerin kullanımı yerleri ve hazırlanış şekilleri aşağıdaki gibidir.

- i) Ekstraksiyon tamponu (%0,5 PEG, 10 mM askorbik asit, pH=7,3 0,5 M fosfat tamponu): 8,7 g (0,05 mol) K₂HPO₄, 0,5 g polietilenglikol, 0,176 g (0,001 mol) askorbik asit 80 ml saf suda çözüldü. 1M HCl ile pH=7,3 e kadar pH metre yardımıyla titre edildi. Çözelti daha sonra saf suyla 100 ml'ye tamamlandı.
- ii) 5 mM fosfat tamponu, pH=6,3 (Amonyum sülfat çöktürmesi sonucunda oluşan çökelein çözeltiye alındığı, diyalizin yapıldığı tampon): 0,87 g (0,005 mol) K₂HPO₄ 950 ml saf suda çözüldü. 1 M HCl ile pH 6,3'e kadar titre edildi ve saf suyla 1000 ml'ye tamamlandı.
- iii) Optimum pH çalışması için kullanılan pH sı 3-10 arasında olan tampon çözeltiler: pH sı 3-5 aralığında 0,1 M sitrat/0,2 M K₂HPO₄ tamponu kullanıldı. Bu tampon için 2,1 g sitrat (0,01 mol), 3,48 g (0,02 mol) K₂HPO₄ 80 ml saf suda çözülerek 1M NaOH veya 1M HCl yardımıyla istenen pH ya kadar titre edildi ve daha sonra saf su ile hacim 100 ml ye tamamlandı.
pH=5-7 aralığında 0,2 M fosfat tamponu kullanıldı. Bu tampon çözeltide 3,48 g K₂HPO₄ 80 ml saf suda çözülerek, 1 M HCl ile çözelti istenen pH ya ayarlandıktan sonra saf su ile hacim 100 ml ye tamamlandı.
- pH= 7-10 aralığında 0,2 M Tris-HCl Tamponu kullanıldı. Bu tampon çözelti için 12,114 g (0,1 mol) Tris 400 ml suda çözülerek, bu çözeltiden 40'ar ml alındı 0,1 M HCl ile istenen pH ya ayarlanarak saf su ile 50'ser ml ye tamamlandı ve böylece değişik pH lı seri Tris-HCl tamponları hazırlandı.
- iv) Substrat çözeltileri : Her bir substrat çözeltisi 0,1 M, 10 ml olacak şekilde hazırlandı. Bu amaçla 0,11 g (1.10⁻³ mol) katekol, 0,124 g (1.10⁻³ mol) 4-metil katekol, 0,126 g (1.10⁻³ mol) pirogallol, 0,191 g (1.10⁻³ mol) L-trozin, 0,108 g (1.10⁻³ mol) p-Kresol suda, 0,197 g (1.10⁻³ mol) L-dopa 0,189 g (1.10⁻³ mol) dopamin ve 0,170 g (1.10⁻³ mol) gallik asit çok az miktarlı bazik ortamlarda çözüldü (suda çözünmedikleri için). Uygun pH'lara ayarlandı .

v) Stok İnhibitor çözeltileri: Enzim inhibisyonu çalışmalarında kullanılan çözeltiler. Tablo 2.1.de gösterildiği miktar ve konsantrasyonlarında hazırlandı. Bazik tampon çözeltilerde çözünenlerin pH'sı HCl ile 8.5'a ayarlandı. İhtiyaç duyulanların seyreltilmeleri saf su ile yapıldı.

Tablo 2.1. Enzim inhibisyonu çalışmalarında kullanılan stok İnhibitor çözeltilerin hazırlanışı

Inhibitör	Miktar (g)	Mol sayısı (mol)	Stok Çözelti kon- santrasyo nu (M)	İnhibitör- ün çözün- düğü ortam	Çözelti- nin hac- mi (ml)
Sodyum metabisülfit	0.190	$1 \cdot 10^{-3}$	0.1	su	10
L-Sistein	0.121	$1 \cdot 10^{-3}$	0.1	su	10
Askorbik asit	0.176	$1 \cdot 10^{-3}$	0.1	su	10
Glutatyon	0.307	$1 \cdot 10^{-3}$	0.1	su	10
Tiyoüre	0.760	$1 \cdot 10^{-2}$	1.0	su	10
Sodyum Azotür	0.390	$6 \cdot 10^{-3}$	0.6	su	10
DİECA	0.225	$1 \cdot 10^{-3}$	0.1	su	10
Ditiyoeritritol	0.154	$1 \cdot 10^{-3}$	0.1	su	10
Tannik asit	0.340	$2 \cdot 10^{-4}$	0.02	su	10
Benzoik asit	0.366	$3 \cdot 10^{-3}$	0.3	pH=8.5 1M Tris Tamponu	10
Sodyum Klorur	1.71	$2 \cdot 10^{-2}$	2.0	su	10
Na EDTA	1.86	$5 \cdot 10^{-3}$	0.5	pH=8.5 1M Tris Tamponu	10
β-Merkaptoetanol	0.07 ml	$1 \cdot 10^{-3}$	0.1	su	10
Tiyodiglikol	1.05 ml	$1 \cdot 10^{-2}$	1.0	su	10
Etilenglikol	0.56 ml	$1 \cdot 10^{-2}$	1.0	su	10

vi) Standart serum albumin çözeltisi (1 mg/ml protein tayini için kullanılan çözelti): 25 mg standart serum albuminin 25 ml saf suda çözülmesiyle hazırlandı.

vii) Coomassie brilliant bleu G-250 reaktifi (kantitatif protein tayini için kullanılan reaktif) : 100 mg coomassie brilliant bleu G-250, 50 ml %95 lik etanolde çözüldü. Bu çözeltiye 100 ml %85 lik fosforik asit ilave edilerek toplam hacim saf su ile 1 litreye tamamlandı.

viii) DEAE-seluloz iyon değişim kromatoprafisinde elüsyon için pH:10-4 arasında gradient oluşturmak amacıyla kullanılan tampon serisi,

0,1 M Tris-HCl tamponu (pH=10)(dengeleme tamponu) : 6,057 g (0,05 mol) Tris 450 ml saf suda çözüldü. 0,1 N HCl ile pH=10 a kadar titre edildi. Toplam Hacim 500 ml ye tamamlandı.

0,1 M fosfat tamponu (pH=7): 8,705 g (0,05 mol) K₂HPO₄ 450 ml saf suda çözüldü, 1N HCl ile pH=7 ye kadar titre edildi toplam hacim 500 ml ye tamamlandı.

0,1 M fosfat tamponu (pH=4); 8,705 g (0,05 mol) K₂HPO₄ 450 ml saf suda çözüldü. 1N HCl ile pH=4 e pH metre ile ayarlandı. Son hacim 500 ml'ye tamamlandı.

ix) Elektroforez çalışmalarında kullanılan çözeltiler :

1M Tris-HCl tamponu pH=8,8; 12,114 g (0,1 mol) Tris 80 ml saf suda çözüldü. 1N HCl ile pH=8,8 e ayarlandı, toplam hacim 100 ml ye tamamlandı.

%10 luk ayırmaya jeli; 15 ml pH=8,8 olan 1M Tris-HCl, 13,2 ml %30 luk akrilamid % 0,8 lik bis akrilamid, 0,4 ml %5 lik TEMED (N,N,N',N'- tetrametil etilen diamin) ve 9,4 ml saf su karıştırılarak hazırlandı. Bu karışımın üzerine en son olarak 0,8 ml %1,5'lik PER ((NH₄)₂S₂O₈ : amonyum persülfat) karıştırılarak ilave edildi. PER kullanılmadan hemen önce taze olarak hazırlandı. (SDS-elektroforezinde bu karışımı %0,1 lik SDS ilave edildi).

% 3 luk yiğma jeli; 1M'lik Tris-HCl (pH=6,8)'den 1,24 ml, %30 luk akrilamid, % 0,8'lik bis akrilamidden 1 ml, %5 lik TEMED'den 0,1 ml ve saf sudan 7,36 ml ilave edilerek karıştırdı. Son olarak taze hazırlanmış %1,5'luk PER'den 0,2 ml ilave edilerek hazırlandı (SDS-elektroforezinde bu karışımı 0,1 ml %0,1 lik SDS çözeltisi ilave edilerek kullanıldı).

Yürütmeye tamponu : 3 g Tris ve 14,4 g glisin 200 ml saf suda çözüldü. Çözeltinin hacmi saf suyla 1000 ml ye tamamlandı (SDS elektroforezinde bu çözeltiye %1 oranında % 0,1 lik SDS ilave edildi).

Numune Tamponu : 0,65 ml 1M Tris-HCl pH=6.8, 1 ml %100 lük gliserin ve 1 ml %0,1 lik bromfenol mavisiinin karışımıyla toplam hacim saf suyla 10 ml ye tamamlandı (SDS-elektroforezinde su yerine 3 ml %0,1'lik SDS çözeltisi ve kullanılmadan hemen önce 0,950 ml numune tamponuna 50 μ l β -merkapto etanol ilave edildi).

2.4. Yöntemler

2.4.1. Protein Tayini

2.4.1.a. Kalitatif Protein Tayini

Çalışmamızda yapılan kromatografi işlemleri sonucunda elde edilen elüsyon çözeltilerinde kalitatif protein testi uygulandı. Kalitatif protein tayini, protein yapılarında bulunan aromatik halkaya sahip amino asitlerin (fenilalanin, tirozin ve triptofan) 280 nm deki UV işinlarını absorblamaları esasına dayanmaktadır¹⁵¹.

Kromatografi sonucunda elüatlar kuvartz küvetlere konularak spektrofotometrede absorbansları proteinin içinde bulunduğu tampon kör olarak kullanılarak ölçüldü.

2.4.1.b. Coomassie bleu Yöntemiyle Kantitatif Protein Tayini

Ekstraksiyon ve saflaştırma basamaklarında elde edilen çözeltilerdeki protein miktarı tayinleri, bu yöntemle belirlendi. Bu yöntem; fosforik asitli ortamda proteinlerin, coomassie brilliant-bleu G-250 reaktifi ile kompleks oluşturması, oluşan kompleksin 595 nm'de maksimum absorbans göstermesi esasına dayanır. Bu yöntemin, diğer protein tayin yöntemlerinden üstün tarafı, çok kısa sürede uygulanması, bozucu faktörlerin pek söz konusu olmaması, protein-boya kompleksinin çözeltilerde uzun süre kalmasıdır. Bu yöntemin hassasiyeti 1-100 μ g arasındadır¹⁵².

Protein tayin işlemlerinde şu yol izlendi; 1 ml sinde 1 mg protein ihtiva eden standart sığır albumin çözeltisinden tüplere 0,10,20,30,40,50,60,70,80,90 ve 100 μ l alındı. 5 mM fosfat tamponu (pH=6,3) ile tüm tüplerin hacimleri 0,1 ml'ye

tamamlandı. 5 ml coomassie brilliant blue G-250 reaktifi her bir tüpe ilave edildi. Tüppler vortex ile karıştırılarak 10 dak sonra 595 nm de 3 ml'lik küvetlerde köre karşı absorbans değerleri okundu. Kör olarak 0,1 ml lik 5 mM fosfat tamponu (pH=6,3) olan 1. tüp kullanıldı. Okunan absorbans değerlerine karşılık gelen μ g protein değerleri ile standart grafik hazırlandı (Şekil 3.1).

Hazırlanan enzim çözeltilerinden 0,1'er ml 2 ayrı tüpe alınarak üzerlerine 5'er ml coomassie reaktifi ilave edildi. Vorteksde karıştırıldı. 10 dk sonra 595 nm'de absorbansları ölçüldü. İki ölçümün ortalama absorbansına karşılık gelen protein miktarı standart grafik yardımıyla hesaplandı.

2.4.2. Polifenol Oksidaz Enzim Aktivitesi Tayini

PPO enzimi aktivitelerinin ölçümlerinde, spektrofotometrik metod kullanıldı ve absorbans ölçümleri 420 nm dalga boyunda gerçekleştirildi¹⁵³. Aktivite ölçümü için 0,1 ml enzim 2,9 ml tampon+substrat (+inhibitör) çözeltisi ilave edildi. Tampon olarak 0,2 M, pH=5-7 aralığında fosfat tamponu veya 0,2 M pH=7-10 aralığında tris tamponu kullanıldı; 2,5-10 mM substrat konsantrasyonlarında çalışıldı. 30 saniyelik zaman aralıklarında absorbanslardaki artışlar 3 dakika boyunca kayd edildi. Kör olarak enzim dışındaki çözeltiler aynı miktarlarda kullanıldı; enzim çözeltisi yerine enzimin içinde bulunduğu tampon konuldu. Enzim çözeltisi, substrat çözeltisine ilave edilir edilmez kronometre çalıştırıldı ve küvet spektrofotometreye yerleştirildi. İlk 30 s den itibaren 3 dakika boyunca her 30 s de bir absorbans değeri kaydedildi. Aktivite birimi olarak "1 ml enzim çözelişi başına 1 dakikada absorbansta meydana gelen 0,001 birimlik değişme" kullanıldı^{34,83}.

2.4.3. Kuşburnu Polifenol Oksidaz Enziminin İzolasyonu ve Saflaştırılması Çalışmaları

2.4.3.a. Kuşburnu Meyvasının Temini ve Ham Ekstrakt Hazırlanması

Çalışmamızda kullanılan kuşburnu meyvaları (*Rosa dumalis*) Atatürk Üniversitesi Kampüsünde yetişkin haldeki bitkilerden Eylül-Ekim aylarında toplanıldı. İncelemelerde kullanılıncaya kadar 4°C de depo edildi. Kuşburnu meyvaları 4 yıl boyunca aynı bitkiden toplanıldı.

Ham ekstrakt hazırlanması amacıyla, her 20 g kuşburnu meyvası 100 ml %0,5 polietilenglikol ve 10 mM askorbik asit içtiva eden 0,5 M fosfat tamponu (pH=7,3)

ince Waring Blender ile 2 dakika süreyle homojenize edildi. Homojenat iki kat tülentten süzüldü. Süzüntü 48.000 x g'de 5°C de 1 saat süreyle soğutmalı santrifüje santrifüj edildi. Elde edilen süpernatant diğer saflaştırma basamaklarından amonyum sülfat'la çöktürme işlemlerinde ve ham ekstrakt olarak kullanıldı.

2.4.3.b. Amonyum Sülfatla Çöktürme ve Diyaliz

Amonyum sülfat çöktürmesi için uygun doygunluk noktasını bulmak amacıyla, % 0-20, % 20-40, % 40-60, % 60-80 ve % 80-90 aralıklarında çöktürme yapıldı. Her çöktürme kademesinde aktivite ölçümü yapıldı. %80'lük amonyum sülfat doygunluğuna kadar olan bütün safhalarda ihmali edilemeyecek düzeyde aktivite gözlendiğinden bundan sonraki amonyum sülfatla çöktürme işlemleri %0-80 arasında doygunlukta yapıldı. Çöktürme işlemleri sırasında kullanılacak katı amonyum sülfat miktarları şu formülle tesbit edildi (0°C için)

$$g \text{ (NH}_4\text{)SO}_4 = \frac{1.77 V (S_2 - S_1)}{3.54 - S_2}$$

V = Süpernatantın hacmi

S₁= 1'in kesri şeklinde mevcut amonyum sülfat doygunluğu

S₂= 1'in kesri şeklinde istenilen amonyum sülfat doygunluğu

Amonyum sülfat çöktürmesi sırasında ham ekstrakta katı (NH₄)₂SO₄ yavaş yavaş porsiyonlar halinde katıldı (0°C de), her porsiyon ilavesi sırasında daha önce katılan (NH₄)₂SO₄ların çözünmüştür olmasına dikkat edildi. Bu işlem yarınlık bir buçuk saat arasında sürdü. Amonyum sülfatın süpernatantda çözünme işlemi mağnetik karıştırıcıda yapıldı. Katı amonyum sülfat katılmasıından sonra %80 doygunluğa getirilen suspansiyon, 48.000xg'de, 5°C de 1 saat süreyle soğutmalı santrifüje santrifüjlendi. Oluşan çökelek 5 mM fosfat tamponunun (pH=6,3) çözünebildiği en az miktarında çözüldü.

Amonyum sülfat çöktürmesi sonucu elde edilen enzim çözeltisi diyaliz torbasına yerleştirildi. Enzimin içinde bulunduğu tampona (5mM fosfat tamponu pH=6,3) karşı 3-4 defa değiştirilmek suretiyle 24 saat süreyle diyaliz edildi. Diyaliz işlemi mağnetik karıştırıcı üzerinde buz dolabı içinde (4°C) gerçekleştirildi.

2.4.3.c. Jel Filtrasyon Kromatoğrafisi

100 ml'lik yatak hacmi elde etmek için 5 g Sephadex G-100, 100 ml saf su içine alındı. 90°C de su banyosunda 5 saat bekletilerek polimer materyal (sephadex G-100)

şışirildi. Şışirilmiş materyalin içindeki hava, su trombu kullanarak vakumla uzaklaştırıldı. Şışirilmiş ve havası uzaklaştırılmış polimer materyali %10 luk gliserinli pH'sı 6,3 olan 0,1 M fosfat tamponuyla dolu kolona içinde hava kabarcığı olmayacağı şekilde aktarıldı. Aynı tamponla dengeleme işlemi yapıldı. Kolonun dengelendiğini tesbit için, üstten ilave edilen tamponla aldan alınan tamponun pH ve 280 nm'de absorbans değerleri aralıklarla ölçüldü, bu değer aynı oluncaya kadar dengeleme işlemine devam edildi ve kolonun akış hızı 15-20 ml/saat olarak ayarlandı.

Elüsyon işlemi için dengelenen kolonun, jel üzerindeki tampon çözeltisi jel seviyesine indirildi. Numune tatbiki için %10 luk gliserinli enzim çözeltisinden 8 ml kolona tatbik edildi. Bu enzim çözeltisinin jel tarafından emdirildikten sonra üzerine birkaç ml elüsyon tamponu ilave edilerek tekrar jele emdirildi. Daha sonra kolonun üstü elüsyon tamponuyla doldurularak, daha yüksek seviyede bulunan erlen içindeki elüsyon tamponu ile kolon arasında bağlantı kuruldu. Numune tatbikinden itibaren kolondan elüatlar fraksiyon toplayıcı yardımıyla 4'er ml olacak şekilde tüplere toplandı.

Elüsyon tamponu kör olarak kullanılarak 280 nm de, toplanan elüatların absorbansları ölçüлerek kayd edildi. Elüsyon almaya 280 nm deki absorbans sıfır oluncaya kadar devam edildi. 280 nm de absorbans gösteren tüplerde aktivite ölçümü yapıldı. 280 nm'de kalitatif ölçümü için alınan absorbans değerleri ve 420 nm'de alınan aktivite değerleri tüp sayısına karşı grafikleri çizildi (şekil 3.2). Kromatografi işlemi sonunda enzim aktivitesine rastlanan tüpler birleştirildi. Kolona tatbik edilen numune ve birleştirilen eluat çözeltileri için coomassie-blue metoduyla kantitatif protein tayini ve aktivite tayinleri yapılarak spesifik aktiviteler belirlendi. Saflaştırma oranları tesbit edildi.

2.4.3.d. DEAE-Sephacel İyon Değişim Kromotografisi

Bu çalışmada kullanılan ve daha önceden şışirilmiş olan jel materyali havası uzaklaştırılıp $1,2 \text{ cm}^2 \times 70 \text{ cm}$ ebadındaki kolona dolduruluktan sonra jel filtrasyon kromatografisinde olduğu gibi kolona dengeleme işlemi uygulandı. Dengeleme işlemi 0,1 M Tris-HCl tamponu (pH=10) ile yapıldı. Kolonun akış hızı peristatik pompa yardımıyla 10-15 ml/saat'a ayarlandı. Dengeleme işlemine kolona üstten ilave edilen tamponun pH ve 280 nm'deki absorbans değerlerine kolonun altından alınan elüatların pH ve 280 nm'deki değerleri eşit oluncaya kadar devam edildi. Elüsyon işlemi soğuk odada gerçekleştirildi. Elüsyon işlemi için dengelenen kolona; jel

filtrasyon sonucundan elde edilen fraksiyonlardan 5'er ml alınarak karıştırıldı. Bu 10 ml'lik karışımıma 1 ml gliserin ilave edilerek, gliserinli karışımından 10 ml tatbik edildi. Enzim çözeltisini jele emdirme işlemi jel filtrasyon kromatografisinde olduğu gibi yapıldı. Gradient mixerin kolona bağlı olan ve bir mekanik karıştırıcı ile karıştırılan haznesine 250 ml pH sı 10 olan 0,1 M Tris-HCl tamponu, bu hazineye açılan diğer hazineye ise 250 ml pH sı 7 olan 0,1 M fosfat tamponu dolduruldu. Elüsyona başlandı. Böylece ilk kademedede pH 10 dan 7'ye değişen pH gradienti uygulanmış oldu. İkinci kademedede kolona bağlı olan hazineye pH sı 7 olan 0,1 M fosfat tamponunun 250 ml si konulurken diğer hazineye pH sı 4 olan 0,1 M fosfat tamponundan 250 ml konuldu. Elüsyon işlemi bu ikinci kademe sonunda tamamlandı. Sonuçta pH 10 dan 4'e değişen (azalan pH) pH gradienti uygulanarak elüsyon yapılmış oldu.

Elüatlar fraksiyon kollektor yardımıyla 4'er ml halinde tüplere alındı. Elüatlarda 280 nm'de kalitatif protein tayini yapıldı. Ayrıca 280 nm'de absorbans gösteren tüplerde 420 nm'de aktivite tayinleri yapıldı. Elde edilen değerler tüp sayısına karşılık grafik edildi (Şekil 3.3). Enzim aktivitesi gösteren tüpler fraksiyonlar halinde birleştirildi. Birleştirilen elüat çözeltileri ve kolona tatbik edilen numune için coomassie-blue metoduyla kantitatif protein ve aktivite tayinleri yapılarak spesifik aktiviteler hesaplandı ve saflaştırma oranları belirlendi.

2.4.3.e. SDS - Poliakrilamid Jel Elektroforezi

Elektroforez çalışmalarında, Laemmli tarafından tanımlanan sodyum dodesilsülfat poliakrilamid jel elektroforezi (SDS-PAGE) uygulandı. Bu amaçla %3'lük ve %10 luk olmak üzere iki farklı akrilamid konsantrasyonlarında kesikli SDS-PAGE kullanıldı¹⁵⁴.

Elektroforez işlemi için, elektroforez plakaları önce su sonra etil alkol ile iyice temizlendikten sonra plakalar arasına konulan aralık oluşturuculara vazelin sürülerek cam plakalar arasına yerleştirilip, kıskaçlarla tutularak jel hazırlama cihazına konuldu. Cam plakaların altı, kaynayıncaya kadar ısıtılp 40°C ye kadar soğutulan %0.5 lik agar çözeltisi ile 0.5 cm kadar doldurularak kapatıldı. Böylece sızmalar önlenmiş oldu.

Taze olarak hazırlanan %10'luk ayırma jeli enjektör yardımıyla cam plakalar arasına 2/3 seviyesine kadar döküldü. Bu sırada jel arasında hava kabarcığı kalmamasına dikkat edildi. Jel yüzeyinin düzgün olması için su ile ince bir tabaka

oluşturuldu. Jelin katılıması için yarım saat kadar beklenildi. Katılanın ayırma jelinin üzerindeki su tabakası boşaltıldı. Daha sonra %3'lük yiğma jel, ayırma jelinin üstüne cam plakaların arası tamamen doluncaya kadar ilave edildi. Üzerine tarak dikkatlice yerleştirildi. Tarağın üzerine ıslatılmış süzgeç kağıdı konularak üzeri kapatıldı ve %3 lük jelin katılıması için bir gece bekletildi. Ertesi gün tarak dikkatlice çıkarılarak, jelde oluşan oyuklar önce saf su ile sonra yürütme tamponuyla yıkandı ve tekrar yürütme tamponuyla dolduruldu. Oyukların yerleri işaretlenerek cam plakalar arasındaki kesikli jel elektroforez tankına yerleştirildi. Elektroforez tankının alt ve üst kısmına elektrik devresini içine alacak şekilde yürütme tamponu dolduruldu.

Numune hazırlanışı şöyle yapıldı; ham ekstrakt (H_1), amonyum sülfat çöktürmesi (AS_1) ve jel filtrasyon kromatografisi sonucunda elde edilen fraksiyonlardan; 1. fraksiyon (JF_1) dan 3 ml ve 2. fraksiyon (JF_2) dan 8 ml alınarak amonyum sülfatla %80 doygunluğa getirildi. Ayrıca amonyum sülfat çöktürmesi (AS_2) sonucunda elde edilen çözeltiden 2 ml alınarak o da yeniden amonyum sülfatla %80 doygunluğa getirildi, Ham ekstrakt ve amonyum sülfat çöktürmesi sonucu çözeltiler 1:1 oranında numune tamponuyla karıştırıldı. Yeniden amonyum sülfat çöktürmesi yapılan JF_1 , JF_2 ve AS_2 lar 48.000xg de yarım saat 5°C de santrifüj yapıldı oluşan çöreklerden JF_1 200 μ l, JF_2 100 μ l ve AS_2 de 300 μ l numune tamponlarında çözüldü ve numune tamponunun 950 μ l sine 50 μ l β -merkaptoetanol katılarak ve kaynar su banyosunda 3 dakika bekletilerek proteinlerin denaturasyonu sağlandı. Böylece hazırlanan numunelerden 75'er μ l (en az 20 μ g protein olacak şekilde) çok ince bir enjektor yardımıyla alınarak jel oyuklarına (jelin 1. ve 2. oyuğuna ham ekstrakt, 3., 4. oyuğuna AS_2 , 5., 6. oyuğuna AS_1 , 7., 8. oyuğuna JF_1 ve 9., 10. oyuğuna JF_2 numuneleri) tatbik edildi.

Tank kapağı kapatılarak alt taraftan (+) kablo (anod), üst taraftan (-) kablo (Katot) bağlandı. Önce 80 voltda yarım saat, daha sonra 150 voltda oda sıcaklığında 4-5 saat süreyle akım geçirildi (yürüme işlemi, jelin alt ucundan 1,2 cm kalıncaya kadar devam etti). Akım kesilerek cam plakalar arasındaki jel dikkatlice çıkarıldı. Yürütme tamponu tekrar kullanılmak üzere kabına dolduruldu. Yiğma jeli kesilip ayrıldıktan sonra protein bantlarını içeren ayırma jeli özel kabına alınarak %50 lik TCA çözeltisinde bir gece bekletildi. Sabahleyin % 50 lik TCA çözeltisinden çıkarılıp 37°C de renklendirme çözeltisi (%50 lik TCA çözeltisinde çözünmüş %0,1 lik coomassie brilliant bleu R-250) içine alınarak bir saat bekletildi. Daha sonra %7 lik asetik asit

çözeltisiyle bir kaç kez yıkandı. Bu çözeltiden çıkarıldıktan sonra jelin fotoğrafı çekildi.

Ayrıca, yürütme işleminden sonra proteinlerin boyanması için değişik metodlar uygulandı, bunlardan gümüş boyamasında şu prosedür uygulandı.

1. Su, asetik asit ve metilalkol (5:1:5) karışımında 30 dakika çalkalandı.
2. %15 lik metil alkol çözeltisinde 15 dakika çalkalandı.
3. %10 luk glutardialdehit çözeltisinde 30 dakika çalkalandı.
4. 3 defa hızlıca saf su ile yıkandı. Daha sonra 5 dakikada bir suyu değiştirilmek üzere 45 dakika saf suda çalkalandı (glutardialdehit kokusu kalmayınca kadar) gerekirse bir gece suda bırakılır.
5. AgNO_3 çözeltisi; 3 ml $\text{NH}_3 + 42$ ml 0,1 N NaOH karışımı üzerine 8 ml %20 lik AgNO_3 çözeltisi yavaş yavaş alttaki çözelti kuvvetlice karıştırılarak ilave edilir. Eğer çökelek oluşursa az miktarda NH_3 ilave edilebilir ve son hacim su ile 200 ml ye tamamlanır, bu çözeltide 15 dakika çalkalandı (kullanılan NH_3 , 35-75 ml 1N HCl i pH 7-8 ye titre edecek miktar).
6. Bir defa saf su ile hızlıca yıkandı ve daha sonra 3 defa 5 dakika aralıklarla saf su ile çalkalandı.
7. Renk açma basamağı; 50 mg sitrik asit/litre çözeltisinin 200 ml sine (kullanmadan hemen önce) 100 μl % 37 lik formaldehit katıldı. Jel bu çözelti içinde 2-10 dakika bekletildi.
8. Bir defa saf su ile hızlıca yıkandı.
9. Rengin durulması; 500 mg sitrik asit/litre çözeltisinin 200 ml sine (kullanmadan hemen önce) 100 μl metilamin katıldı ve bu çözeltide 15 dakika çalkalandı.
10. Jel saf su ile yıkandı, bantlar karışık ve yürümenin iyi olmadığından dolayı fotoğrafı çekilmemi.

Diğer bir metodda ise jel özel kabına alınarak üzeri örtülünceye kadar renklendirme çözeltisi döküldü. 1,5-2 saat çalkalandıktan sonra, renksizleştirme çözeltisine nakledildi. Aralıklarla renksizleştirme çözeltisi değiştirilmek suretiyle jelin zemin rengi açılıp, protein bantları belirginleşinceye kadar 1-2 gün çalkalandı. Renksizleştirme çözeltisi aktif karbondan sözülverek yeniden kullanılabilir hale getirildi. Jel renksizleştirme çözeltisinden çıkarıldı. Bantlar çok belirgin olmadığı için fotoğrafı çekilemedi.

Renklendirme çözeltisi (SDS-PAGE de kullanıldı); 0,66 g Coomassie brillant bleu R-250, 120 ml metanol da çözüldü. Bu çözeltiye 24 ml saf asetik asit ve 120 ml saf su eklendi.

Renksizleştirme çözeltisi (SDS-PAGE de kullanıldı); %7.5 asetik asit % 5 metanol ve %87.5 su oranlarında 75 ml asetik asit, 50 ml metanol ve 875 ml saf su ile hazırlandı.

2.4.4. Kuşburnu Polifenol Oksidaz Enzimi ile İlgili Kinetik Çalışmalar

Kuşburnu polifenol oksidaz enziminin kinetik özelliklerini araştırmak üzere önce sekiz farklı substrat için, optimum pH, optimum sıcaklık ve optimum iyonik şiddetler belirlendi. Daha sonra bu substratlar için K_M ve V_{max} değerleri tayin edildi. 11 farklı inhibitör için 4-metil katekol substratı ile inhibisyon türü, K_i sabitleri ve I_{50} değerleri tesbit edildi.

2.4.4.a. Optimum pH Çalışması

Optimum pH çalışması; katekol, 4-metil katekol, L-DOPA, dopamin, gallik asit, pirogallol, L-tirozin ve p-kresol substratları kullanılarak yapıldı. Bu substratlarla enzimin substrata doyduğu noktalarda pH=4-10 aralığında uygun tampon çözeltilerinde enzimin gösterdiği aktiviteler, spektrofotometrik olarak ölçüldü ve sonuçlar grafikler halinde verildi (Şekil 3. 5-3.12), Tampon çözeltilerin pH sı 4.0, 4.5 , 5.0, 5.5, 6.0, 6.5, 7.0, 7.5, 8.0, 8.5, 9.0, 9.5 ve 10.0'a 0,1N HCl veya 0.1 N NaOH ile ayarlandı. Küvet içindeki substrat konsantrasyonu 10 mM (sadece L-tirozin için 5 mM) olacak şekilde 2,9 ml tampon+substrat çözeltisine 0,1 ml enzim çözeltisi pipetlenerek aktivite ölçümleri yapıldı. Tesbit edilen optimum pH değerleri tablo 3.3'de verildi. Ayrıca optimum pH çalışmalarında, Kuşburnu meyvasının Ağustos (yeşil hali), Eylül (yarı olgun hali) ve Ekim (olgun hali) aylarında toplanarak yukarıdaki halleri için katekol substratı ile optimum pHları tesbit edildi. Üç ayda da toplanan kuşburnu meyvalarının optimum pHlarında önemli bir fark görülmediğinden yeşil ve yarı olgun halleri için değerleri verilmemi ve yalnız olgun hali ile diğer çalışmalar yapıldı.

2.4.4.b. Optimum Sıcaklık Çalışması

Optimum sıcaklık çalışması yine aynı substratlarla gerçekleştirildi. Substratların optimum pHlarında 5°C-85°C sıcaklık aralığında çalışıldı. İstenilen sıcaklıklar, oda

sıcaklığının altında buz banyosunda, oda sıcaklığının üzerinde, ısıticili mağnetik karıştırıcı üzerinde yer alan su banyosu kullanılarak ayarlandı. Tampon+substrat çözeltilerinin küvete boşaltılması esnasında meydana gelebilecek sıcaklık kayıplarını önlemek amacıyla küvetlerde bir kaç dakika süreyle buz veya su banyosu içinde bekletildi ve mümkün olduğu kadar hızlı bir şekilde enzim çözeltisi pipetlenerek aktivite ölçümleri yapıldı. Sonuçlar grafik halinde verildi (Şekil 3.13-3.20). Tesbit edilen optimum sıcaklık değerleri tablo 3.3' de gösterildi.

2.4.4.c. İyonik Şiddet Etkisi Çalışması

İyonik şiddet etkisi çalışması; katekol, 4-metil katekol ve dopamin substratlarıyla 0.01, 0.05, 0.10, 0.20 , 0.30, ve 0.50 M seri tris-tamponlarıyla yapıldı. Bu esnada her substratın kendi optimal pH'sında çalışıldı. 2,9 ml Tampon+substrat (substrat konsantrasyonu 0,01M) küvete konulduktan sonra 0,1 ml enzim çözeltisi pipetlenerek aktivite ölçümleri yapıldı. Sonuçlar tablo 3.4'de gösterildi.

2.4.4.d. Enzimin Stabil Olduğu pH'nın Belirlenmesi Çalışması

Enzimin stabil olduğu pH'yi belirlemek için 0,1 M sırat/0,2M fosfat (pH=5), 0,1 M fosfat (pH=6,2 ve 7,0), ve 0,2 M tris tampon (pH=8,3)'ları hazırlandı. Bu tamponlardan 4'er ml alındı. Bunun üzerine amonyum sülfat çöktürmesi ve diyaliz sonrası elde edilen enzim çözeltilerinden 1'er ml ilave edilerek 4°C de muhafaza edildi. Bu çözeltiler enzimin stabil olduğu pH çalışması için enzim kaynağı olarak kullanıldı. Aktivite ölçümleri 4-metil katekol substrati ile optimum şartlarda (0,2 M tris tamponu pH=8,5), belirli zaman aralıklarında ölçüldü. % Aktivitelere karşılık gelen depolama süresi grafik halinde gösterildi (Şekil 3.21).

2.4.4.e. Farklı Substratlar İçin Optimal Şartlarda K_M ve V_{max} değerlerinin Bulunması

K_M ve V_{max} değerlerinin tesbit edilmesi amacıyla; Optimum şartlar (pH, sıcaklık ve İyonik şiddet)'da katekol, 4-metil katekol, L-dopa, dopamin, gallik asit ve pirogallol susbtratları için 1.0, 2.5, 5.0 , 7.5 , 10.0 ve 15.0 mM L-tirozin için 0.15, 0.25, 0.5, 1.0, 2.5 ve 5.0 mM, p-kresol substratı için de 0.1, 0.2, 0.5, 1.0 ve 2.5 mM substrat konsantrasyonlarında enzim aktivitesi ölçümleri yapıldı (her ölçüm 2 defa tekrarlandı) 420 nm'de ölçülen aktivite değerleri reaksiyon hızı (EÜ/mlxdak) olarak alındı.

$1/V-1/[S]$ değerleri bulunarak her bir substrat için Lineweaver-Burk grafikleri çizildi (Şekil 3.30-3.37). Grafiklerin çizimlerinde en küçük kareler regresyon doğru denklemi kullanıldı. K_M ve V_{max} değerleri grafik ve doğru denklemleri yardımıyla hesaplandı. Bulunan K_M ve V_{max} değerleri Tablo 3.3 de verildi.

2.4.4.f. Farklı İnhibitörler için K_i Sabitlerinin ve I_{50} Değerlerinin Bulunması

Bu çalışmada inhibitör olarak; sodyum metabisülfit ($Na_2S_2O_5$), L-sistein ($SH-CH_2-CH_2(NH_2)COOH$), L-askorbik asit ($C_6H_8O_6$), glutatyon (γ -glutamil-L-sisteinil-glisin), tiyoüre (H_2NCSNH_2), sodyum azotür (NaN_3), β -merkaptoetanol ($HSCH_2-CH_2-OH$) sodyum dietilditiyokarbamat ($C_5H_{10}NS_2Na \cdot 3H_2O$) ditiyoeritritol ($C_4H_{10}O_2S_2$), tannik asit ($C_{76}H_{52}O_{46}$), benzoik asit (C_6H_5-COOH), sodyum klorur ($NaCl$), Na EDTA ($(C_{10}H_{14}N_2Na_2O_8 \cdot 2H_2O)$, etilenglikol ($C_2H_6O_2$) ve tiyodiglikol ($C_2H_6S_2$) kullanıldı.

Her inhibitör için inhibisyon etkisi literatür araştırmaları göz önüne alınarak 4-metil katekol substratının sabit konsantrasyonunda (10 mM), en az beş olmak üzere farklı inhibitör konsantrasyonlarında aktiviteler okundu. % Aktivite- [I] grafikleri çizildi (Şekil 3.49-3.59). Bu grafiklerden yararlanarak inhibisyonun %50 civarında olduğu 3 farklı sabit inhibitör konsantrasyonları tesbit edildi. Çalışılan inhibitörlerin 3 farklı konsantrasyonları, Tablo 2.2'de verilmiştir.

Önce inhibitörsüz, 2.0, 4.0, 6.0, 8.0 ve 10.0 mM 4-metilkatekol substratı ile aktiviteler belirlendi. Daha sonra bu substrat konsantrasyonlarında, her farklı inhibitörün tesbit edilen 3 farklı sabit konsantrasyonlarında aktivite ölçümleri yapıldı.

Sodyum Klorur, Na EDTA (Titriplex-III), tiyodiglikol ve etilenglikol'un belirgin bir inhibisyon etkileri gözlenmediği için sabit inhibitör konsantrasyonlarında çalışılmadı. Tablo 2.2'de verilen sabit inhibitör konsantrasyonlarında $1/V$ ve $1/[S]$ değerleri belirlenerek Lineweaver-Burk grafikleri çizildi (Şekil 3.38-3.48). Bu grafikler kullanılarak inhibisyon çeşidi ve K_i değerleri tesbit edildi. Her bir inhibitör için bulunan K_i değerleri Tablo 3.6'da verildi.

Tablo 2.2. Çalışılan inhibitörlerin üç farklı konsantrasyonları

Inhibitörler	I_1 (M)	I_2 (M)	I_3 (M)
Sodyum metabisülfit	1.5×10^{-5}	3.0×10^{-5}	4.5×10^{-5}
L-Sistein	7.0×10^{-5}	1.0×10^{-4}	2.5×10^{-4}
Askorbik asit	2.0×10^{-4}	2.5×10^{-4}	3.0×10^{-4}
Glutatyon	8.0×10^{-5}	1.5×10^{-4}	3.0×10^{-4}
Tiyoüre	5.0×10^{-2}	1.0×10^{-1}	1.5×10^{-1}
Sodyum azotür	6.0×10^{-2}	1.0×10^{-1}	2.0×10^{-1}
Sodyum dietilditiyo karbamat	2.0×10^{-5}	4.0×10^{-5}	6.0×10^{-5}
Ditiyoeritritol	2.0×10^{-5}	4.0×10^{-5}	8.0×10^{-5}
Tannik asit	7.5×10^{-6}	1.5×10^{-5}	3.0×10^{-5}
Benzoik asit	1.0×10^{-1}	2.0×10^{-1}	3.0×10^{-1}
β -Merkaptoetanol	2.5×10^{-5}	5.0×10^{-5}	7.5×10^{-5}

I_{50} değerleri de, çalışılan inhibitörlerin inhibisyon etkilerinin araştırılmasından yararlanarak hesaplandı. Bunun için 4-metil katekol substratının 10 mM sabit konsantrasyonunda çalışıldı. Tablo 2.1'de gösterilen stok inhibitör çözeltileri kullanılarak değişen inhibitör konsantrasyonlarına karşılık absorbanslar 420 nm de köre karşı okundu (Kör olarak sadece enzim çözeltisi yerine enzimin içinde bulunduğu 5 mM fosfat tamponu ($pH=6.3$) kullanıldı). Elde edilen absorbans değerlerinden % aktiviteler hesaplandı. % Aktivite-[I] grafikleri çizildi ([I]: küvetteki 3 ml hacim içerisinde bulunan inhibitör konsantrasyonu). Bu grafikler ve denklemlerinden

yararlanarak her bir inhibitör için I_{50} değerleri hesaplandı. Sonuçlar tablo 3.8'de verildi.

2.4.5. Aktivasyon Enerjisinin Hesaplanması

Aktivasyon enerjilerinin hesaplanmasında Arrhenius denklemi kullanıldı¹⁵⁵.

$$\log k = - \frac{E_A}{2.303 R} \frac{1}{T}$$

k = T (K) sıcaklığındaki reaksiyon hızı

R = Ideal gaz sabiti ($1.987 \text{ kal mol}^{-1} \text{ K}^{-1}$)

E_A = Aktivasyon enerjisi (kal. mol^{-1})

Her bir substrat için optimum sıcaklık çalışmasından elde edilen aktivite değerlerinin (EU/ml) logaritması, reaksiyon sıcaklıklarının (K) tersine ($1/T$) ye karşı grafik edildi. Grafik eğimlerinden ($-E_A/2,303R$) yararlanılarak aktivasyon enerjileri hesaplandı. Elde edilen aktivasyon enerji değerleri tablo 3.5'de verildi.

2.4.6. Sıcaklıkla Denatürasyon ve Renatürasyon Özelliklerinin Araştırılması

PPO enziminin sıcaklıkla denatürasyon özelliğinin araştırılmasında; 50°, 60°, 70°, 80° ve 90°C lerde 10', 20', 30', 45' ve 60' dakikalardaki bekleme süreleri sonunda aktiviteleri okundu. Bu işlem için sabit sıcaklık sirkülörü kullanıldı. Sabit sıcaklık sirkülörü çalışılacak sıcaklığa ayarlandı, daha sonra kullanılan tampon çözelti, substrat çözeltisi, saf su ve enzim çözeltisi bu sabit sıcaklık sirkülatürüne yerleştirilerek yukarıdaki sürelerde bekletildikten sonra absorbansları okundu. Bu absorbanslardan yararlanılarak % aktiviteler hesaplandı. Zamana karşılık % aktiviteler grafik edildi (Şekil 3.60). Aktiviteler 0.2 M tris-HCl tamponu (pH=8.5) ve 4-metil katekol substrati ile bölüm 2.4.2'de anlatıldığı gibi yapıldı. Sıcaklık hariç diğer optimum şartlara uyuldu.

Renetürasyon işlemlerinde ise yukarıda denetürasyon çalışmasında kullanılan ve bahsedilen sıcaklıklarda bekletildikten sonra ki enzim çözeltisi sabit sıcaklık sirkülatöründen çıkarılarak 22°C ye kadar soğutuldu. 22°C de 10', 20', 30', 45' ve 60' dakika zaman aralıklarında absorbanslar okundu. Okunan bu absorbanslardan yararlanılarak % orijinal aktiviteler hesaplandı. % orijinal aktivitelere karşılık 22°C'de inkübasyon süresi grafik edildi (Şekil 3.61). Aktiviteler 22°C'de yukarıda açıklandığı gibi belirlendi.

2.4.7. Kuşburnu Polifenol Oksidaz İzoenzimlerinin Tabii Şartlarda Poliakrilamid Jel Elektroforezi ile Belirlenmesi

Tabii şartlarda poliakrilamid jel elektroforezi de, laemmlı tarafından tanımlandığı şekilde SDS kullanılmadan soğuk odada (8°C de) gerçekleştirildi. Böylece ezimin aktif konumu korunmuş oldu¹⁵⁴.

Bu elektroforezde de %10 luk ayırma, %3 luk yiğma jelleri bölüm 2.3. ix da anlatıldığı şekilde SDS kullanılmadan bölüm 2.4.3 e SDS-PAGE deki gibi hazırlanarak kesikli-PAGE'i numune tatbik edilecek duruma getirildi.

Kullanılan enzim kaynağındaki protein miktarı düşük olduğu için, amonyum sülfat çöktürmesi sonunda elde edilen çözeltiden 5 ml enzim çözeltisi alınarak yeniden katı amonyum sülfatla %80 doygunluğa getirildi. $48.000\textrm{xg}$ 'de yarı saat soğutmalı santrifüje 5°C 'de santrifüj edildi. Oluşan çökelek doğrudan doğruya 3 ml numune tamponunda çözüldü. 50, 80 ve 100 er μl 'lik numuneler jel boşuklarına çok ince bir enjektör yardımıyla aynı sırayla üç bölüm halinde tatbik edildi. Tank kapağı kapatılarak alt taraftan (+) kablo (anot), üst taraftan (-) kablo (katot) yerleştirildi. Önce 80 voltda yarı saat, daha sonra 150 voltda 4-5 saat süreyle akım geçirildi. Elektroforez işlemi soğuk odada gerçekleştirildi. Akım kesilerek cam plakalar arasındaki jel dikkatlice çıkarıldı. Yürütmeye tamponu tekrar kullanılmak üzere alındı.

Çıkarılan jel, 50, 80 ve 100 er μl numuneli üç parçaya ayrıldı. Jellerden 1. ve 2. parçası ayrı ayrı 15 mM katekol, 15 mM 4-metil katekol, %0,05 o-fenilendiamin içten ve üçüncü parçası 10 mM dopamin içeren 0,2 M Tris tamponuna ($\text{pH}=8.5$) daldırıldı. Daldırma işleminden 1-1,5 saat sonra jellerde bantlar belirginleşti. Daha sonra 5 dakika süreyle 1 mM askorbik asit çözeltisinde çalkalandı. Bundan sonra jeller %30 luk etil alkol içine alındı ve fotoğrafları çekildi.

Jellerin içine daldırıldığı substrat çözeltilerinin hazırlanması amacıyla, üç ayrı 280 μl 'lik saf su içinde 7,26 şer g'lik Tris çözüldü. Oluşan çözeltilerin birincisinde 0,495 g (4.5×10^{-3} mol) katekol ve 0,15 g ortofenilendiamin, ikincisinde; 0,56 g (4.5×10^{-3} mol) 4-metil katekol ve 0,15 g ortofenilendiamin ve üçüncüsünde de 0,57

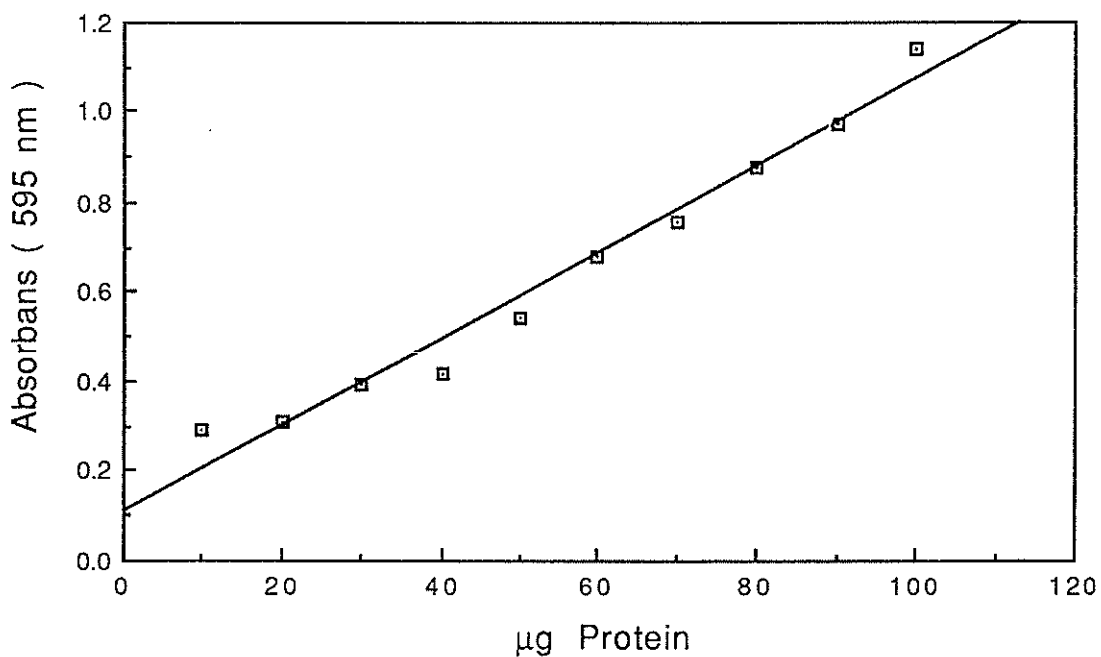
g (3.0×10^{-3} mol) dopamin çözüldü. Çözeltilerin pH'sı 0.1 N HCl ile 8.5'a (optimum pH'lara) ayarlanarak toplam hacimleri saf su ile 300 ml'ye tamamlandı.

Ayrıca yukarıda açıklandığı şekilde numune tatbik edilecek duruma getirilen elektroforeze bu sefer amonyum sülfat göktürmesi ve jel filtrasyon kromatografisi sonucu elde edilen fraksiyonlar (JF₁ ve JF₂) numune olarak tatbik edildi. Yürütme işleminden sonra çıkarılan jel iki parçaya ayrılarak, 4-metil katekol ve L-dopa substratlarıyla bölüm 3.14'de açıklandığı gibi etkileştirildi.

3. DENEY SONUÇLARI

3.1. Kantitatif Protein Tayini İçin Kullanılan Standart Grafik

Kantitatif protein tayininde coomassie-blue yöntemi kullanıldı. Standart grafik 2.4.1.b de açıklandığı gibi hazırlandı. Ekstraksiyon sonrası elde edilen enzim çözeltisi ve saflaştırma basamakları sonunda ki enzim çözeltilerinin protein miktarları bu standart grafiğe göre belirlendi. Standart çözeltilerin μg proteine karşılık gelen absorbans değerleri şekil 3.1'de gösterilmiştir.



Şekil 3.1. Coomassie-blue yöntemiyle protein tayininde kullanılan standart grafik

3.2. Amonyum Sülfatla Çöktürme Sonuçları

Amonyum sülfat çöktürmesinde, uygun doygunluk noktasını tesbit etmek amacıyla, %0-20, %20-40, %40-60, %60-80 ve %80-90 aralıklarında çöktürme yapıldı. Her çöktürme kademesi için gerekli olan katı amonyum sülfat miktarı bölüm 2.4.3.b de anlatıldığı gibi tesbit edildi. Her çöktürme kademesindeki çökelekler çözünebildiği en az miktardaki 5 mM fosfat tamponunda ($\text{pH}=6,3$) çözüldü. Her basamaktaki süpernatant ve çökelek çözeltilerindeki PPO enzim aktiviteleri diyaliz işleminden

sonra 10 mM katekol substratıyla aktiviteler bölüm 2.4.2 de açıklandığı şekilde belirlendi. Çöktürme kademelerindeki çökelek ve süpernatantların aktiviteleri tablo 3.1 de verildi. Tablo incelendiğinde çöktürme yüzdesi arttıkça aktivitenin, süpernatanda giderek azaldığı, çökelek çözeltilerinde ise arttığı %80 lik doygunluk noktasında maksimum değere ulaştığı görüldü. Daha sonraki çalışmalar için amonyum sülfatla çöktürme işlemleri doğrudan %80 doygunluk noktasına getirildi.

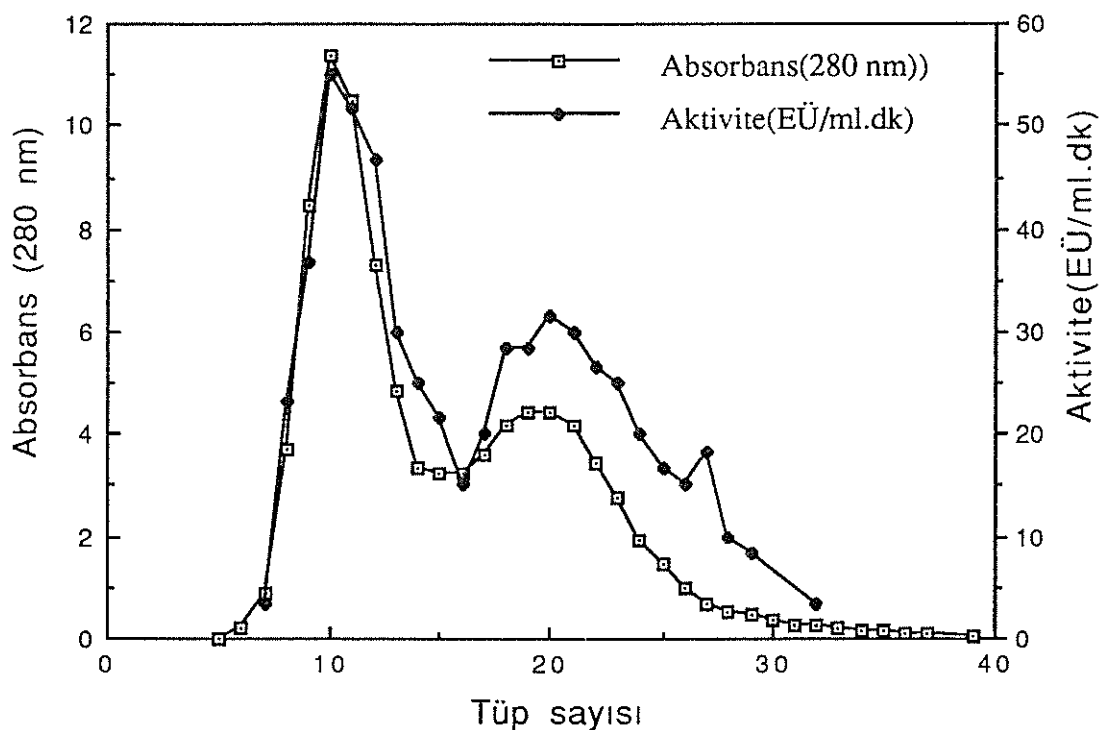
Tablo 3.1. Kuşburnu meyvası PPO enzimi için amonyum sülfatla çöktürmede doygunluk noktası tesbiti

% doygunluk	% 0-20	% 20-40	% 40-60	% 60-80	% 80-90
Aktivite (EÜ/ml) (çökelek)	21.2	25.1	34.2	40.1	40.0
Aktivite (EÜ/ml) (süpernatant)	15.3	11.7	4.1	0.01	0.01

3.3. Polifenol Oksidaz Enziminin Jel Filtrasyon Kromatografisiyle Saflaştırılması

Ekstraksiyon, amonyum sülfat çöktürmesi ve diyaliz işlemlerinden sonra elde edilen enzim çözeltisinin 9 ml sine 1 ml gliserin ilave edilerek %10 luk gliserinli enzim çözeltisi hazırlandı. Bu çözeltinin 8 ml (7,2 ml saf enzim) si dengelenmiş kolondaki jele tatbik edildi. Elüsyon işlemi %10 gliserinli 0,1 M fosfat tamponuyla (pH=6,3) yapıldı. Fraksiyon toplayıcısı yardımıyla 4 er ml'lik tüpler halinde toplanan elüatlarda 280 nm'de kalitatif protein analizleri yapıldı. Protein olan tüplerde enzim aktiviteleri 420 nm'de belirlendi. Sonuçlar Şekil 3.2'de grafik halinde verildi.

Jel filtrasyon kromatografisi sonucunda elde edilen elüatlardan enzim aktivitesi görülen 7-15 ($JF_1=35,3$ ml) ve 16-29 nolu ($JF_2= 61,3$ ml) fraksiyonlar bir araya getirildi. Bir araya getirilen fraksiyonlarda ve kolona tatbik edilen numunede protein ve aktivite tayinleri yapıldı. Enzim ünitesi ve spesifik aktiviteler hesaplandı. Ve saflaştırma oranları belirlendi. Hesaplanan değerler Tablo 3.2'de verildi.



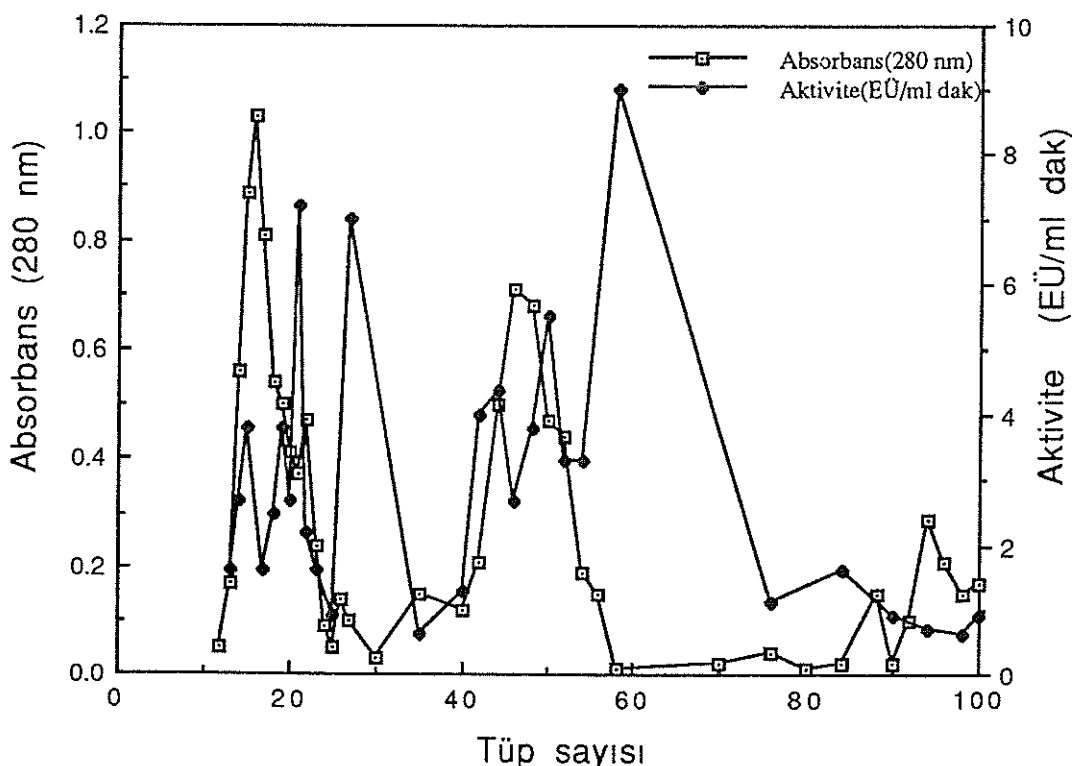
Şekil 3.2. Polifenol oksidaz enziminin jel filtrasyon kromatografisiyle saflaştırılması

Tablo 3.2. Kuşburnu meyvası polifenol oksidaz enziminin saflaştırılması

Saflaştırma basamağı	Hacim (ml)	Aktivi. (EÜ/ml)	Toplam aktivi.	Protein (mg/m)	Toplam protein (mg)	Spesi. aktivi. (EÜ/mg prote.)	Verim (%)	Saflaş. derecesi
Ham ekstrakt	460	-	-	0.59	271.4	-	-	-
Amonyum sülfat çöktürmesi ve diyaliz sonrası	130	755	98150	0.98	127.4	770.4	100	0
Jel filtrasyon kromatografisi sonu 1.fraksiyon	637	76.5	48730	0.07	44.6	1092.8	49.6	1.4
Jel filtrasyon kromatografisi sonu 2.fraksiyon	1106	42.5	47005	0.04	44.2	1062.5	48.6	1.3
İyon değişim kromatografisi sonu 1.fraksiyon	9424	5.0	47120	0.004	37.6	1250.0	48.0	1.6
İyon değişim kromatografisi sonu 2.fraksiyon	9730	4.4	42812	0.003	29.2	1466.6	43.6	1.9

3.4. PPO Enziminin DEAE-Selüloz İyon Değişim Kromatografisiyle Saflaştırma Sonuçları

Bölüm 2.4.3.d'de anlatıldığı şekilde hazırlanan kolona, jel filtrasyon kromatografisi sonucunda elde edilen iki fraksiyondan 5'er ml'den toplam 10 ml alınarak 1 ml gliserin ilave edildi. Bu % 9'luk gliserinli enzim çözeltisinden 10 ml kolona tatbik edildi. Gradient mixer cihazı yardımıyla önce pH'sı 10-7, daha sonra pH'sı 7-4 aralığında azalan pH gradienti oluşturan elüsyon tamponu kullanıldı. Böylece elüsyon işlemi boyunca pH'sı 10 dan 4 e kadar değişen 0,1 M elüsyon tamponu kolondan geçirilmiş oldu. Fraksiyon toplayıcı cihazıyla 4'er ml lik tüplerde toplanan elüatlarda, jel filtrasyon kromatografisinde olduğu gibi 280 nm'de köre (elüsyon tamponu) karşı kalitatif protein analizi ve protein olan tüplerde 420 nm'de aktivite tayinleri yapıldı. Protein tayini için ölçülen absorbans değerleri ve 420 nm'deki aktivite değerleri tüp sayısına karşı grafikleri Şekil 3.3.'de verildi.



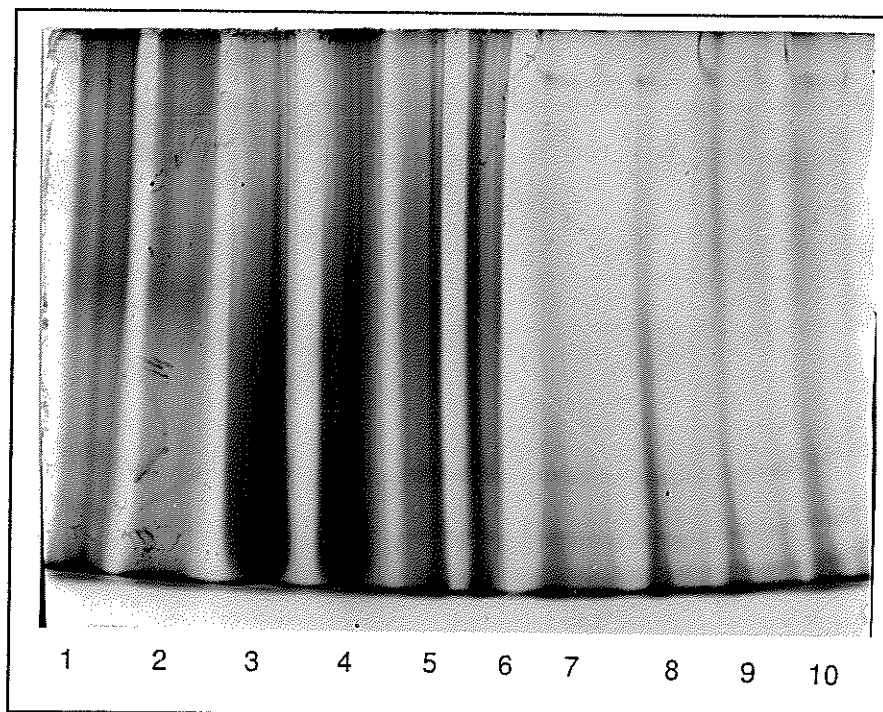
Şekil 3.3. Kuşburnu meyvası polifenol oksidaz enziminin DEAE-sephacel iyon değişim kromatografisi ile saflaştırılması

DEAE-selüloz iyon değişim kromatografisi sonucu elde edilen elüatlardan enzim aktivitelesi görülen 13-23 ($ID_1=49,2$ ml) ve 42-54 ($ID_2=50,8$ ml) fraksiyonlar bir araya getirildi.

Kolona tabbik edilen numune ve birleştirilen fraksiyonlarda coomassie-blue metoduyla kantitatif protein tayini ve aktivite tayinleri yapıldı. Enzim Üniteleri ve spesifik aktiviteler hesaplandı. Ve saflaştırma oranları belirlendi. Test edilen değerler Tablo 3.2'de gösterilmiştir. Ayrıca, bir kaç kez 0,005 M dan 0,5 M'a değişen konsantrasyon aralığında iyonik şiddet gradientli (pH=6.3) elüsyon işlemi yapıldı, net bir sonuç alınamadığından burada anlatılmadı.

3.5. Sodyum Dodesilsülfat Poliakrilamid Jel Elektroforez Sonucu

Kuşburnu meyvasının, ekstraksiyon ve saflaştırma kademelerinden (amonyum sülfat çöktürmesi ve jel filtrasyon kromatografisi) sonra elde edilen numuneler, bölüm 2.4.3.e'de anlatıldığı gibi hazırlanan kesikli SDS-poliakrilamid jel elektroforezine tabbik edildi. Belirlenen protein bantlarının fotoğrafı çekilerek şekil 3.4'de gösterildi.



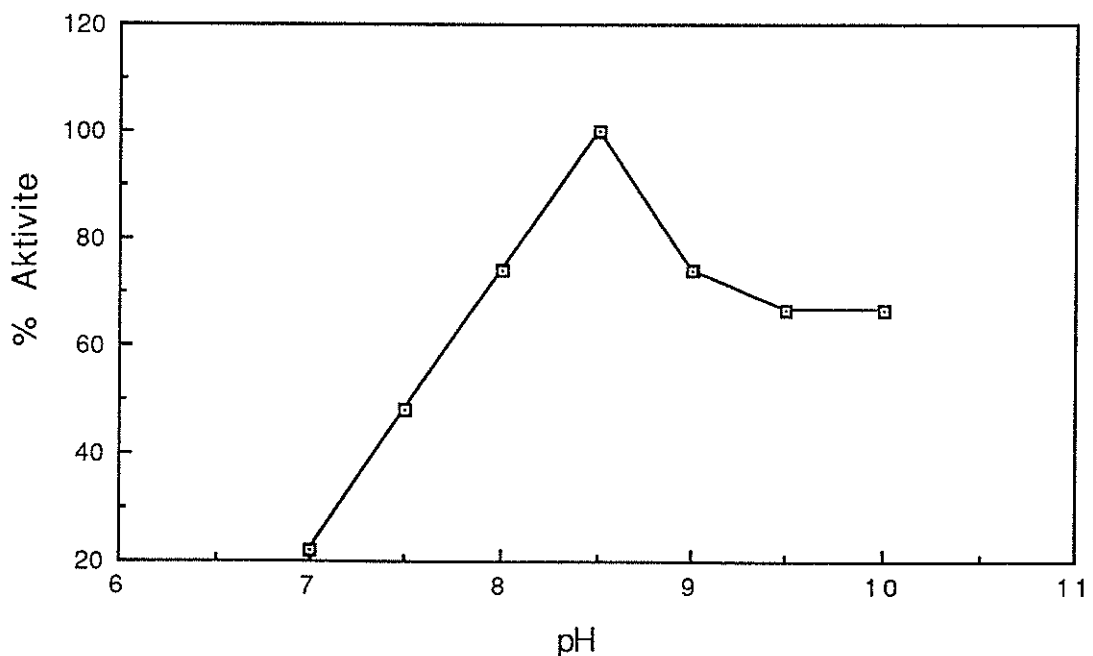
Şekil 3.4. Kuşburnu meyvasından saflaştırılan PPO in SDS-PAGE'i sonucu çekilen fotoğraf . 1. ve 2. kanal ham ekstrakt (H_1), 3. ve 4. kanal 2. defa %80 doygunluğa getirilmiş amonyum sülfat çöktürmesi sonucu (AS_2), 5. ve 6. kanal %80 amonyum sülfat çöktürmesi sonucu (AS_2), 7. ve 8. kanal jel filtrasyon kromatografi sonucu 1. fraksiyon (JF_1) ve 9. ve 10. kanal Jel filtrasyon kromatografi sonucu 2. fraksiyon (JF_2)

3.6. Farklı Substratlar İçin pH-Aktivite Grafikleri

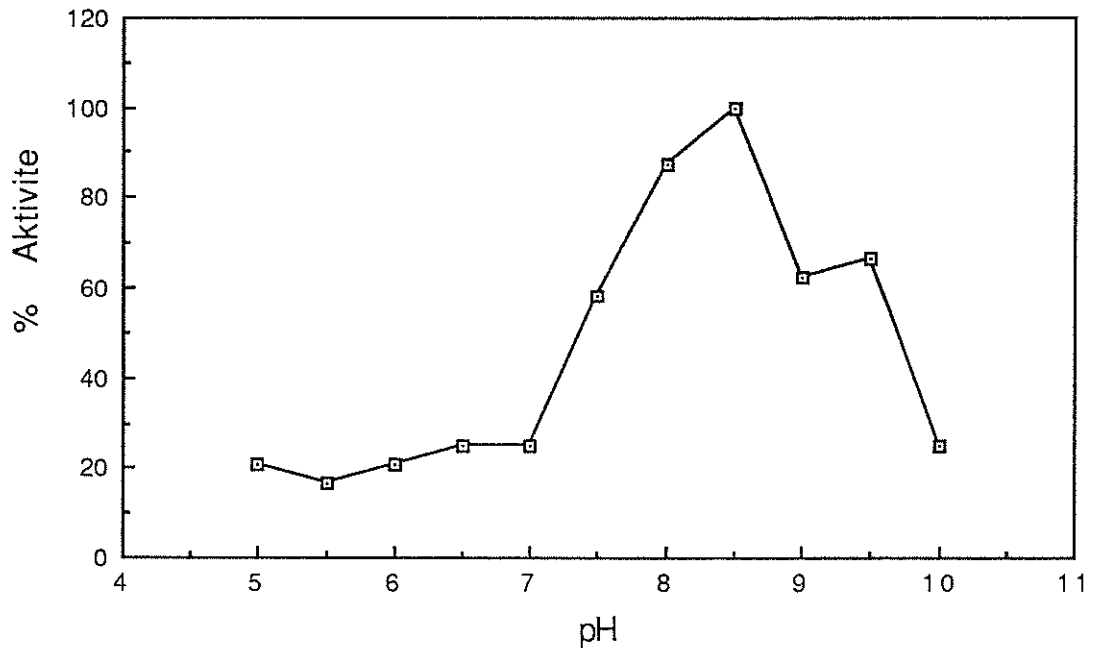
Optimum pH değerlerini belirlemek amacıyla, sekiz ayrı substratla uygun tampon kullanılarak 4'den 10'a kadar değişen pH aralığında aktivite ölçümleri yapıldı. Aktivite ölçümleri 10 mM substrat konsantrasyonlarında (L-tirozin için 5 mM) gerçekleştirildi. Elde edilen aktivite değerleri ile pH grafikleri şekil 3.5-3.12 de verildi. Grafiklerin çiziminde % aktivitelere karşılık pH değerleri kullanılmıştır. Her bir substrat için elde edilen optimum pH değerleri Tablo 3.3 de verildi.

3.7. Farklı Substratlar İçin Sıcaklık-Aktivite Grafikleri

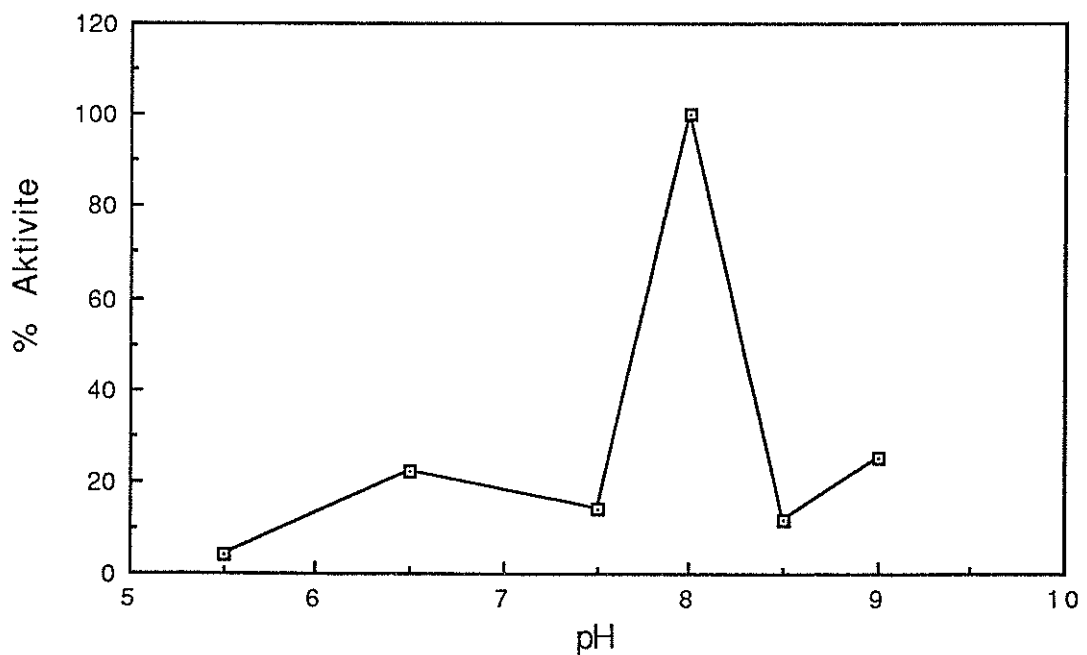
Optimum sıcaklık belirlenmesi amacıyla, sekiz ayrı substratin optimum pH larında 5°C-85°C sıcaklık aralığında aktiviteler bölüm 2.4.4.b'de açıklanlığı şekilde tesbit edildi, elde edilen aktivite değerleri, % aktivite-sıcaklık olarak grafikleri şekil 3.13-3.20 de verildi. Bulunan optimum sıcaklıklar Tablo 3.3'de gösterildi.



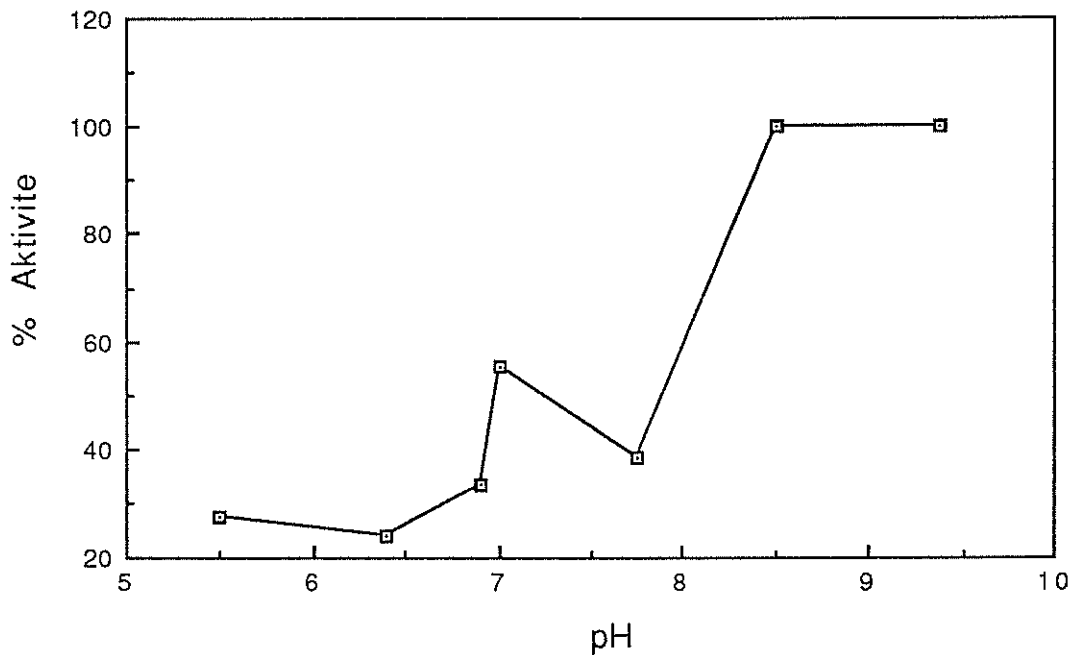
Şekil 3.5. Kuşburnu meyvası PPO enzimi için, 10 mM katekol substratıyla elde edilen pH-% aktivite grafiği



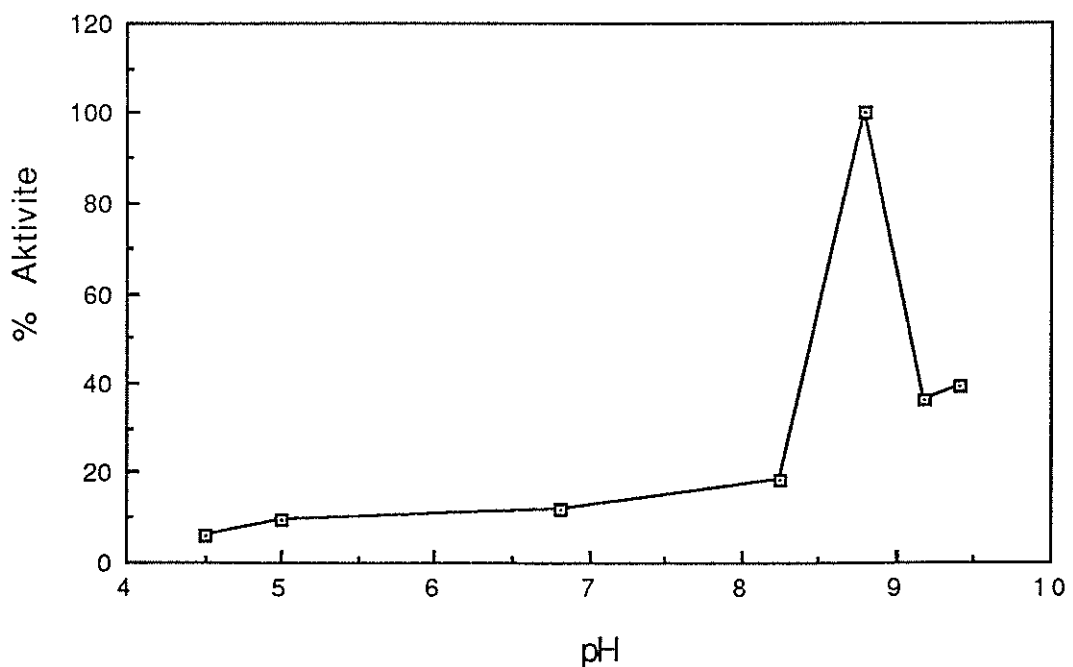
Şekil 3.6. Kuşburnu meyvası PPO enzimi için, 10 mM 4-metil katekol substratıyla elde edilen pH-% aktivite grafiği



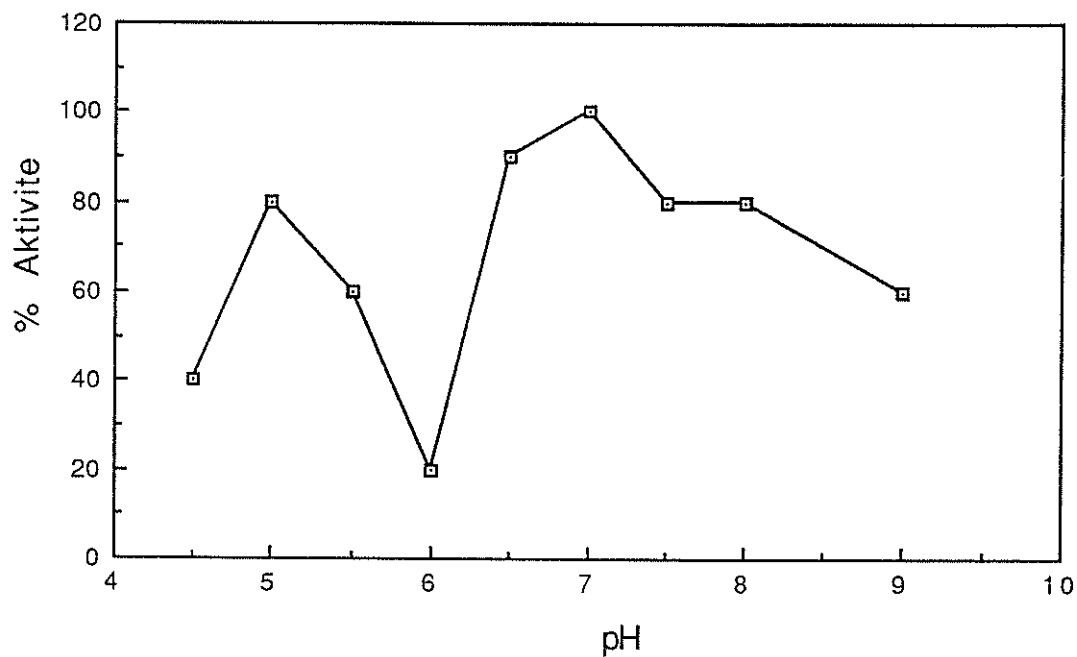
Şekil 3.7. Kuşburnu meyvası PPO enzimi için, 10 mM L-dopa substratıyla elde edilen pH-% aktivite grafiği



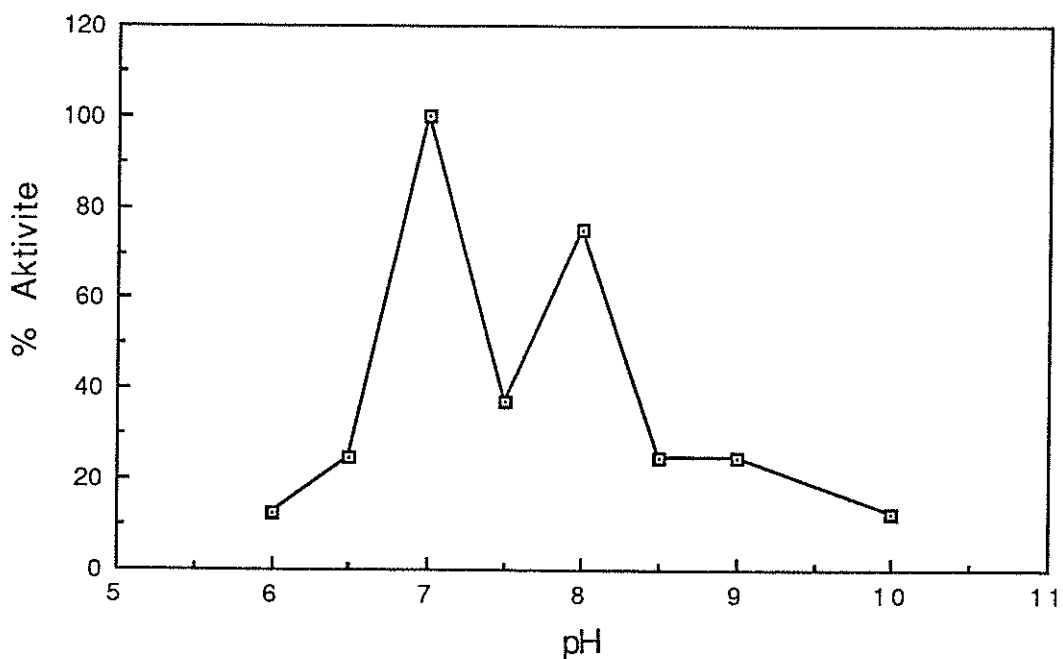
Şekil 3.8. Kuşburnu meyvası PPO enzimi için, 10 mM dopamin substratıyla elde edilen pH-% aktivite grafiği



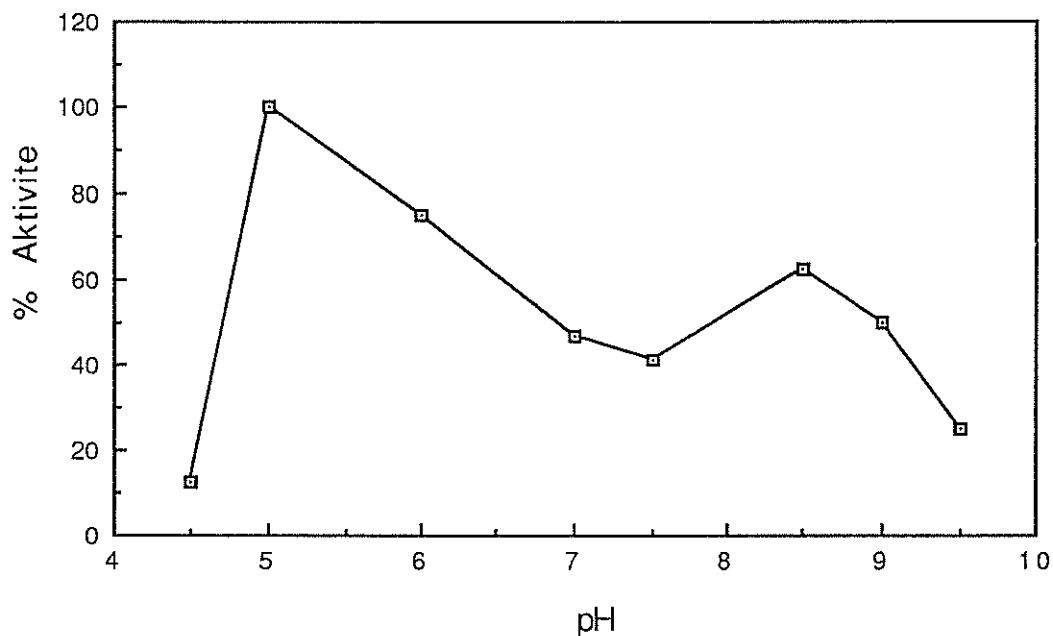
Şekil 3.9. Kuşburnu meyvası PPO enzimi için, 10 mM gallik asit substratıyla elde edilen pH-% aktivite grafiği



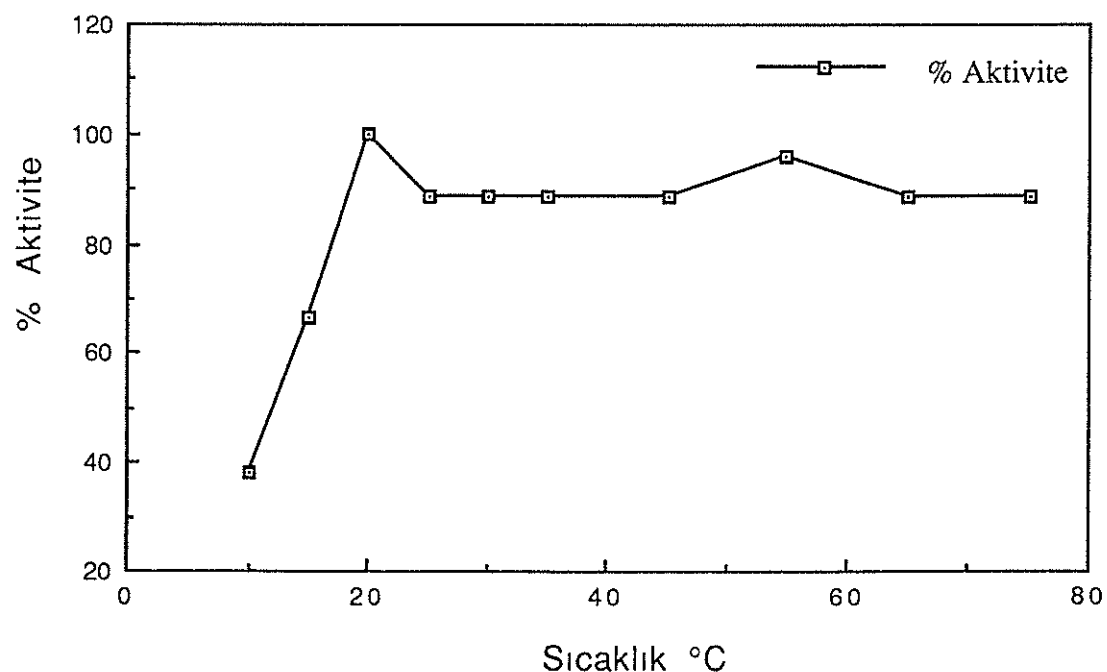
Şekil 3.10. Kuşburnu meyvası PPO enzimi için, 10 mM pirogallol substratıyla elde edilen pH-% aktivite grafiği



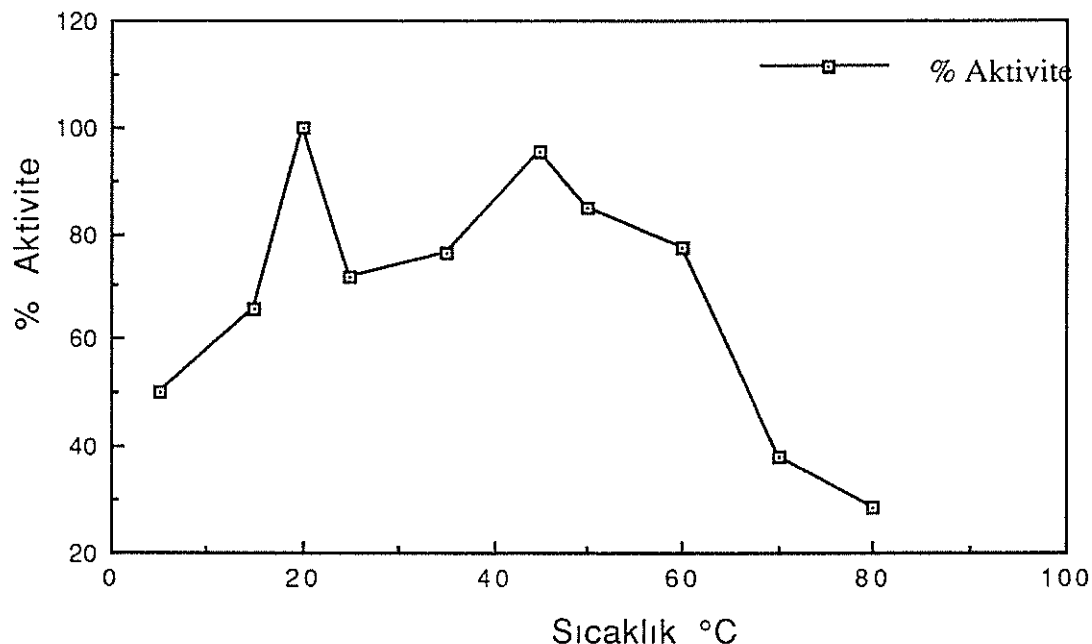
Şekil 3.11. Kuşburnu meyvası PPO enzimi için, 5 mM L-tirozin substratıyla elde edilen pH-% aktivite grafiği



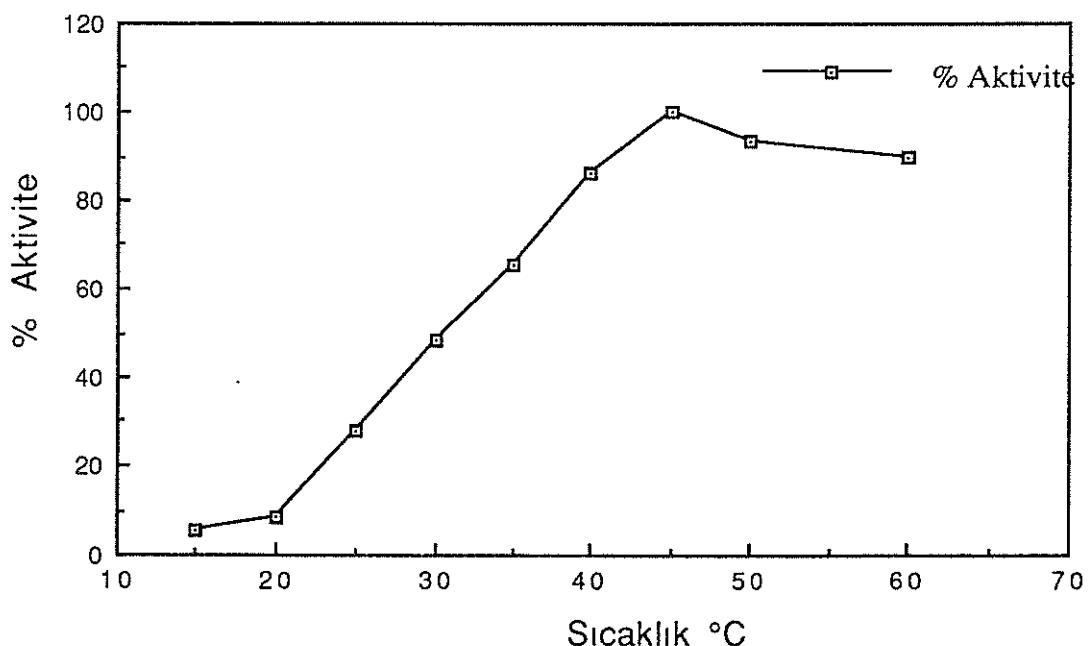
Şekil 3.12. Kuşburnu meyvası PPO enzimi için, 10 mM p-kresol substratıyla elde edilen pH-% aktivite grafiği



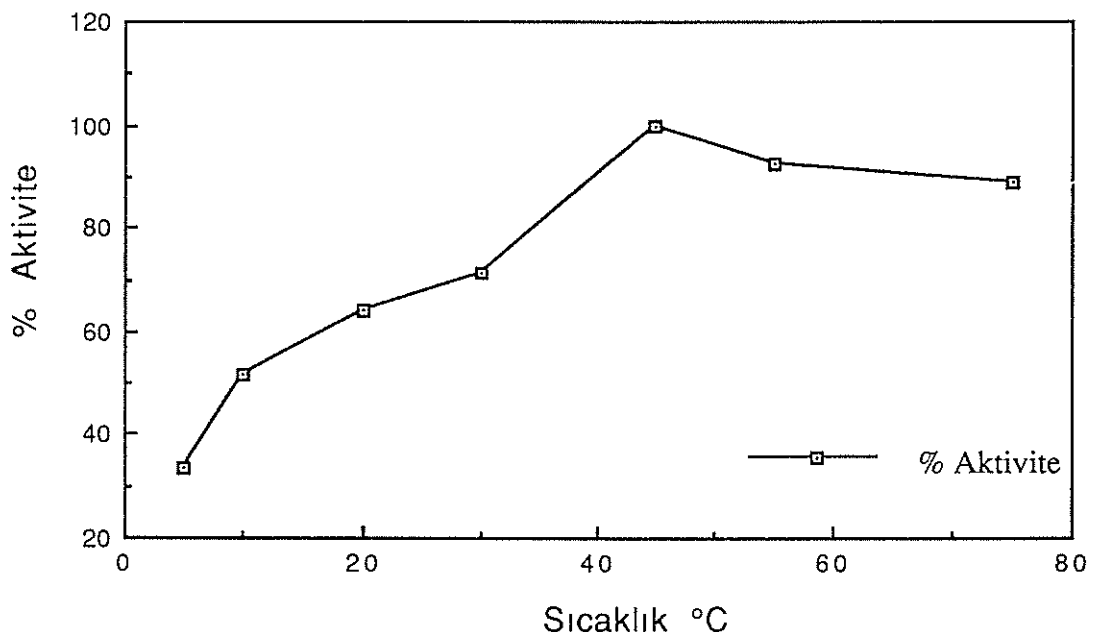
Şekil 3.13. Kuşburnu meyvası PPO enzimi için, 10 mM katekol substratıyla elde edilen sıcaklık - % aktivite grafiği



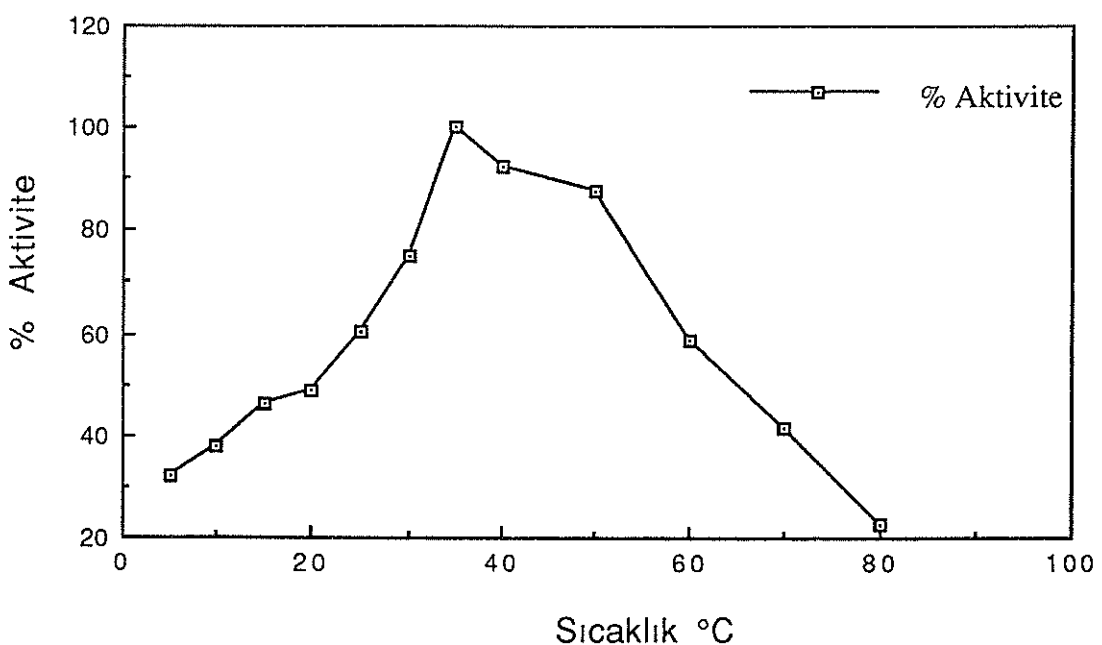
Şekil 3.14. Kuşburnu meyvası PPO enzimi için, 10 mM 4-metil katekol substratıyla elde edilen sıcaklık - % aktivite grafiği



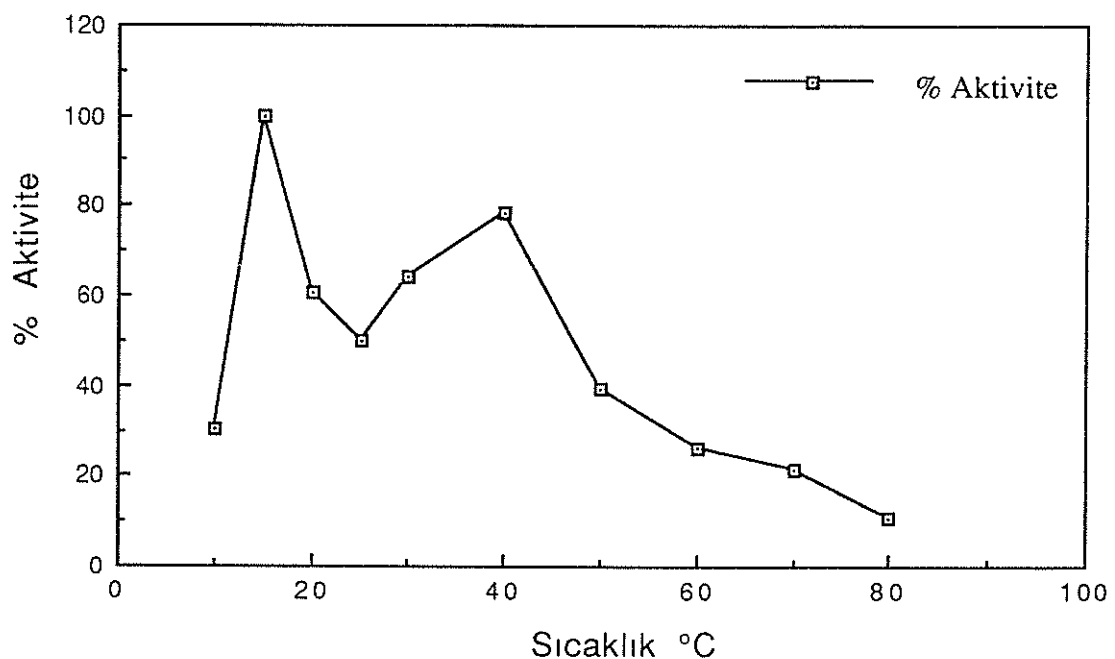
Şekil 3.15. Kuşburnu meyvası PPO enzimi için, 10 mM L-dopa substratıyla elde edilen sıcaklık - % aktivite grafiği



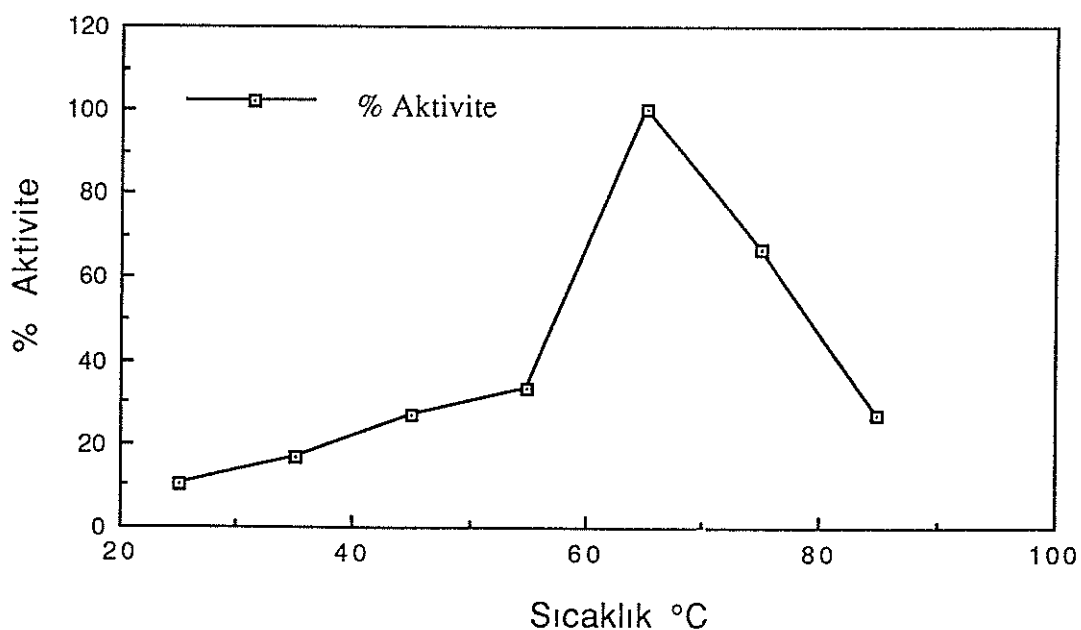
Şekil 3.16. Kuşburnu meyvası PPO enzimi için, 10 mM dopamin substratıyla elde edilen sıcaklık - % aktivite grafiği



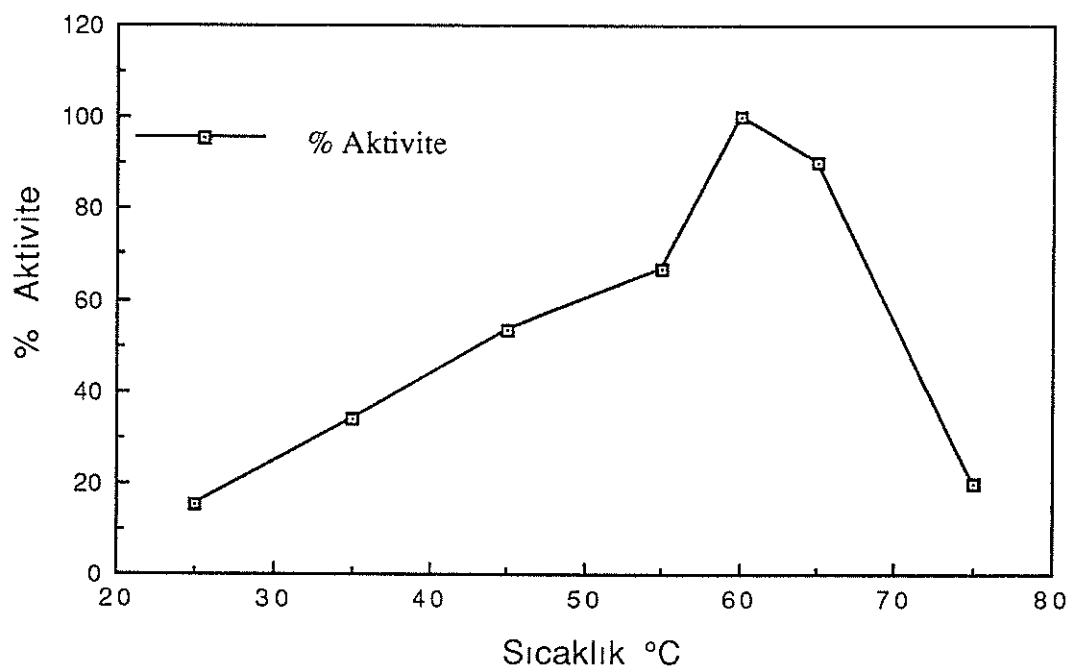
Şekil 3.17. Kuşburnu meyvası PPO enzimi için, 10 mM gallik asit substratıyla elde edilen sıcaklık - % aktivite grafiği



Şekil 3.18. Kuşburnu meyvası PPO enzimi için, 10 mM pirogallol substratıyla elde edilen sıcaklık - % aktivite grafiği



Şekil 3.19. Kuşburnu meyvası PPO enzimi için, 5 mM L-tirozin substratıyla elde edilen sıcaklık - % aktivite grafiği



Şekil 3.20. Kuşburnu meyvası PPO enzimi için, 10 mM p-kresol substratıyla elde edilen sıcaklık - % aktivite grafiği

Tablo 3.3. Kuşburnu polifenol oksidaz enziminin substrat spesifitesi ile ilgili bulunan sonuçlar

Substrat	Optimum pH	Optimum sıcaklık (°C)	K _M (M)	V _{max} (EÜ/ ml xdak)
Katekol	8.5	25	7.41x10 ⁻³	41.66
4-metil katekol	8.5	20	8.64x10 ⁻³	431.96
L-Dopa	8.0	45	6.06x10 ⁻⁴	45.45
Dopamin	8.5	45	2.82x10 ⁻³	42.48
Gallik asit	8.8	35	2.64x10 ⁻³	111.11
Pirogallol	7.0	15	2.79x10 ⁻³	111.73
L-Tirozin	7.0	65	8.27x10 ⁻⁴	142.85
p-Kresol	5.0	60	8.63x10 ⁻⁵	40.00

3.8. İyonik Şiddet Etkisi Çalışmasının Sonuçları

İyonik şiddet etkisi çalışması; 0.01 M, 0.05 M, 0.1 M, 0.2 M, 0.3 M ve 0.5 M Tris tamponu (pH=8.5) çözeltileri ile katekol, 4-metil katekol ve dopamin substratları (10 mM) kullanılarak aktiviteler EÜ/ml dakika olarak tesbit edildi. Sonuçlar Tablo 3.4'de verildi her üç substrat için de aktivitenin 0.2 M tris tamponunda en yüksek olduğu görüldü.

Tablo : 3.4 . Kuşburnu meyvası PPO enzim aktivitesi üzerine iyonik şiddet etkisi

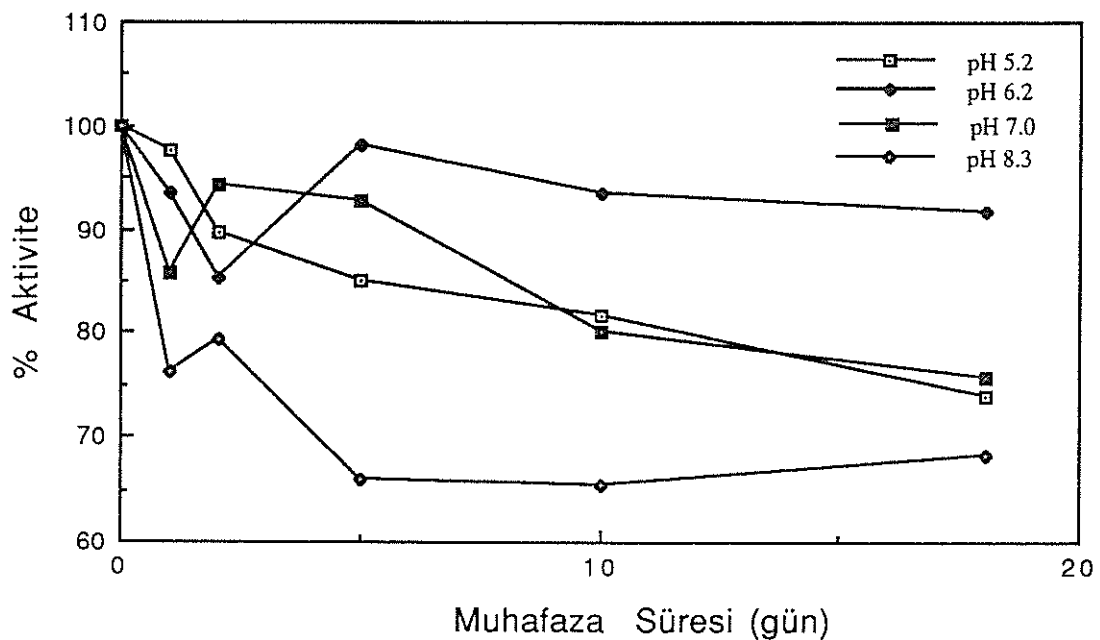
Tris Tamponu (pH=8.5) Konsantrasyon	0.01 (M)	0.05 (M)	0.1 (M)	0.2 (M)	0.3 (M)	0.5 (M)
Katekol	20	17	24	36	31.4	30
4-Metil katekol	60	90	110	140	90	110
Dopamin	26	20.6	46.6	63	35	36

3.9. Enzimin Stabil Olduğu pH Çalışması Sonuçları

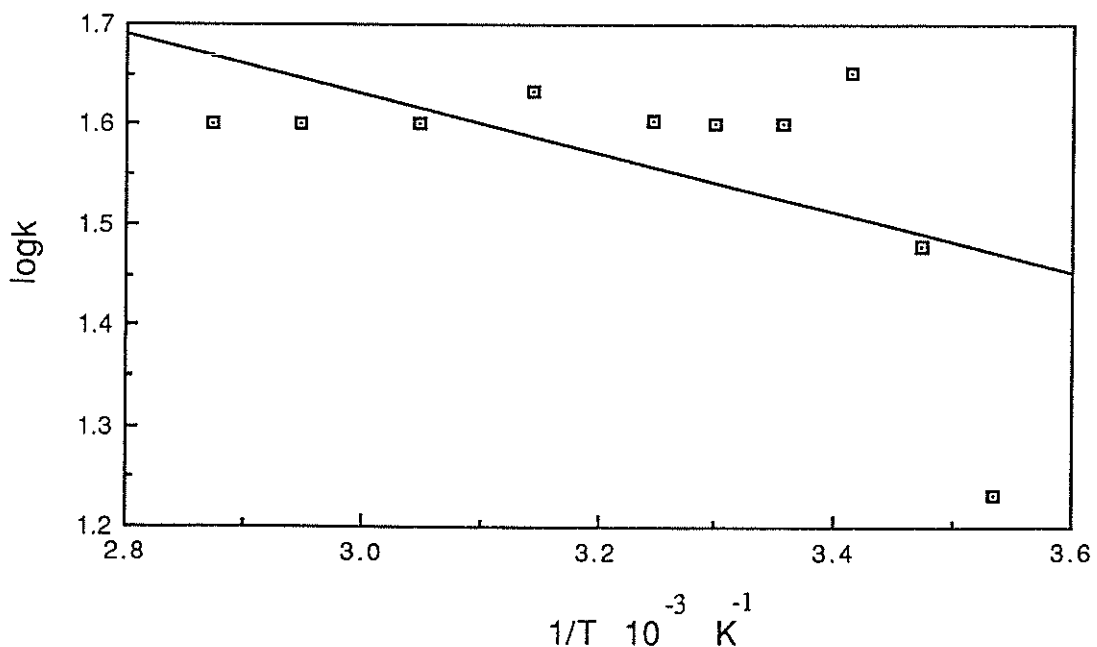
Bölüm 2.4.4'de anlatıldığı gibi, 0.1 M sitrat/0.2 M fosfat (pH=5), 0.1 M fosfat (pH=6.2-7.0) ve 0.2 M Tris (pH=8.2) tamponları ile enzim 5 kat seyreltilerek, 4°C de muhafaza edildi. Başlangıçta, 1., 2., 5., 10. ve 18. günlerde aktiviteleri 10 mM 4-metilkatekol substratı ile optimum şartlarda (0.2 M Tris tamponu pH=8.5 ve 20°C de) belirlendi. Sonuçlar zamana karşı aktivite değerleri grafik edilerek şekil 3.21 de gösterildi. Buna göre kuşburnu meyvası PPO enziminin stabil olduğu pH'nın 6.2 olduğu görülmüştür.

3.10. Aktivasyon Enerjileri

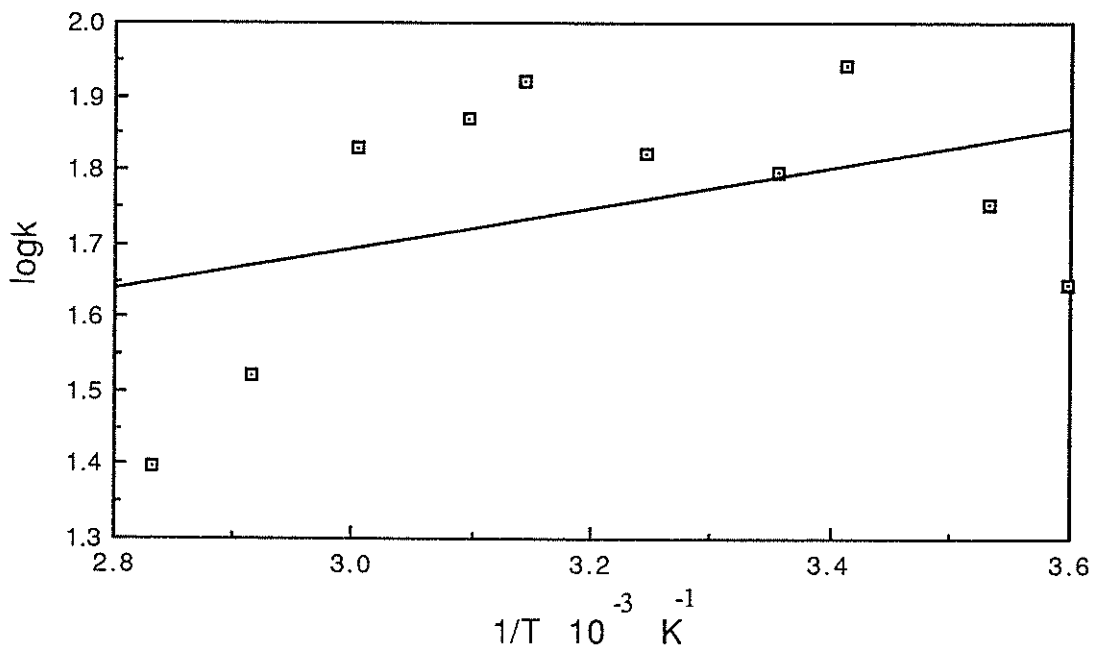
Optimum sıcaklık belirlenmesi çalışmalarından yararlanılarak her bir substratın enzimle olan reaksiyonu için aktivasyon enerjileri hesaplandı. Aktivasyon enerjisi, logK değerlerinin 1/T değerlerine karşı grafik edilmesiyle elde edilen doğrunun eğiminden bulundu. Çizilen grafikler Şekil 3.22-3.29'da; elde edilen aktivasyon enerjileri de Tablo 3.5'de verildi.



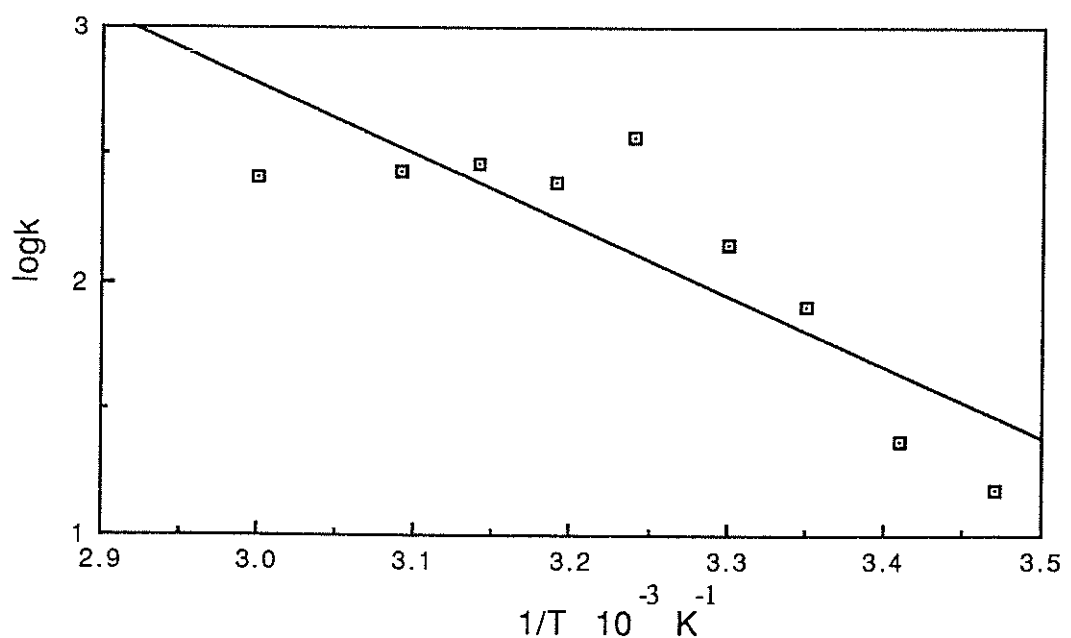
Şekil 3.21 Kuşburnu meyvası PPO enziminin stabil olduğu pH'ı gösterir grafik



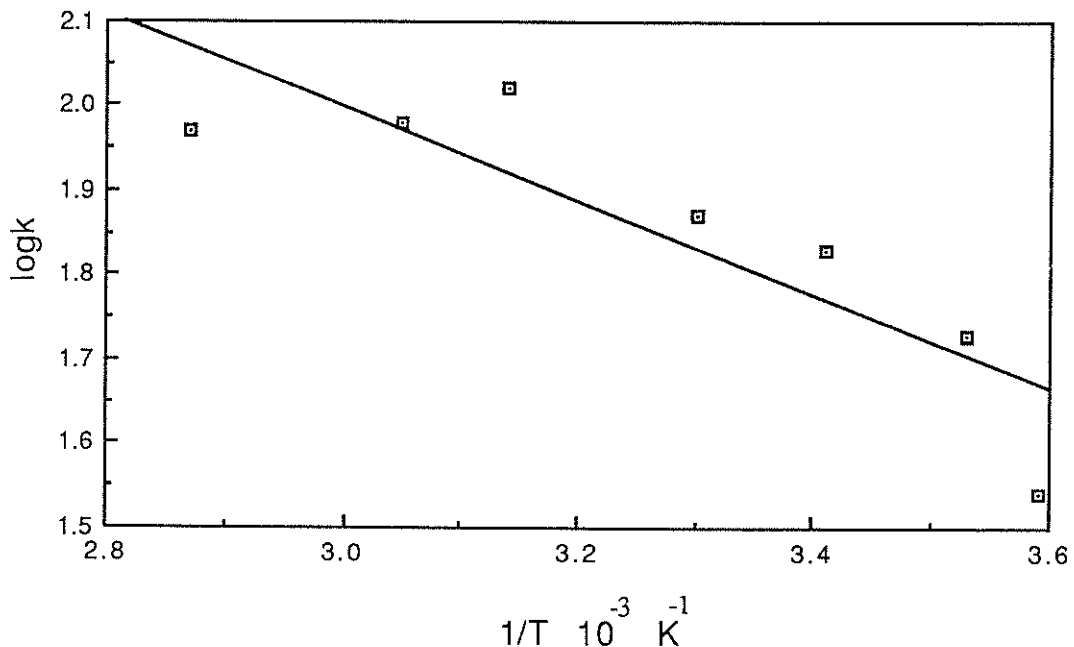
Şekil 3.22. Kuşburnu meyvası PPO enzimi için katekol substratı ile elde edilen $\log k$ ($1/T$) grafiği



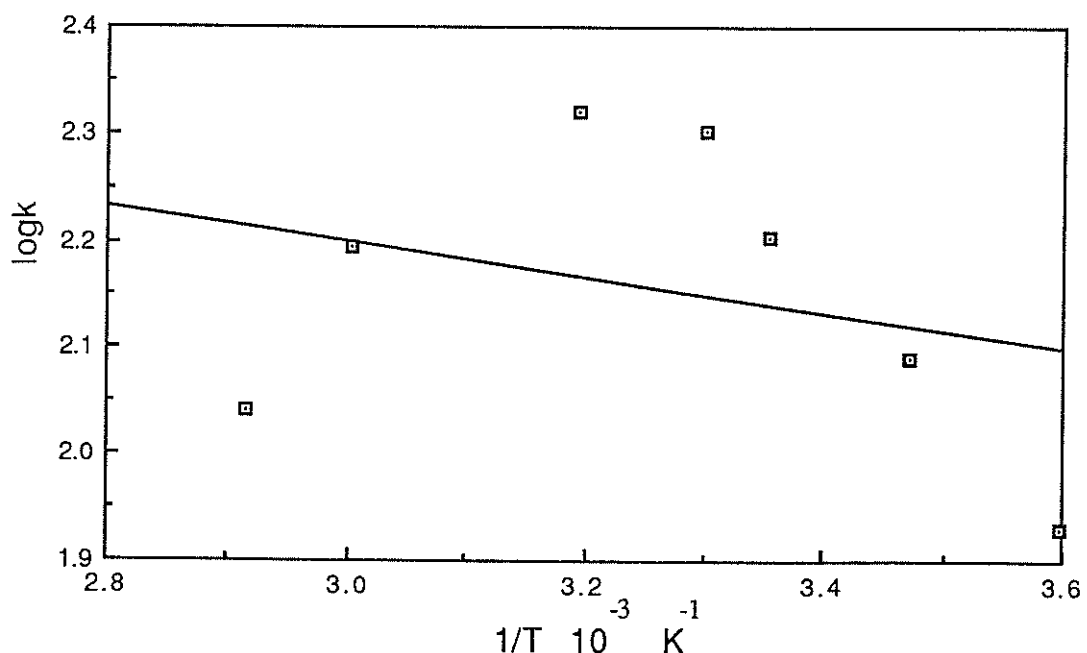
Şekil 3.23. Kuşburnu meyvası PPO enzimi için 4-metil katekol substratı ile elde edilen $\log k - (1/T)$ grafiği



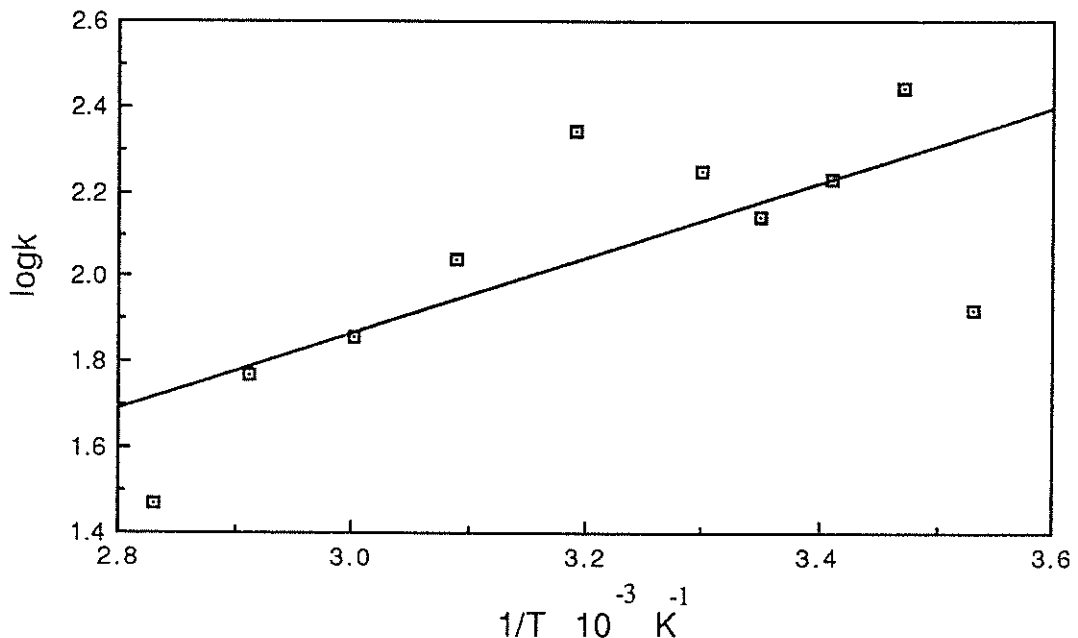
Şekil 3.24. Kuşburnu meyvası PPO enzimi için L-Dopa substratı ile elde edilen $\log k - (1/T)$ grafiği



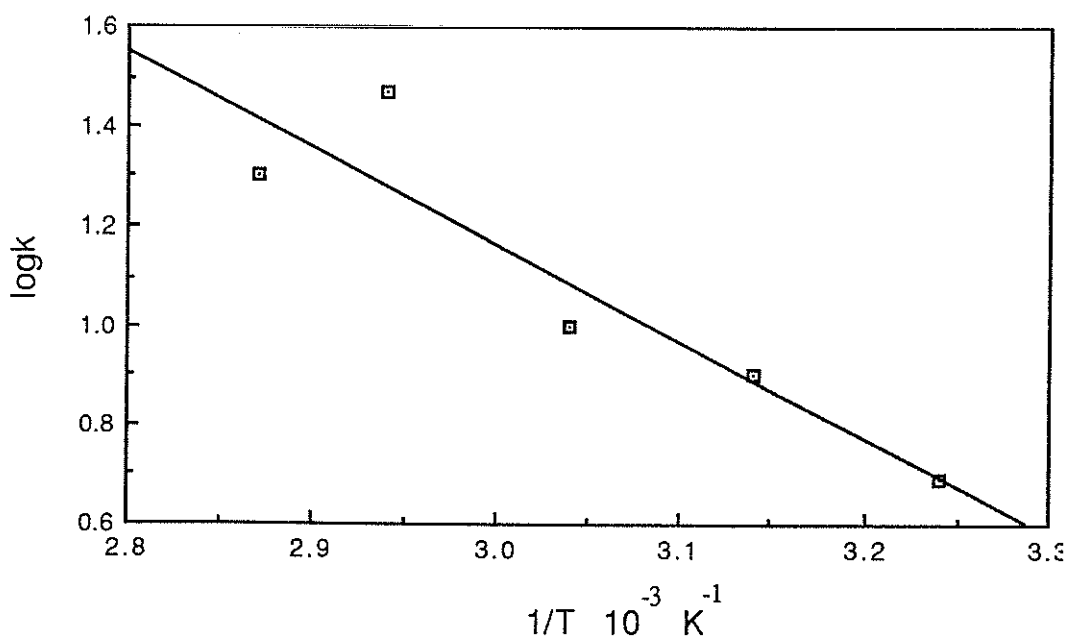
Şekil 3.25. Kuşburnu meyvası PPO enzimi için dopamin substratı ile elde edilen $\log k$ - $(1/T)$ grafiği



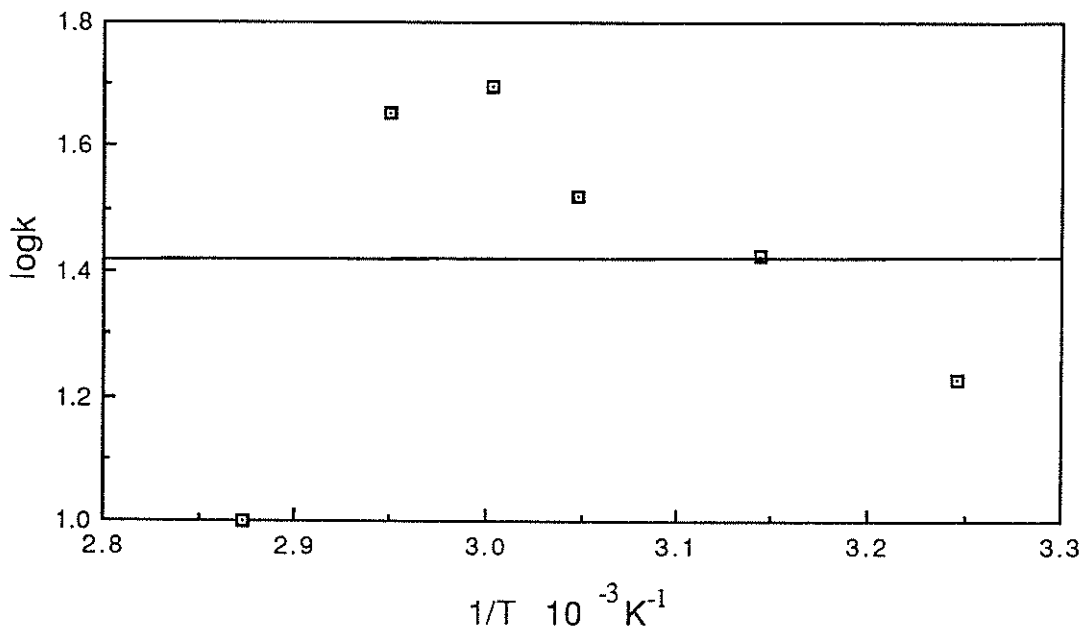
Şekil 3.26. Kuşburnu meyvası PPO enzimi için gallik asit substratı ile elde edilen $\log k$ - $(1/T)$ grafiği



Şekil 3.27. Kuşburnu meyvası PPO enzimi için pirogallol substratı ile elde edilen $\log k - (1/T)$ grafiği



Şekil 3.28. Kuşburnu meyvası PPO enzimi için L-tirozin substratı ile elde edilen $\log k - (1/T)$ grafiği



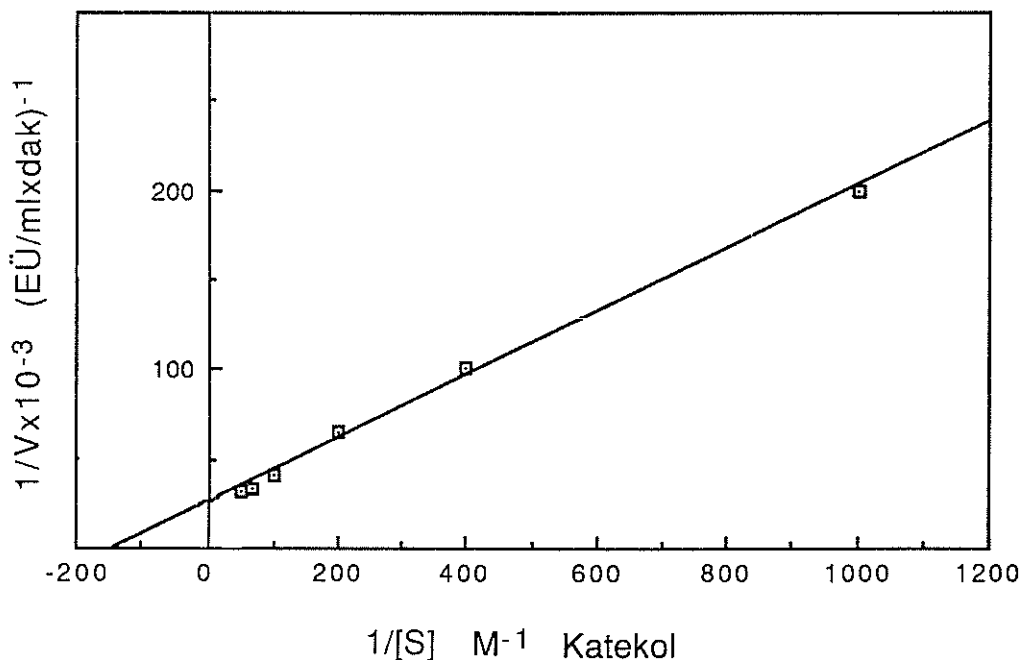
Şekil 3.29. Kuşburnu meyvası PPO enzimi için p-kresol substratı ile elde edilen $\log k - (1/T)$ grafiği

Tablo 3.5 Kuşburnu meyvası PPO enziminin değişik substratlar için elde edilen aktivasyon enerjileri

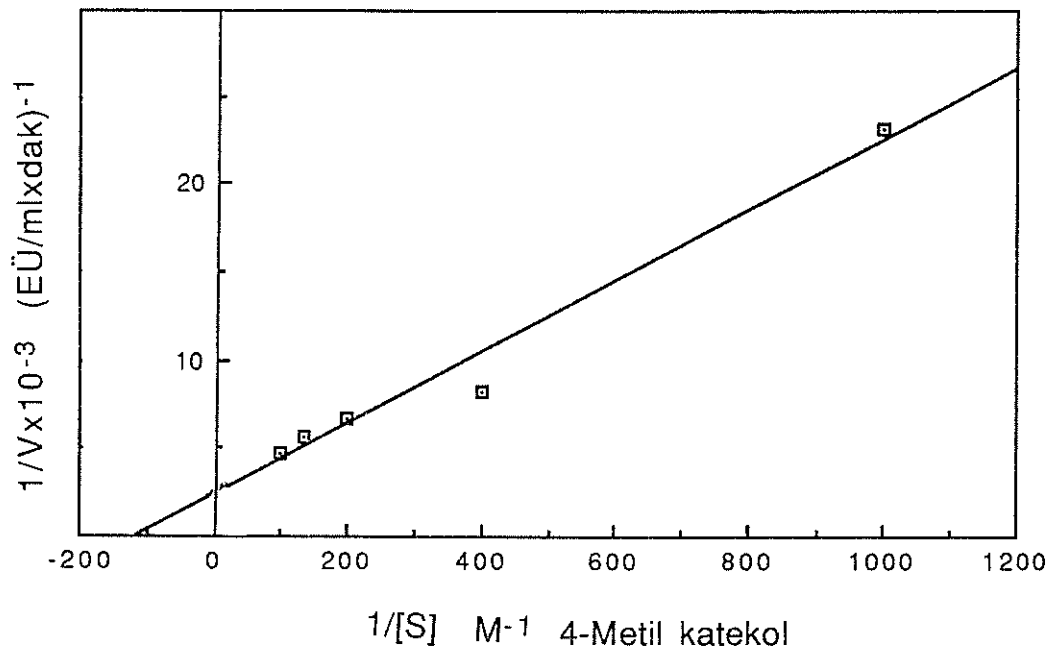
Substrat	Eğim (-E _A /2.303 R)	Aktivasyon enerjisi (kal.mol ⁻¹)
Katekol	-0.2984	1.3654
4-Metil katekol	0.2785	-1.2744
L-Dopa	-2.7807	12.7246
Dopamin	-0.5540	2.5351
Gallik asit	-0.1705	0.7802
Pirogalol	0.8798	-4.02260
L-Tirozin	-1.9210	8.7906
p-Kresol	0.0079	-0.0361

3.11. Farklı Substratlar için K_M ve V_{max} Değerlerinin Bulunmasına Yönelik Çalışmaların Sonuçları

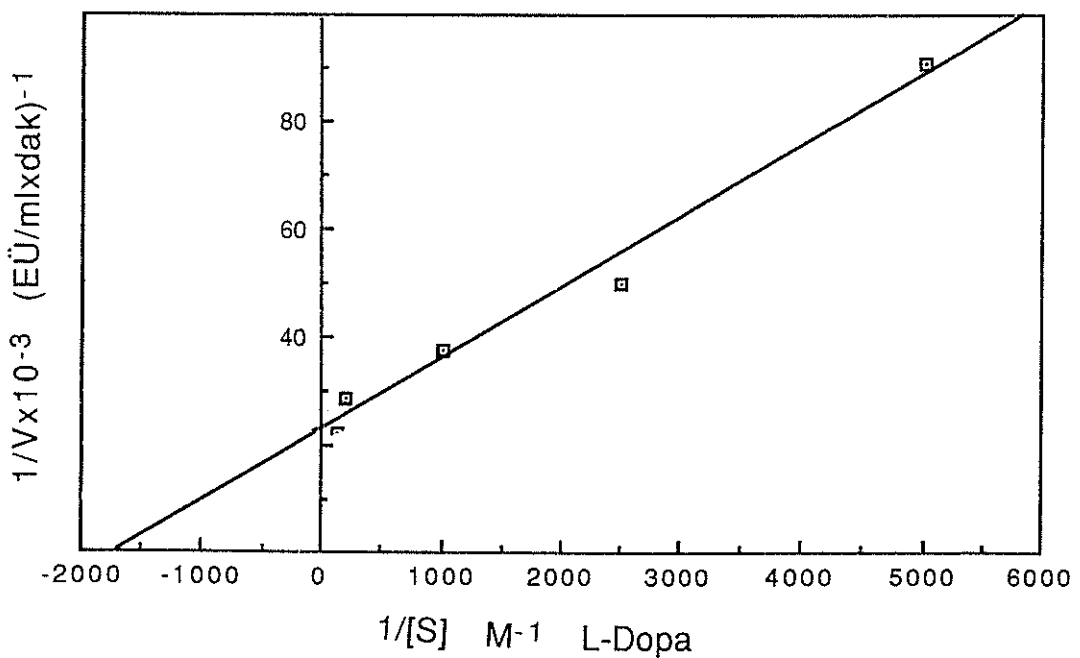
Optimum pH ve sıcaklıklarını belirlenen substratlar için optimum şartlarda en az 5 ayrı substrat konsantrasyonunda enzim aktivite değerleri belirlendi. Elde edilen $1/V - 1/[S]$ değerleri yardımıyla Lineweaver-Burk grafikleri çizildi. Bu grafiklerden K_M ve V_{max} değerleri belirlendi. Çizilen grafikler şekil 3.30-3.37'de, grafiklerden yararlanılarak hesaplanan K_M ve V_{max} değerleri Tablo 3.3'de verildi.



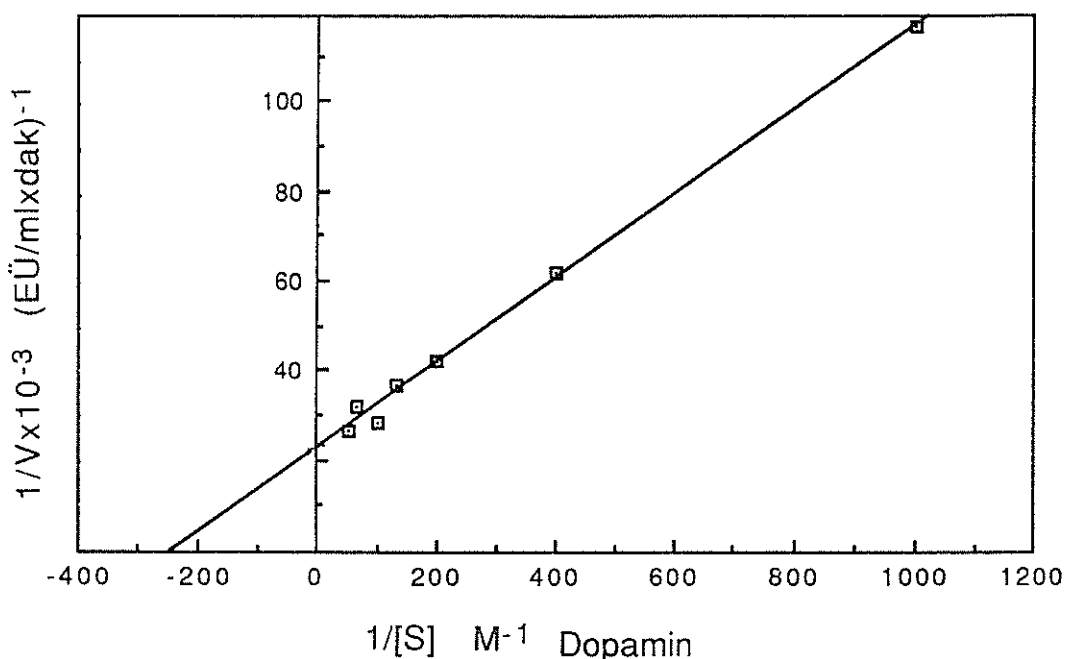
Şekil 3.30. Kuşburnu meyvası PPO enzimi için katekol substrati ile elde edilen $1/V - 1/[S]$ grafiği



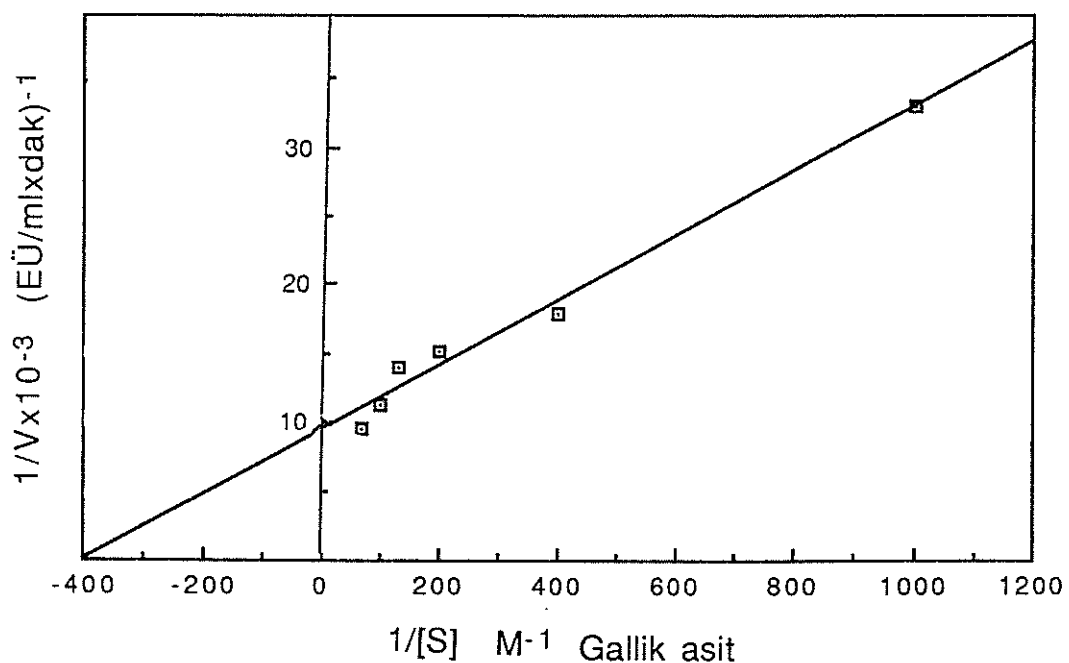
Şekil 3.31. Kuşburnu meyvası PPO enzimi için 4-metil katekol substratı ile elde edilen $1/V-1/[S]$ grafiği



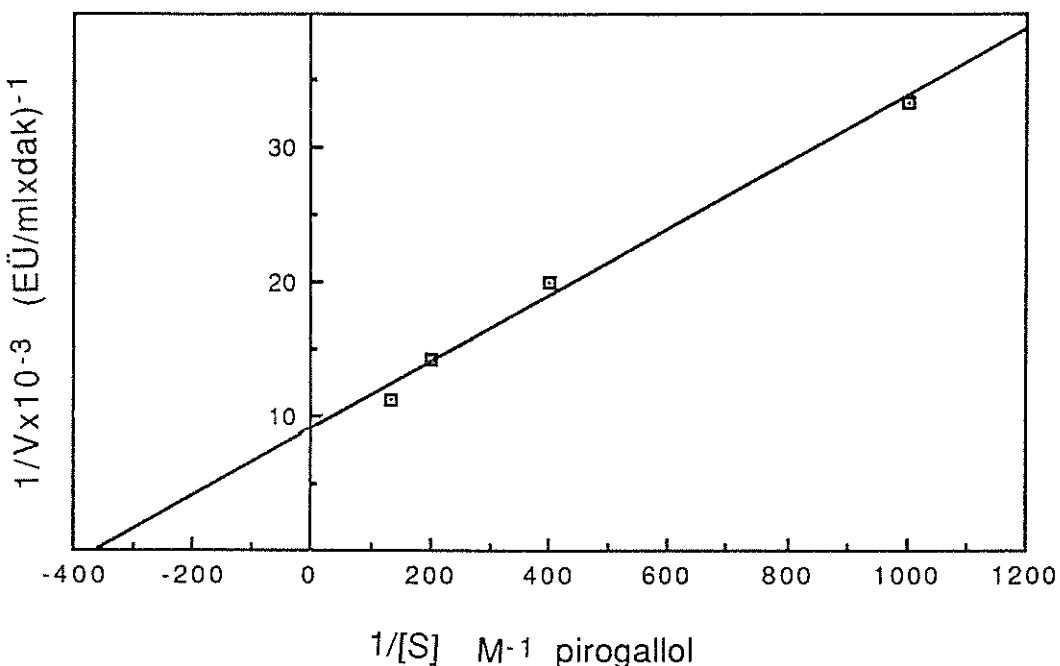
Şekil 3.32. Kuşburnu meyvası PPO enzimi için L-dopa substratı ile elde edilen $1/V-1/[S]$ grafiği



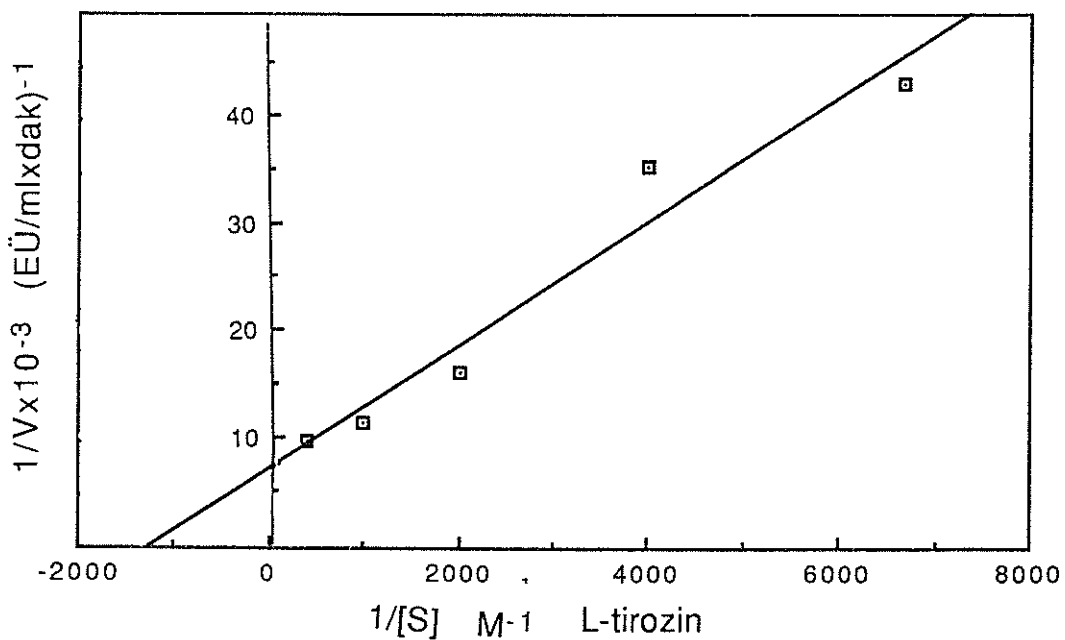
Şekil 3.33. Kuşburnu meyvası PPO enzimi için dopamin substrati ile elde edilen $1/V-1/[S]$ grafiği



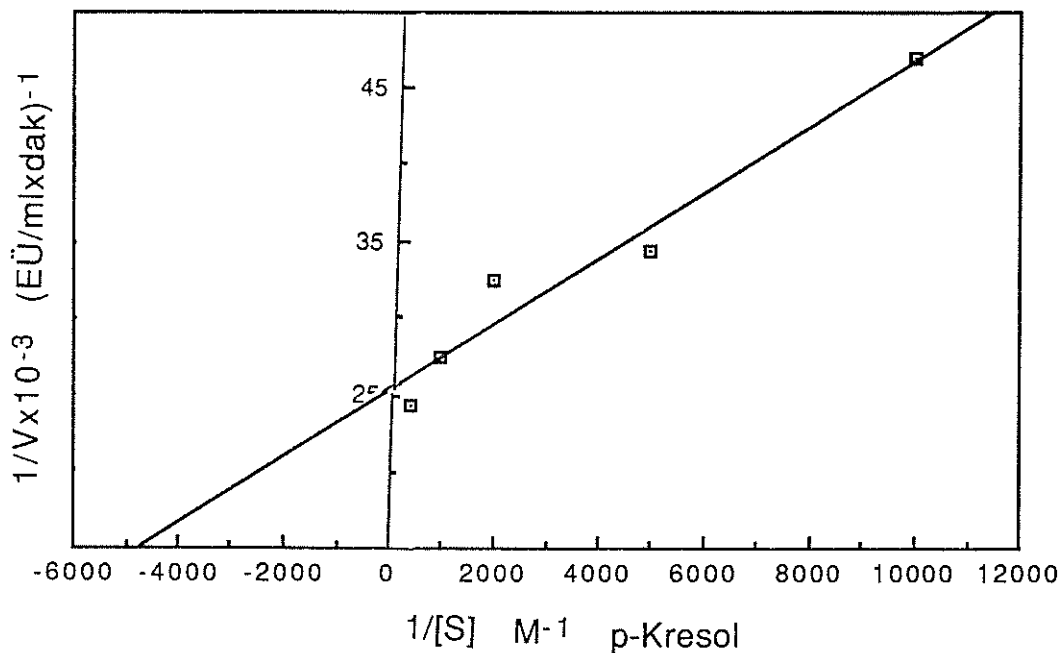
Şekil 3.34. Kuşburnu meyvası PPO enzimi için gallik asit substrati ile elde edilen $1/V-1/[S]$ grafiği



Şekil 3.35. Kuşburnu meyvası PPO enzimi için pirogallol substratı ile elde edilen $1/V-1/[S]$ grafiği



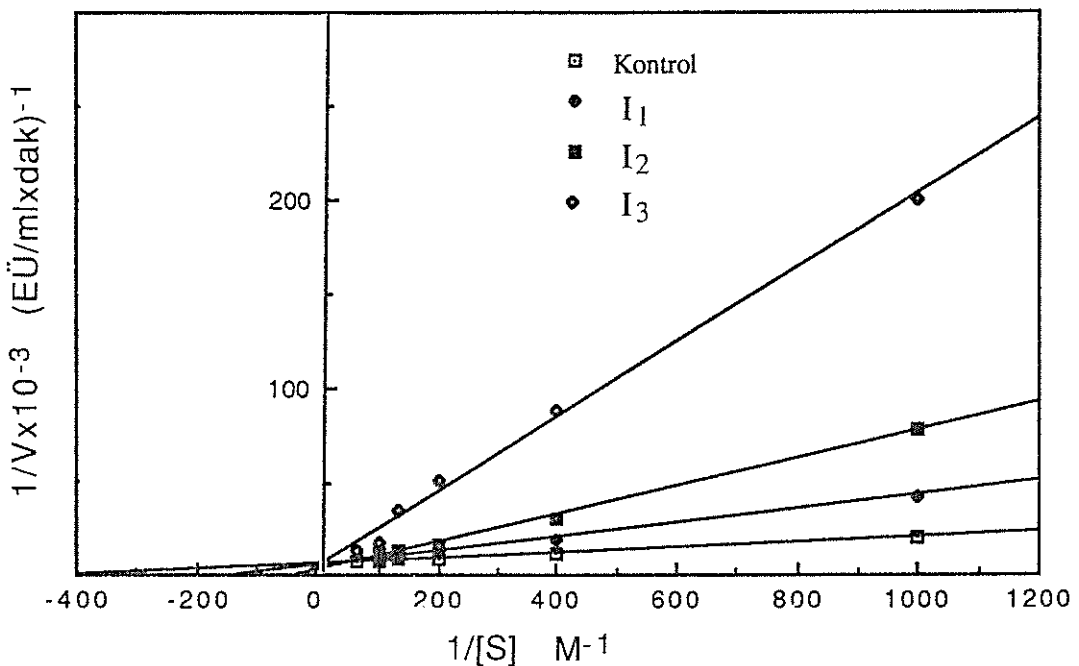
Şekil 3.36. Kuşburnu meyvası PPO enzimi için L-tirozin substratı ile elde edilen $1/V-1/[S]$ grafiği



Şekil 3.37. Kuşburnu meyvası PPO enzimi için p-kresol substratı ile elde edilen $1/V-1/[S]$ grafiği

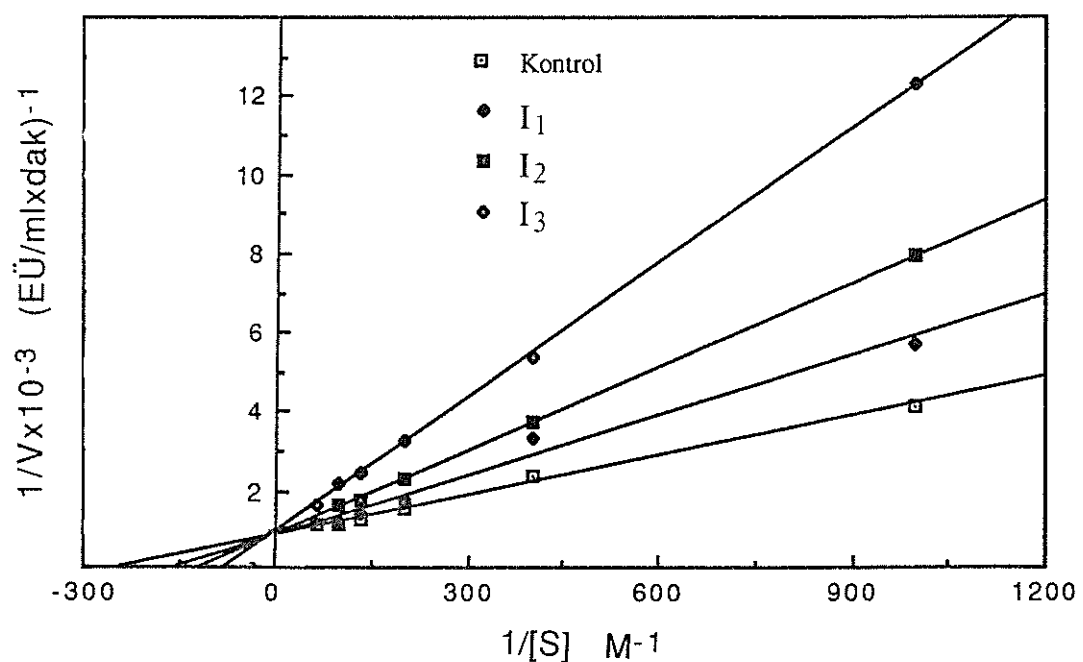
3.12. Farklı İnhibitörler İçin K_i Sabitlerinin ve I_{50} Değerlerinin Bulunmasına Yönelik Çalışmaların Sonuçları

Farklı inhibitörlerin K_i sabitlerinin bulunması amacıyla, önce inhibitörsüz ortamda bölüm 2.4.4.'e de açıklandığı gibi beş farklı substrat konsantrasyonuna bağlı olarak aktiviteler belirlendi. Daha sonra 11 farklı inhibitör için 3 değişik sabit inhibitör konsantrasyonunda optimal şartlarda aktiviteler 4-metil katekol substratı beraberliğinde belirlendi. $1/V-1/[S]$ değerleri hesaplanarak Lineweaver-Burk grafikleri çizildi (Şekil 3.38-3.48). Bu grafiklerden yararlanarak K_i değerleri ve inhibisyon türleri tespit edildi ve Tablo 3.6'da gösterildi. K_i değerleri yarışmalı (kompetetif) inhibisyon için Lineweaver-Burk eğrisinde eğime eşit olan $K_M/V_{max} (1+[I]/K_i)$ ifadesinden, yarı yarışmalı (unkompetetif) inhibisyon için aynı eğrinin $1/V$ eksenini kestiği noktayı veren $1/V_{max} (1+[I]/K_i)$ ifadesinden, yarışmasız (nonkompetetif) inhibisyon için $V_{max} = V'_{max} (1+[I]/K_i)$ formülünden yararlanarak hesaplandı. Denklemlerde kullanılan K_M ve V_{max} değerleri, inhibitörsüz ortamda belirlenen değerlerdir.



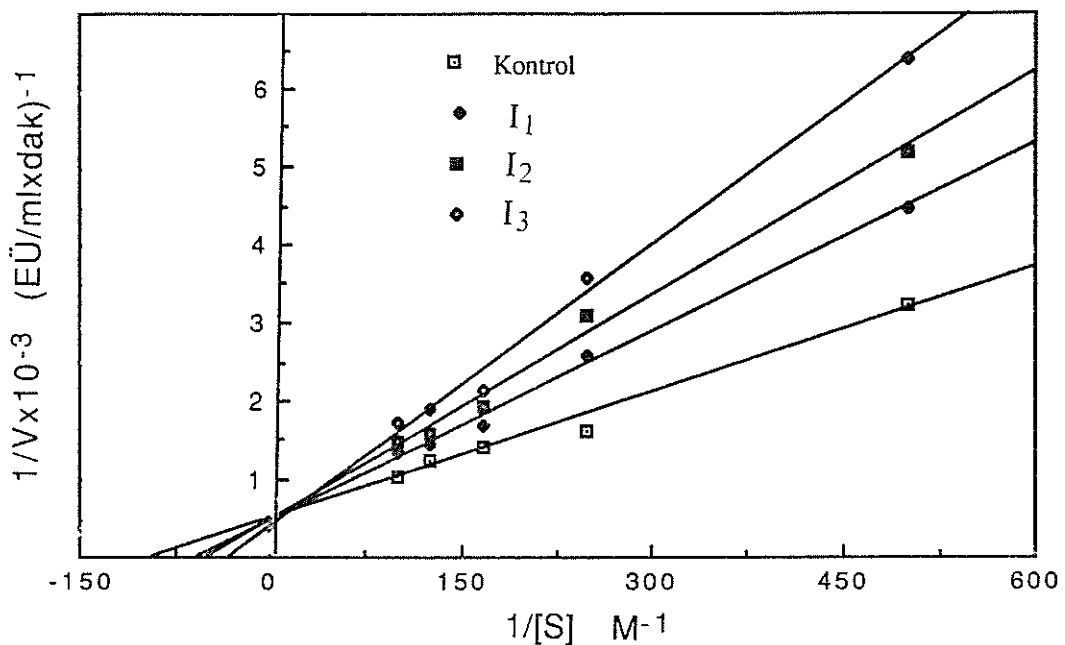
Şekil 3.38. Kuşburnu meyvası PPO enzimi aktivitesi üzerine sodyum metabisülfitin inhibisyon etkisi

$$[I_1] = 1,5 \cdot 10^{-5} \text{ M} \quad [I_2] = 3,0 \cdot 10^{-5} \text{ M} \quad [I_3] = 4,5 \cdot 10^{-5} \text{ M}$$



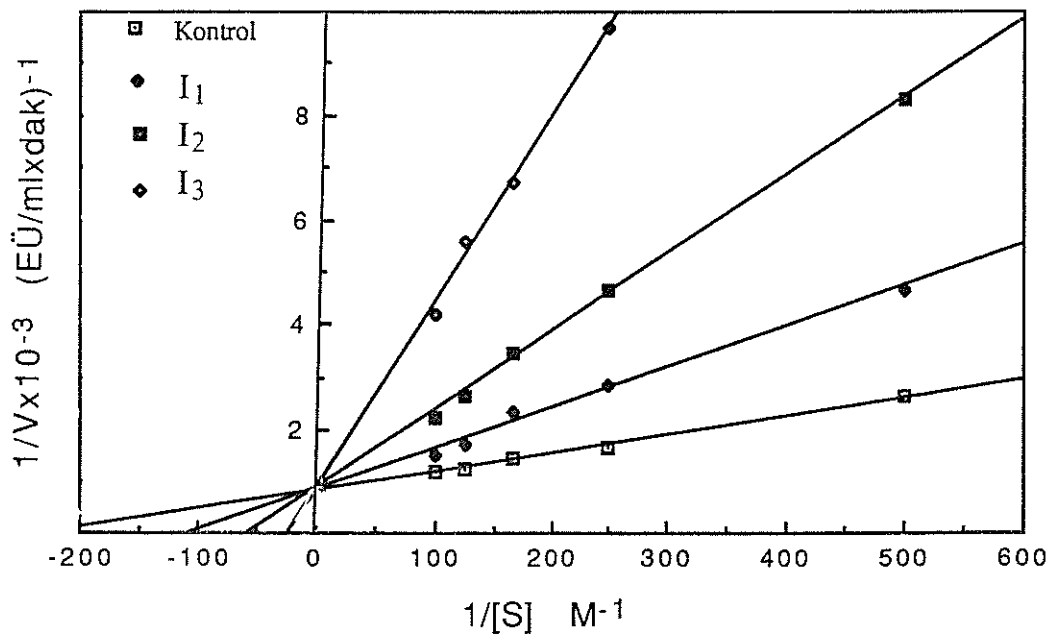
Şekil 3.39. Kuşburnu meyvası PPO enzimi aktivitesi üzerine L-sisteinin inhibisyon etkisi

$$[I_1] = 7,0 \times 10^{-5} \text{ M} \quad [I_2] = 1,0 \times 10^{-4} \text{ M} \quad [I_3] = 2,5 \cdot 10^{-4} \text{ M}$$



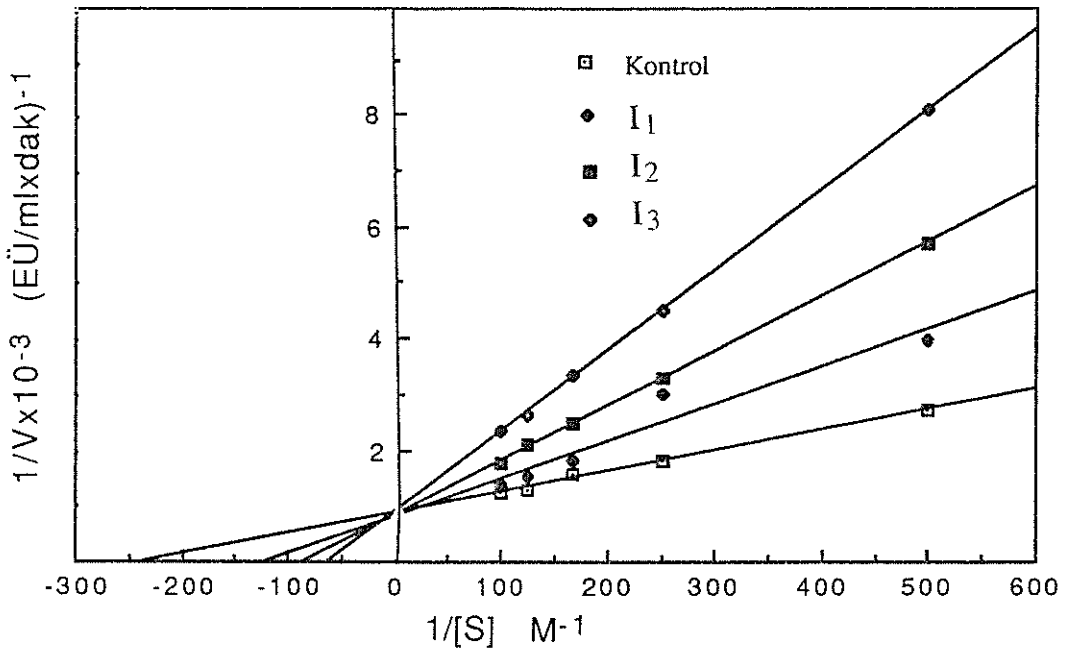
Şekil 3.40. Kuşburnu meyvası PPO enzimi aktivitesi üzerine askorbik asitin inhibisyon etkisi

$$[I_1] = 2.0 \times 10^{-4} \text{ M} \quad [I_2] = 2.5 \times 10^{-4} \text{ M} \quad [I_3] = 3.0 \times 10^{-4} \text{ M}$$



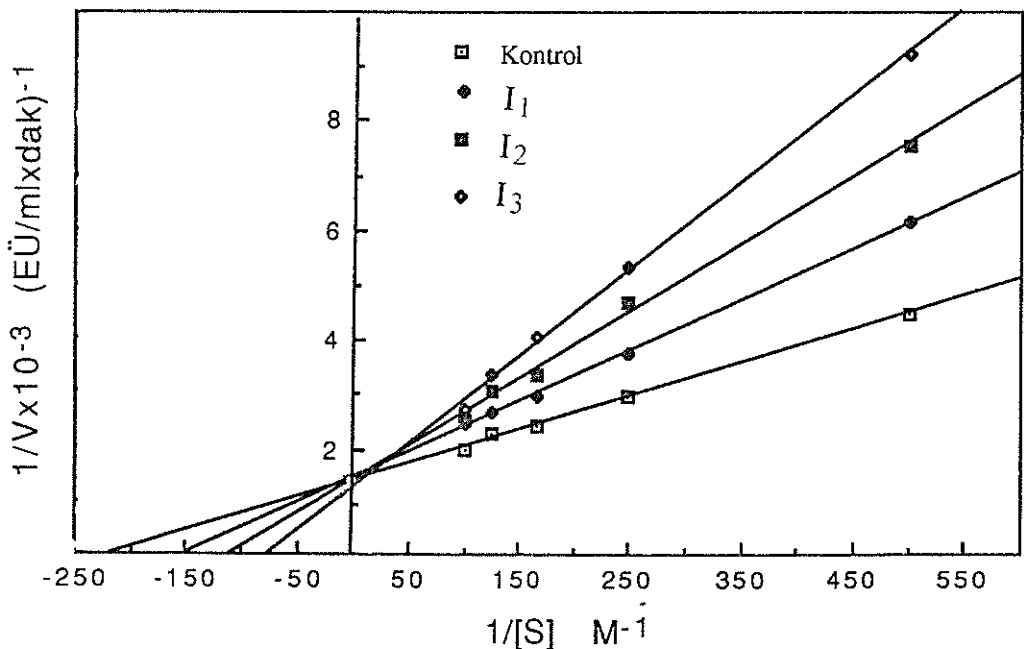
Şekil 3.41. Kuşburnu meyvası PPO enzimi aktivitesi üzerine glutatyonun inhibisyon etkisi

$$[I_1] = 8.0 \times 10^{-5} \text{ M} \quad [I_2] = 1.5 \times 10^{-4} \text{ M} \quad [I_3] = 3.0 \times 10^{-4} \text{ M}$$



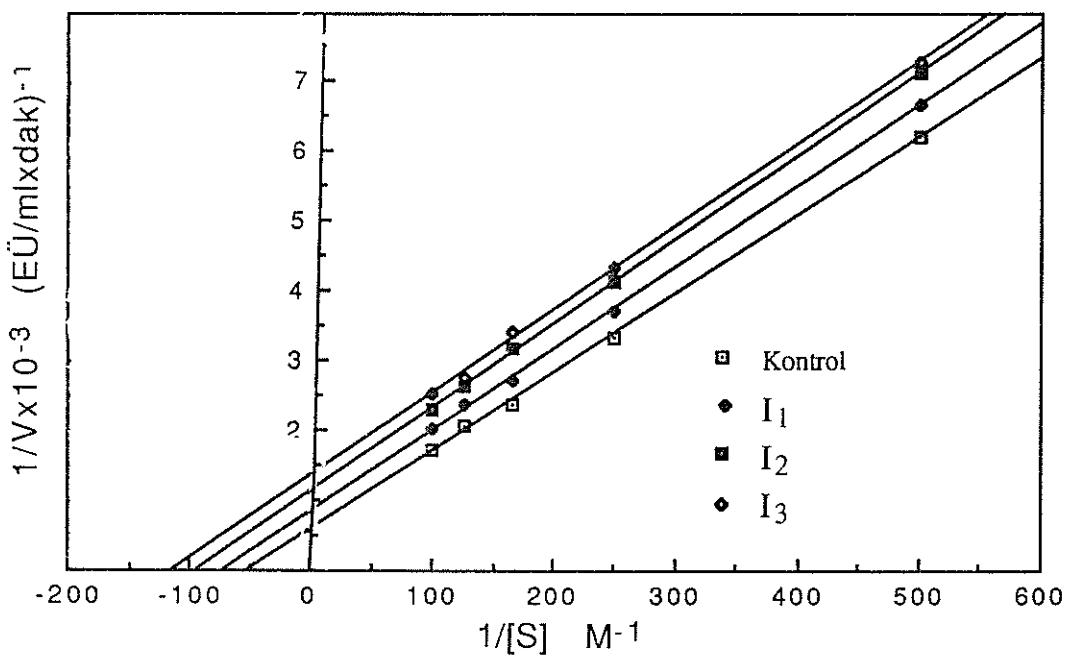
Şekil 3.42. Kuşburnu meyvası PPO enzimi aktivitesi üzerine tiyoürenin inhibisyon etkisi

$$[I_1] = 5.0 \times 10^{-2} \text{ M} \quad [I_2] = 1.0 \times 10^{-1} \text{ M} \quad [I_3] = 1.5 \times 10^{-1} \text{ M}$$



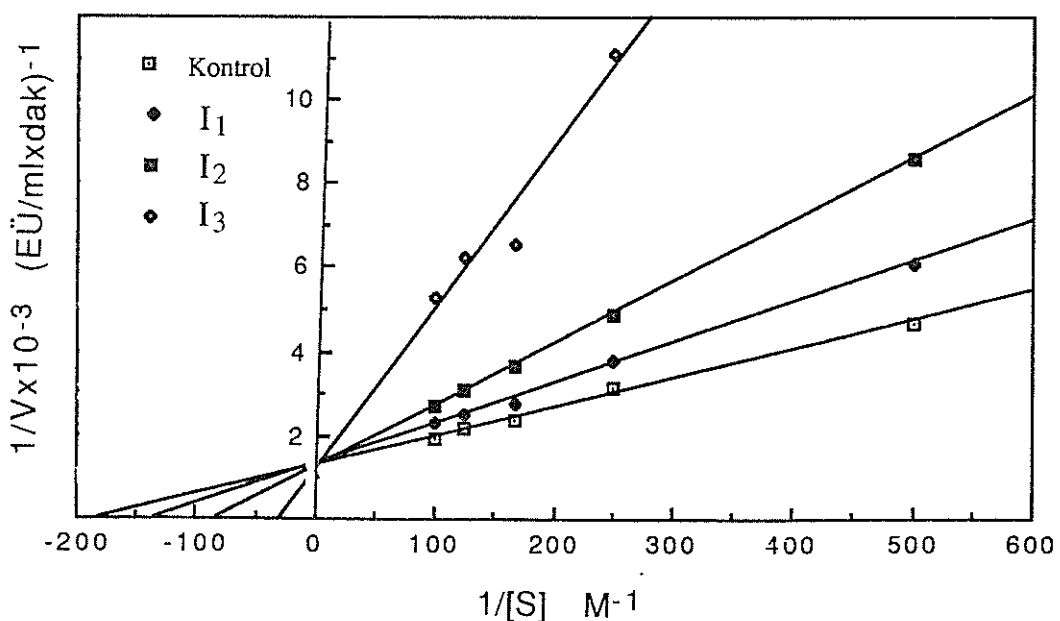
Şekil 3.43. Kuşburnu meyvası PPO enzimi aktivitesi üzerine sodyum azotürün inhibisyon etkisi

$$[I_1] = 6.0 \times 10^{-2} \text{ M} \quad [I_2] = 1.0 \times 10^{-1} \text{ M} \quad [I_3] = 2.0 \times 10^{-1} \text{ M}$$



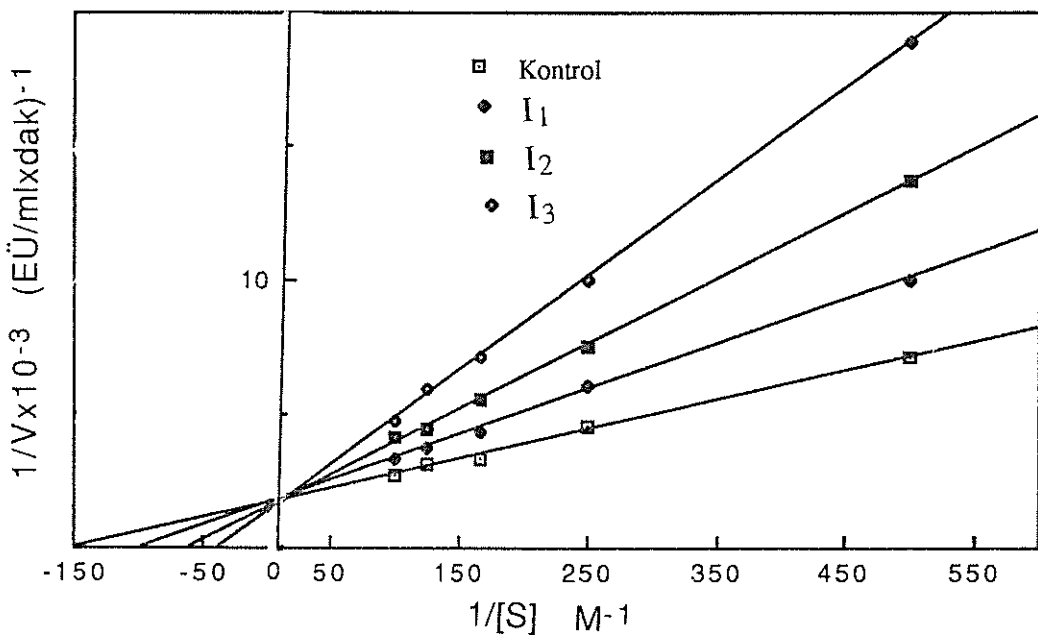
Şekil 3.44. Kuşburnu meyvası PPO enzimi aktivitesi üzerine sodyum dietilditiyo karbamatin inhibisyon etkisi

$$[I_1] = 2.0 \times 10^{-5} \text{ M} \quad [I_2] = 4.0 \times 10^{-5} \text{ M} \quad [I_3] = 6.0 \times 10^{-5} \text{ M}$$



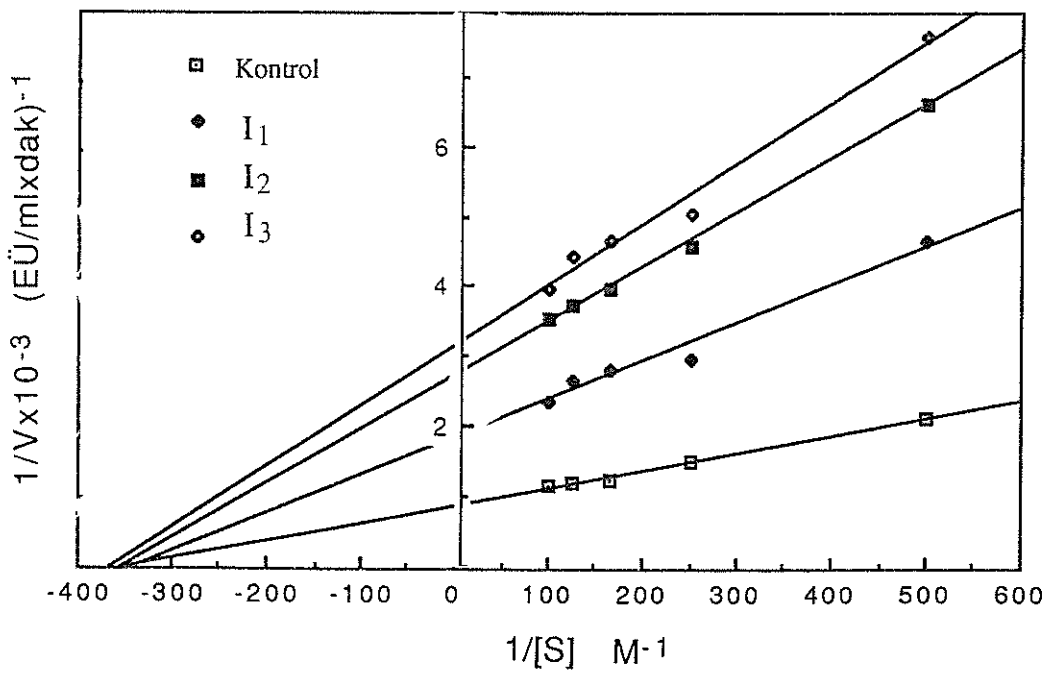
Şekil 3.45 Kuşburnu meyvası PPO enzimi aktivitesi üzerine ditiyoeritritolün inhibisyon etkisi

$$[I_1] = 2.0 \times 10^{-5} \text{ M} \quad [I_2] = 4.0 \times 10^{-5} \text{ M} \quad [I_3] = 8.0 \times 10^{-5} \text{ M}$$



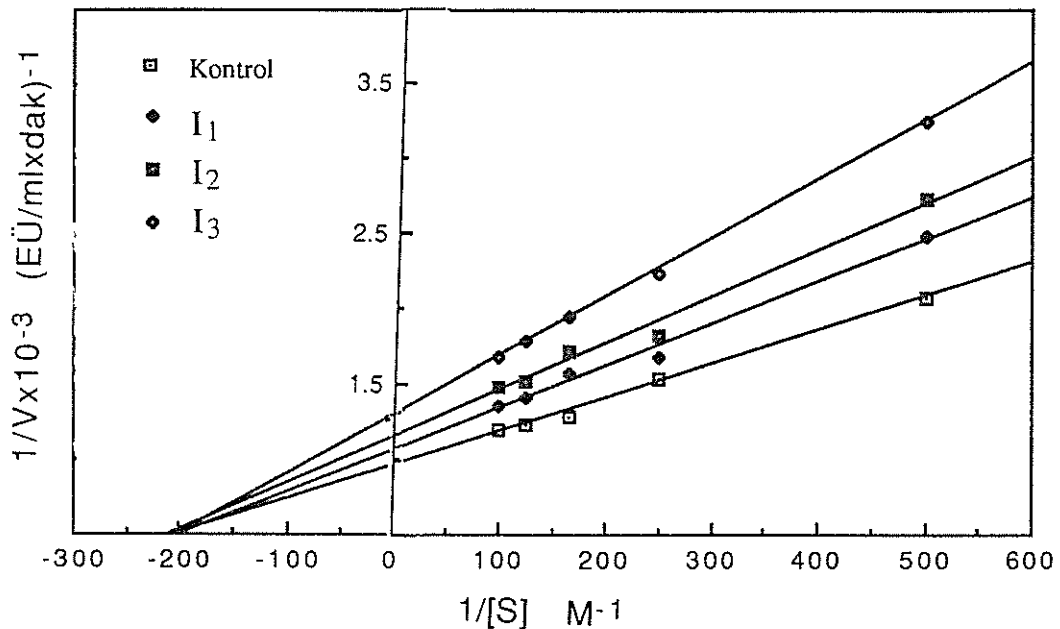
Şekil 3.46. Kuşburnu meyvası PPO enzimi aktivitesi üzerine tannik asitin inhibisyon etkisi

$$[I_1] = 7.5 \times 10^{-6} \text{ M} \quad [I_2] = 1.5 \times 10^{-5} \text{ M} \quad [I_3] = 3.0 \times 10^{-5} \text{ M}$$



Şekil 3.47. Kuşburnu meyvası PPO enzimi aktivitesi üzerine benzoik asitin inhibisyon etkisi

$$[I_1] = 1.0 \times 10^{-1} \text{ M} \quad [I_2] = 2.0 \times 10^{-1} \text{ M} \quad [I_3] = 3.0 \times 10^{-1} \text{ M}$$

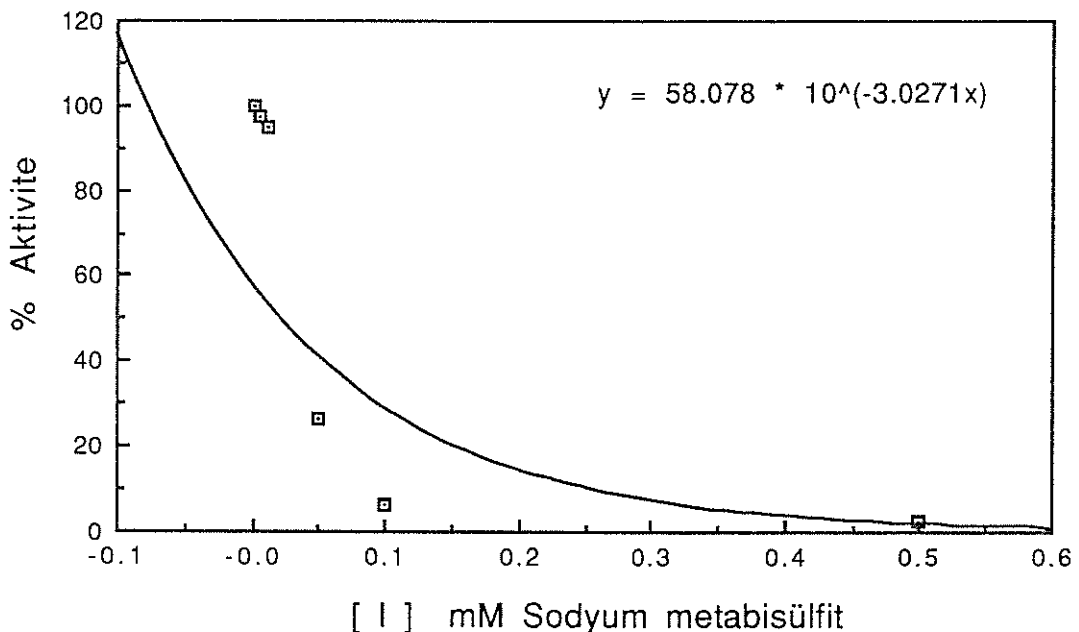


Şekil 3.48. Kuşburnu meyvası PPO enzimi aktivitesi üzerine β -merkaptoetanolun inhibisyon etkisi

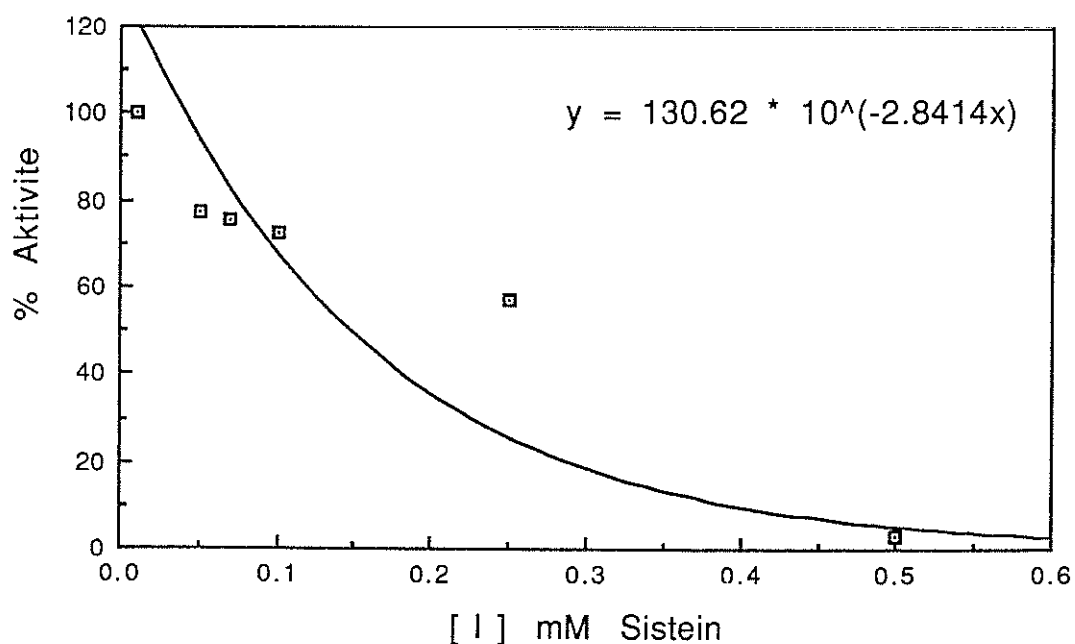
$$[I_1] = 2.5 \times 10^{-5} \text{ M} \quad [I_2] = 5.0 \times 10^{-5} \text{ M} \quad [I_3] = 7.5 \times 10^{-5} \text{ M}$$

I_{50} değerlerinin tesbitinde, Bölüm 2.4.4.f'de açıklandığı gibi 10 mM sabit substrat (4-metil katekol) konsantrasyonunda tablo 3.7'de belirtilen inhibitör konsantrasyonlarında aktiviteler belirlendi. Elde edilen aktivite değerlerinden yararlanarak % aktivite-[I] grafikleri çizilip (Şekil 3.49-3.59) %50 inhibisyon sebep olan inhibitör konsantrasyonları belirlenmiştir. Elde edilen I_{50} değerleri Tablo 3.8'de verildi. Bu değerlerin hesaplanmasıında $y=10^{-ax+b}$ denklemi kullanılmıştır.

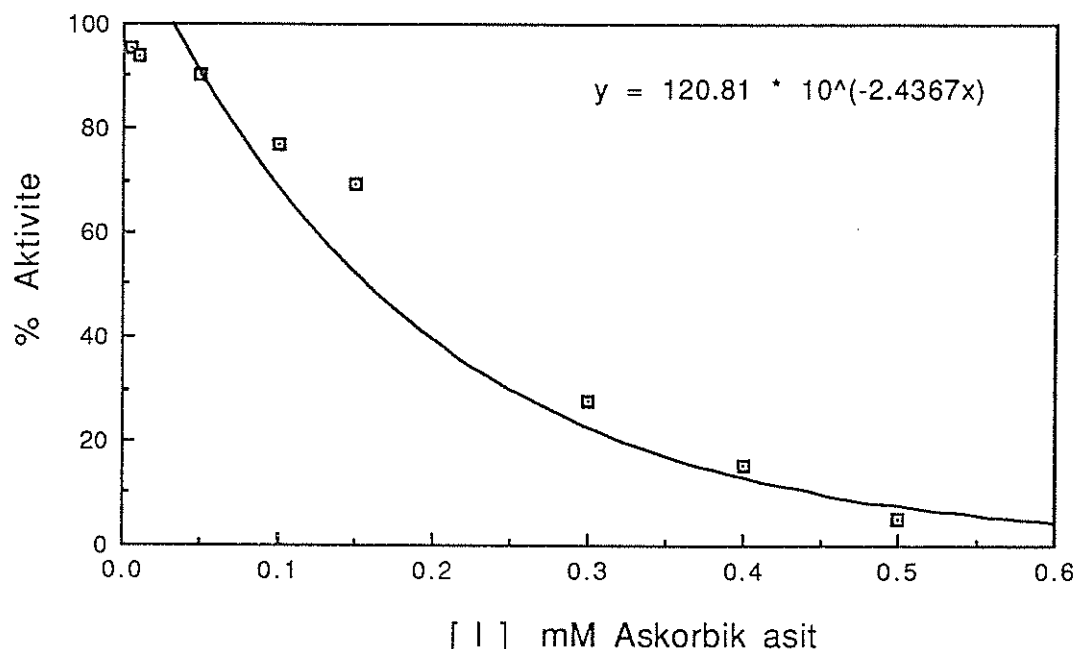
Ayrıca, Na EDTA, etilen glikol, tiyodiglikol ve sodyum klorurun inhibisyon etkileri, 10 mM 4-metil katekol substratıyla, daha önce açıklandığı gibi incelenmiş olup, tablo 3.9 da belirtilen konsantrasyonlarda aktiviteler belirlendi. Inhibisyon yüzdesleri tesbit edildi. Bu kimyasal maddelerin (Na EDTA, etilenglikol, tiyodiglikol ve sodyum klorür) inhibisyon yüzdesleri düşük olduğundan K_i değerleri tesbit edilememiştir. Ayrıca NaCl'un aktivatör özelliği gösterdiği gözlenmiştir.



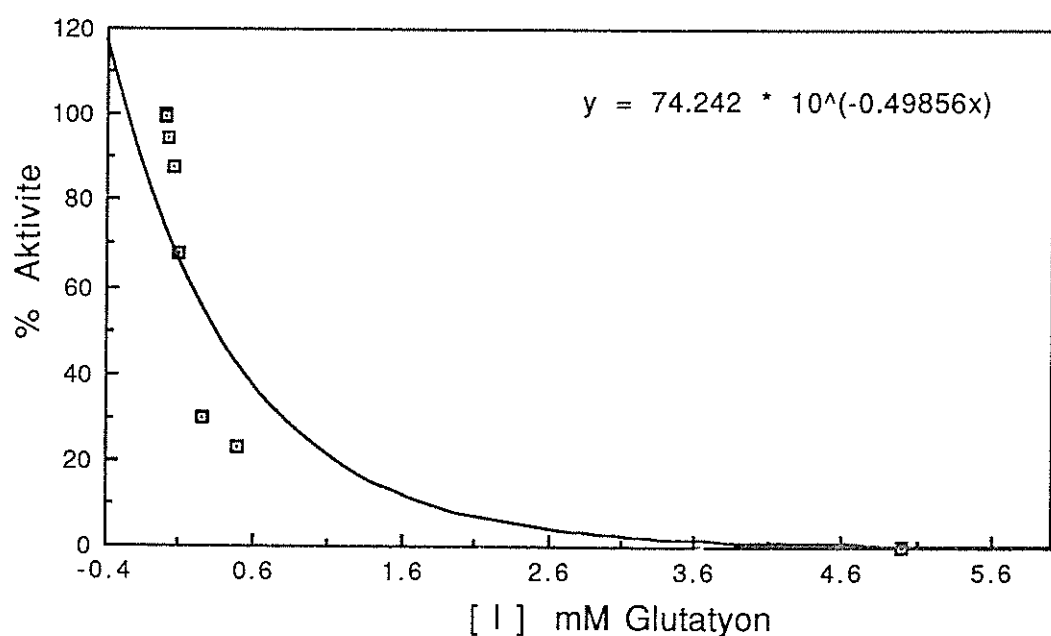
Şekil 3.49. Kuşburnu meyvası PPO enzimi üzerine 10 mM 4-metil katekol substratı konsantrasyonunda sodyum metabisülfit için % aktivite - [I] grafiği



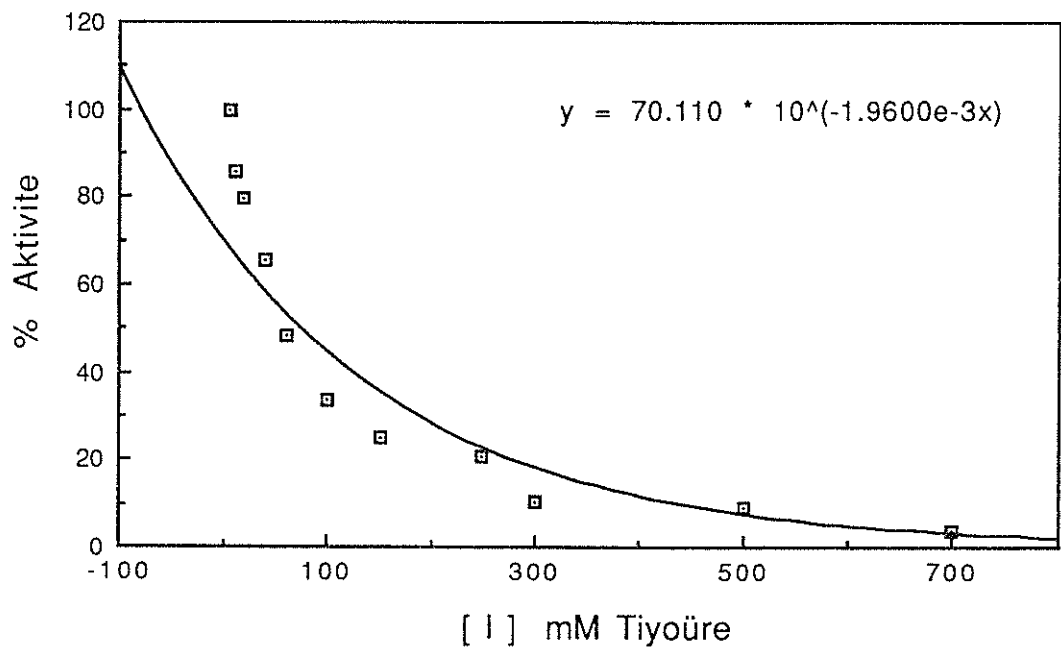
Şekil 3.50. Kuşburnu meyvası PPO enzimi üzerine 10 mM 4-metil katekol substratı konsantrasyonunda L-sistein için % aktivite - [I] grafiği



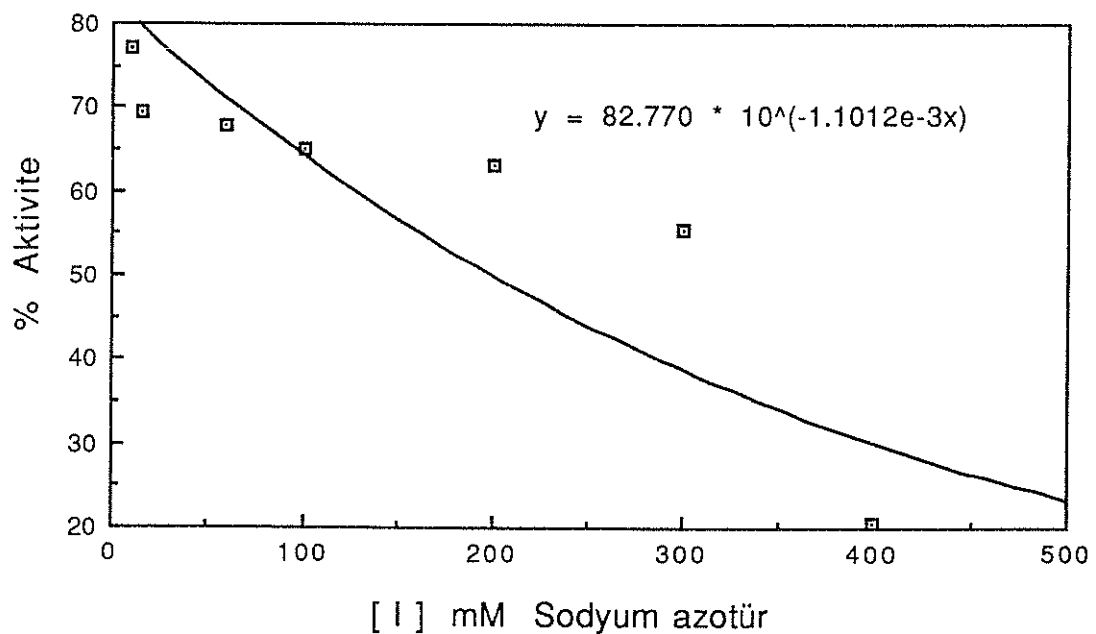
Şekil 3.51. Kuşburnu meyvası PPO enzimi üzerine 10 mM 4-metil katekol substrati konsantrasyonunda askorbik asit için % aktivite - [I] grafiği



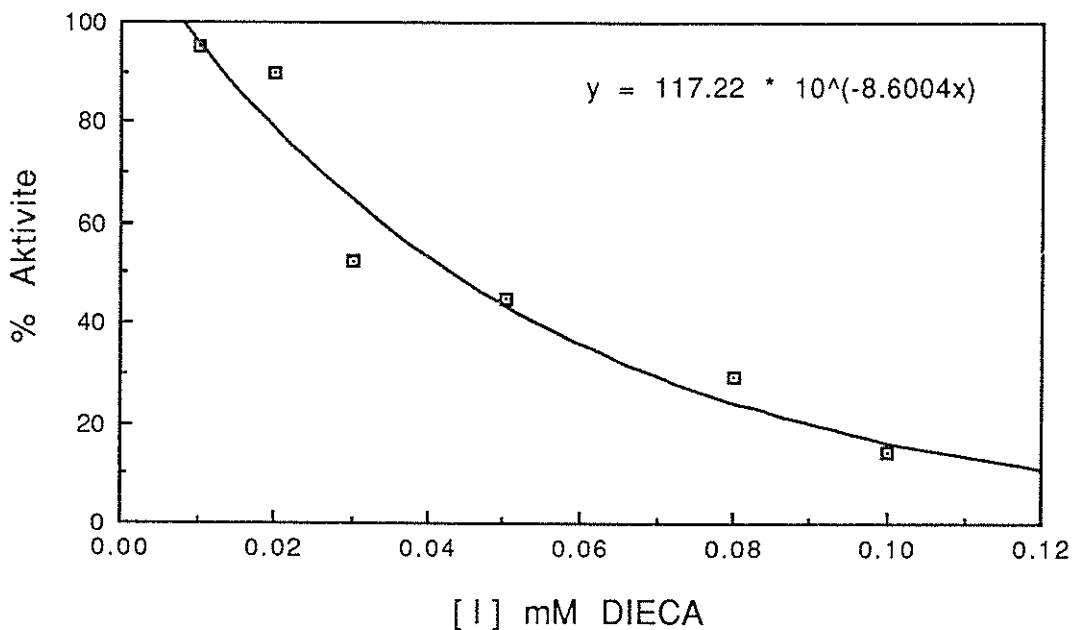
Şekil 3.52. Kuşburnu meyvası PPO enzimi üzerine 10 mM 4-metil katekol substrati konsantrasyonunda glutatyon için % aktivite - [I] grafiği



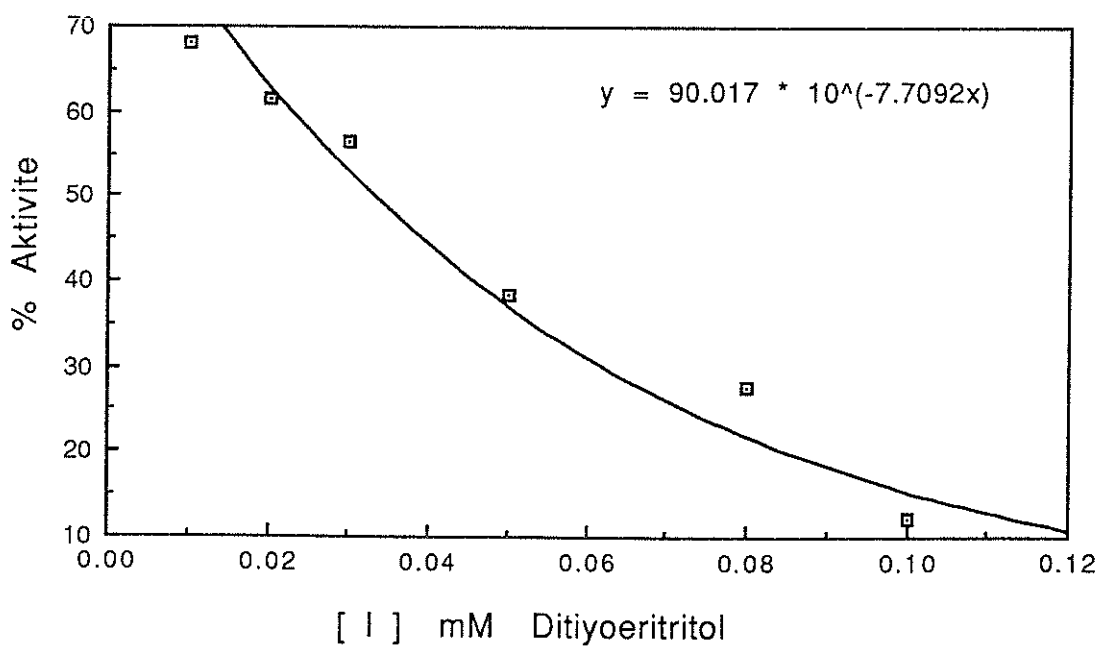
Şekil 3.53. Kuşburnu meyvası PPO enzimi üzerine 10 mM 4-metil katekol substratı konsantrasyonunda tiyoüre için % aktivite - [I] grafiği



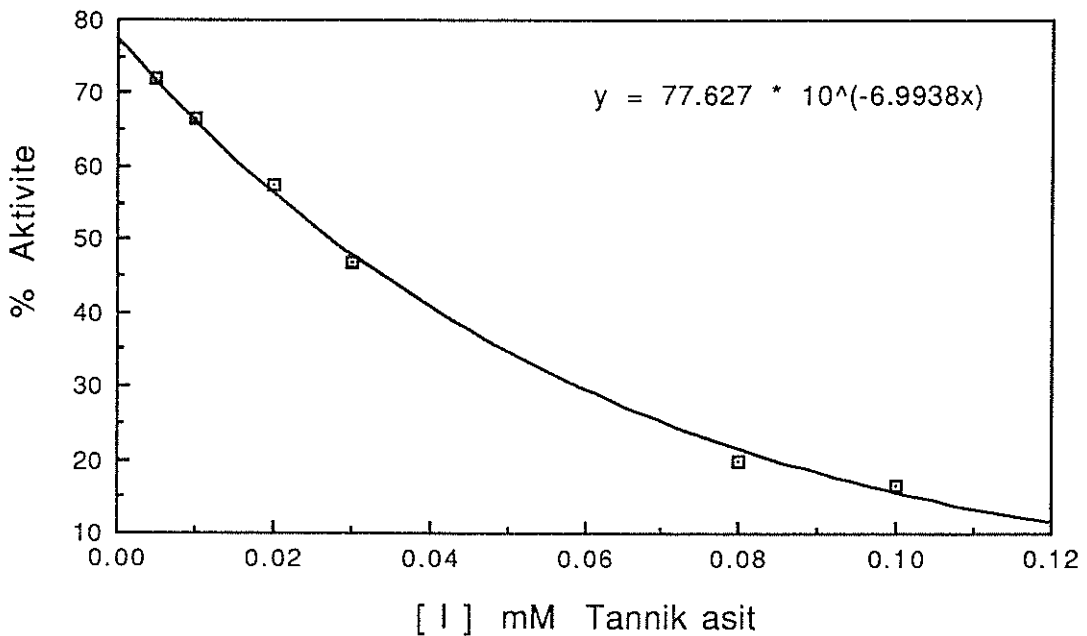
Şekil 3.54. Kuşburnu meyvası PPO enzimi üzerine 10 mM 4-metil katekol substratı konsantrasyonunda sodyum azotür için % aktivite - [I] grafiği



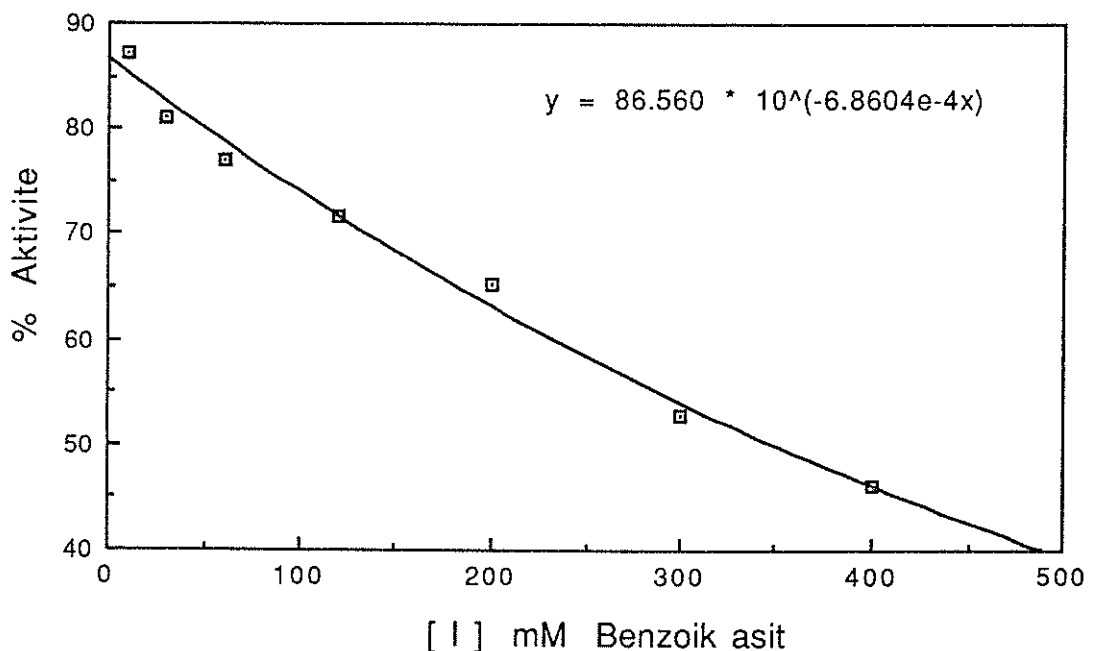
Şekil 3.55. Kuşburnu meyvası PPO enzimi üzerine 10 mM 4-metil katekol substratı konsantrasyonunda sodyum dietilditiyokarbamat için % aktivite - [I] grafiği



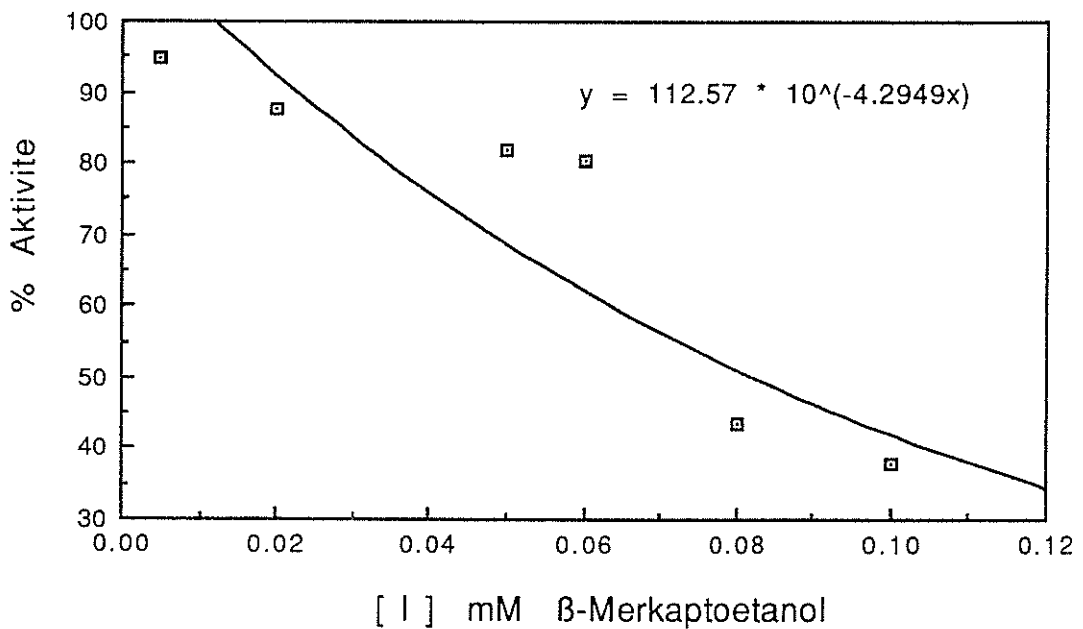
Şekil 3.56. Kuşburnu meyvası PPO enzimi üzerine 10 mM 4-metil katekol substratı konsantrasyonunda ditiyoeritritol için % aktivite - [I] grafiği



Şekil 3.57. Kuşburnu meyvası PPO enzimi üzerine 10 mM 4-metil katekol substratı konsantrasyonunda tannik asit için % aktivite - [I] grafiği



Şekil 3.58. Kuşburnu meyvası PPO enzimi üzerine 10 mM 4-metil katekol substratı konsantrasyonunda benzoik asit için % aktivite - [I] grafiği



Şekil 3.59. Kuşburnu meyvası PPO enzimi üzerine 10 mM 4-metil katekol substratı konsantrasyonunda β -merkaptoetanol için % aktivite - [I] grafiği

Tablo 3.6. Kuşburnu meyvasından saflaştırılan PPO enziminin Lincweaver-Burk grafiklerinden bulunan Ki değerleri

Inhibitör Cinsi	[I] (M)	Ki (M)	Ortalama Ki değerleri (M)	Inhibisyon türü
Sodyum metabisülfit	1.5×10^{-5}	6.01×10^{-9}	5.19×10^{-9}	Kompetetiv
	3.0×10^{-5}	6.12×10^{-9}		
	4.5×10^{-5}	3.44×10^{-9}		
L-sistein	7.0×10^{-5}	5.28×10^{-8}	5.79×10^{-8}	Kompetetiv
	1.0×10^{-4}	4.76×10^{-8}		
	2.5×10^{-4}	7.35×10^{-8}		
Askorbik asit	2.0×10^{-4}	9.89×10^{-8}	9.83×10^{-8}	Kompetetiv
	2.5×10^{-4}	9.67×10^{-8}		
	3.0×10^{-4}	9.95×10^{-8}		
Glutatyon	8.0×10^{-5}	3.64×10^{-8}	3.67×10^{-8}	Kompetetiv
	1.5×10^{-4}	3.59×10^{-8}		
	3.0×10^{-4}	3.80×10^{-8}		
Tiyoüre	5.0×10^{-2}	2.80×10^{-5}	3.52×10^{-5}	Kompetetiv
	1.0×10^{-1}	3.84×10^{-5}		
	1.5×10^{-1}	3.92×10^{-5}		
Sodyum azotür	6.0×10^{-2}	3.98×10^{-5}	5.77×10^{-5}	Kompetetiv
	1.0×10^{-1}	5.01×10^{-5}		
	2.0×10^{-1}	8.33×10^{-5}		
Sodyum dietil ditiyokarbamat	2.0×10^{-5}	4.35×10^{-5}	4.35×10^{-5}	Unkompetetiv
	4.0×10^{-5}	4.15×10^{-5}		
	6.0×10^{-5}	4.56×10^{-5}		
Ditiyoeritritol	2.0×10^{-5}	1.29×10^{-8}	1.53×10^{-8}	Kompetetiv
	4.0×10^{-5}	1.88×10^{-8}		
	8.0×10^{-5}	1.44×10^{-8}		
Tannik asit	7.5×10^{-6}	4.89×10^{-9}	7.28×10^{-9}	Kompetetiv
	1.5×10^{-5}	6.62×10^{-9}		
	3.0×10^{-5}	10.33×10^{-9}		
Benzoik asit	1.0×10^{-1}	9.26×10^{-2}	1.21×10^{-1}	Nonkompetetiv
	2.0×10^{-1}	1.17×10^{-1}		
	3.0×10^{-1}	1.56×10^{-1}		
β -Merkapto- etanol	2.5×10^{-5}	2.67×10^{-4}	2.38×10^{-4}	Nonkompetetiv
	5.0×10^{-5}	2.47×10^{-4}		
	7.5×10^{-5}	2.01×10^{-4}		

Tablo 3.7. Kuşburnu meyvası PPO enzimi üzerinde inhibisyon etkisi gösteren inhibitörlerin 10 mM 4-metil katekol substrat ile farklı inhibitör konsantrasyonlarında % aktivite değerleri

Inhibitör cinsi	I_1 (M)	% Aktivite	I_2 (M)	% Aktivite	I_3 (M)	% Aktivite	I_4 (M)	% Aktivite	I_5 (M)	% Aktivite	I_6 (M)	% Aktivite
Sodyum metabisülfit	1.0×10^{-6}	100	1.0×10^{-5}	94.8	1.0×10^{-5}	74.2	3.0×10^{-5}	56.6	5.0×10^{-5}	26.7	1.0×10^{-4}	6.0
L-Sistein	1.0×10^{-5}	100	5.0×10^{-5}	77.2	7.0×10^{-5}	75.7	1.0×10^{-4}	72.4	2.5×10^{-4}	56.7	5.0×10^{-4}	3.4
Askorbik asit	5.0×10^{-6}	95.3	5.0×10^{-5}	90.4	2.0×10^{-4}	67.9	2.5×10^{-4}	59.5	3.0×10^{-4}	49.1	5.0×10^{-4}	5.0
Gulutatyon	5.0×10^{-6}	100	2.5×10^{-5}	94.4	5.0×10^{-5}	87.8	1.0×10^{-4}	68.0	2.5×10^{-4}	30.1	5.0×10^{-4}	23.0
Tiyoure	5.0×10^{-3}	100	1.0×10^{-2}	85.4	4.0×10^{-2}	65.5	6.0×10^{-2}	48.3	1.0×10^{-1}	33.6	2.5×10^{-1}	20.5
Sodyum azotür	1.0×10^{-2}	77.0	6.0×10^{-2}	68.0	1.0×10^{-1}	65.0	2.0×10^{-1}	63.0	3.0×10^{-1}	55.4	4.0×10^{-1}	20.6
DIECA	1.0×10^{-5}	95.4	2.0×10^{-5}	89.9	3.0×10^{-5}	52.2	5.0×10^{-5}	44.8	8.0×10^{-5}	29.2	1.0×10^{-4}	14.2
Ditiyoeritritol	1.0×10^{-5}	68.2	2.0×10^{-5}	61.5	3.0×10^{-5}	56.3	5.0×10^{-5}	38.5	8.0×10^{-5}	27.7	1.0×10^{-4}	12.3
Tannik asit	5.0×10^{-6}	72.0	1.0×10^{-5}	66.6	2.0×10^{-5}	57.5	3.0×10^{-5}	46.8	8.0×10^{-5}	20.0	1.0×10^{-4}	16.4
Benzozik asit	1.0×10^{-2}	87.1	3.0×10^{-2}	81.1	6.0×10^{-2}	77.1	1.2×10^{-1}	65.3	3.0×10^{-1}	52.8	4.0×10^{-1}	46.1
β -merkaptoethanol	1.0×10^{-6}	94.7	2.0×10^{-5}	87.6	6.0×10^{-5}	82.1	6.0×10^{-5}	80.4	8.0×10^{-5}	43.4	1.0×10^{-4}	38.0

Tablo 3.8. Kuşburnu meyvası PPO enzimi için 10 mM 4-metil katekol substrat konsantrasyonunda % 50 inhibisyonaya sebep olan inhibitör konsantrasyonları

Inhibitör Cinsi	I_{50} (M)	Inhibitör Cinsi	I_{50} (M)
Sodyum metabisulfit	2.10×10^{-5}	Sodyum dietilditiyokarbamat	4.30×10^{-5}
L-sistein	1.48×10^{-4}	Ditiyoeritritol	3.31×10^{-5}
Askorbik asit	1.57×10^{-4}	Tannik asit	2.73×10^{-5}
Glutatyan	3.44×10^{-4}	Benzoik asit	3.47×10^{-1}
Tiyoüre	7.49×10^{-2}	β -Merkaptoetanol	8.20×10^{-5}
Sodyum azotür	1.98×10^{-1}		

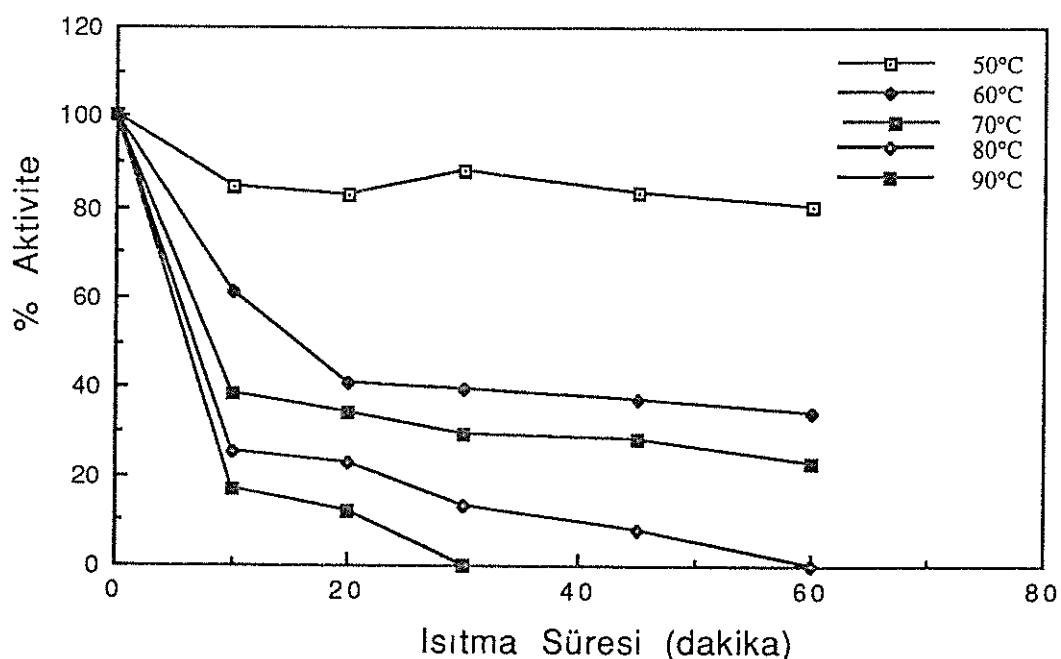
Tablo 3.9. Kuşburnu meyvası PPO enzimi üzerine bazı inhibitörlerin etkisi

Inhibitör	Konsantrasyon (M)	Inhibisyon (%)
Sodyum klorür	0.8	-88.5
	0.4	-46.3
	0.1	-5.9
	0.05	20.9
	0.005	6.6
Na EDTA	0.4	23.5
	0.3	28.1
	0.2	31.7
	0.1	23.5
	0.02	18.9
	0.005	27.1
	0.0025	26.5
Etilenglikol	1.2	27.2
	0.8	13.3
	0.4	8.0
	0.1	4.0
Tiyodiglikol	0.5	33.4
	0.04	19.6
	0.02	16.1
	0.01	15.5
	0.005	5.0

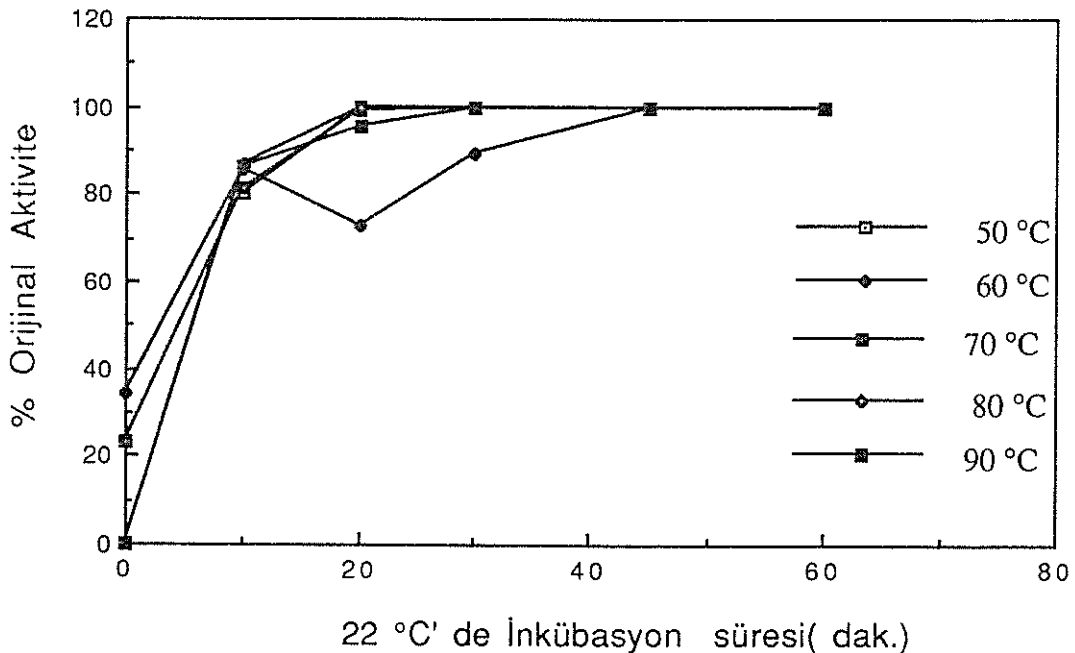
3.13. Sıcaklıkla Denetürasyon ve Renetürasyon Çalışmalarının Sonuçları

PPO enziminin sıcaklıkla denetürasyon özelliğini belirlemek amacıyla, 50-90°C aralığında belirli sürelerde çalışıldı. Bunun için çalışılan sıcaklığa enzim, substrat ve tampon çözeltilerinin sıcaklığı, sabit sıcaklık sirkülatörü ile ayarlandı. Her bir sıcaklık için (50,60,70,80 ve 90 °C), 10., 20., 30., 45. ve 60. dakikalarda 4-metil katekol substratıyla bölüm 2.4.2 de anlatıldığı gibi, 0.1 ml enzim çözeltisi, 2.9 ml tampon+substrat çözeltileri ilave edildi. Tampon olarak 0.2 M tris tamponu (pH=8.5) kullanıldı. 420 nm de aktiviteler okundu. % aktiviteler-ısitma süresine karşı grafik edildi (şekil 3.60).

Renetürasyon işlemlerinde, ısıtılmış enzim çözeltisi çalışılan sıcaklıktan 22 °C ye kadar soğutulduktan sonra 10., 20., 30., 45. ve 60. dakikalarda aktiviteler yukarıda anlatıldığı gibi tayin edildi. Bulunan bu aktivitelerden yararlanarak % aktiviteler hesaplandı. 22 °C de ki inkübasyon süresine karşılık-% orijinal aktiviteler grafik halinde gösterildi (şekil 3.61). Buna göre kuşburnu meyvası PPO enziminin yüksek sıcaklıklarda denatüre olduğu, ancak sıcaklığın düşürülmesi ile yeniden aktivite kazandığı görülmüştür.



Şekil 3.60. Kuşburnu meyvası PPO enzimi üzerine farklı sıcaklıkların etkisi

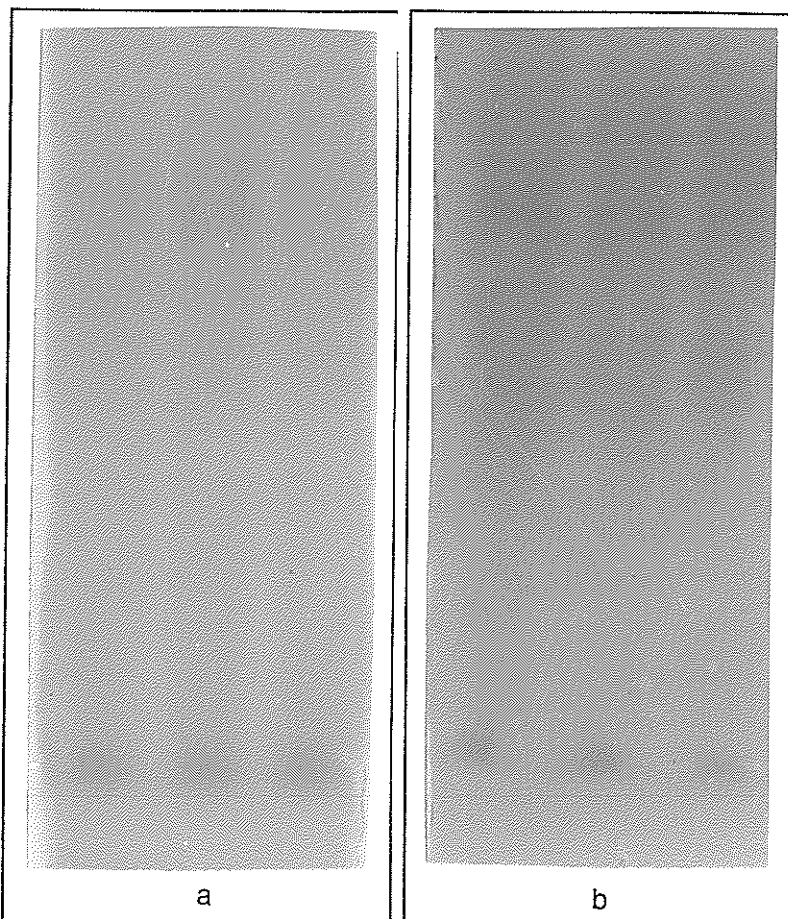


Şekil 3.61. Kuşburnu meyvası PPO enziminin denatürasyondan sonra, sıcaklığın düşürülmesi ile renatürasyonu

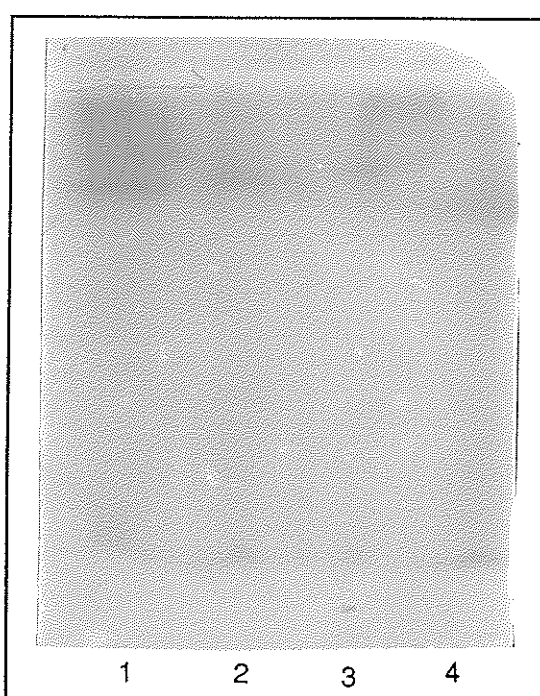
3.14. Tabii Şartlarda Poliakrilamid Jel Elektroforezi Çalışması Sonuçları

Polifenol oksidaz izoenzimlerinin ayrılmasına yönelik çalışmalar bölüm 2.4.7 de anlatıldığı gibi yapılarak, Amonyum sülfat çöktürmesi ve diyaliz sonrası tatbik edilen elektroforez sonuçları şekil 3.62 de verildi.

Ayrıca bölüm 2.4.7'de anlatıldığı üzere, numune tatbik edilecek duruma getirilen elektroforeze bu sefer, ham ekstrakt, amonyum sülfat çöktürme sonucu ve jel filtrasyon sonucu elde edilen fraksiyonlar (JF_1 ve JF_2) yeniden amonyum sülfatla %80 doygunluğa getirildikten sonra iki grup halinde (AS_1 , AS_2 , JF_1 ve JF_2) tatbik edildi. Yürütme işleminden sonra, çıkarılan jel iki parçaya ayrıldı biri 15 mM 4-metil katekol, %0.05 ortofenilen diamin içtiva eden 0.2 M tris tamponuna (pH=8.5), ikincisi 1.5 mM L-dopa içtiva eden 0.2M tris tamponuna (pH=8) daldırıldı. Daldırma işleminden 1-1,5 saat sonra bantlar belirginleşti. Daha sonra jeller 1.0 mM askorbik asitle 5 dakika kadar çalkalandı. L-DOPA içerisinde daldırılan jel saf su, 4-metil katekol çözeltisine daldırılan jel %30 luk etil alkol içine alındı. 4-metil katekol substratı ile etkileştirilen jelin fotoğrafı çekildi (şekil 3.63).



Şekil 3.62. Kuşburnu PPO izoenzimlerinin tabii PAGE i fotoğrafı (Amonyum sülfat çöktürmesi sonraki numune) a)4-metil katekol substrati ile b) Dopamin substrati ile



Şekil 3.63. Kuşburnu PPO enzimlerinin 4-metil katekol substratıyla tabii şartlarda poliakrilamid jel elektroforezi fotoğrafı. a) 1. ve 2. kanal amonyum sülfat çöktürmesi sonrası, b) 3. kanal jel filtrasyon kromatografisi sonrası 1. fraksiyon, c) 4. kanal jel filtrasyon kromatografisi sonrası 2. fraksiyon.

4. TARTIŞMA

Bu çalışmada, özellikle gıda işletmeciliğinde önemli bir faktör olan PPO enzimi, Doğu Anadolu Bölgesi'nde yaygın olarak yetişen kuşburnu meyvasından izole edilerek çeşitli kinetik ve elektroforetik özelliklerini incelenmiştir. Bu amaçla enzim kaynağı olarak, Erzurum Atatürk Üniversitesi kampüsünde yetişkin haldeki bitkilerden toplanan kuşburnu meyvaları (*Rosa dumalis*) kullanılmıştır. Elde edilen değerleri tartışmadan önce araştırmada kullanılan yöntemlerin seçiliş sebeplerini açıklayalım.

Araştırmamız sırasında kromatografi işlemlerinde elde edilen elüatlardaki muhtevaları 280 nm'de absorbansları ölçülerek belirlendi. Bu şekilde yapılan kalitatif tayin, protein yapısında bulunan aromatik halkaya sahip amino asitlerin (fenilalanın, tirozin ve triptofan) söz konusu dalga boyunda UV ışınlarını absorblamaları esasına dayanmaktadır¹⁵¹. Kantitatif protein tayinleri, Coomassie-blue yöntemiyle belirlendi. Bu yöntem; fosforik asitli ortamda proteinlerin coomassie brilliant-blue G-250 reaktifi ile kompleks oluşturma esasına dayanır. Oluşan kompleks 595 nm'de maksimum absorbans gösterir. Bu yöntemin diğer protein tayin yöntemlerinden üstün tarafı, çok kısa sürede uygulanması, bozucu faktörlerin pek olmaması, protein-boya kompleksinin çözeltilerinde uzun süre kalmasıdır. Bu yöntemin hassasiyeti 1-100 µg arasındadır¹⁵². Buna mukabil biüret yöntemi daha az hassas olup, Lowry yönteminde ise her tayin öncesinde standart çalışılmak gerekmekte ve çok uzun zaman almaktadır^{157,158}.

PPO aktivitesi, substratın kaybolma ya da ürünün oluşma hızını ölçmekle belirlenebilir. Substratın kaybolma hızının belirlenmesinde oksijenin absorbasyonu ya Warburg respirometresiyle manometrik ya da bir oksijen elektroduyla polarografik olarak ölçülür. Ürünün oluşma hızı, kinonlardan oluşan renkli bileşiklerin optik yoğunlıklarının spektrofotometrik metodla ölçülmeye tayin edilmektedir. Bu metodun çok basit olmasından dolayı rutin analizlerde ve polarografik metoda göre nisbeten daha uzun aralıklarında kullanıldığından tercih edilir. Ayrıca bu metodun diğer metodlar kadar hassas ve güvenilir olduğu bildirilmektedir³⁵. Bu yüzden bu çalışmada spektrofotometrik metod ve 420 nm dalga boyu kullanıldı^{34,35,155}.

Meyvalardan PPO izolasyonu için Tampon ekstraksiyon metodu kullanıldı. Uygun tamponla ekstraksiyon işlemi aseton çöktürmesinden daha çok kullanılır. Uygun pH değerli tamponlar, enzim kaynağının ekstraksiyonu sağlarlar. Tamponun pH'sı elde edilen enzimin formunu etkileyebilir.

Ekseriya enzimatik polifenol oksidasyonundan ekstraksiyon sistemini korumak için ortama indirgen reaktifler yada kinonlar gibi enzimin dönüşümlü inhibitörleri katılmaktadır. Bu amaçla ekstraksiyon tamponu olarak kullanılan fosfat tamponuna ($\text{pH}=7.3$) 10 mM askorbik asit katıldı.

Enzim ekstraksiyonu boyunca fenol oksidasyonunun ve polimerizasyonunun önlenmesinin en etkili yolu, çözünmeyen bir polimer materyaline substratları bağlayarak ortamdan uzaklaştırmaktır. Fenol bağlamada en yaygın kullanılan polivinil polipirrolidon (PVPP) 'dir. PVPP fenollerin iyonlaşmadığı nötral yada asidik pH da çok kuvvetli proton alıcısıdır. Aynı zamanda PVPP kısmı olarak PPO'ın kompetetiv bir inhibitörüdür. Ancak onun inhibitör etkisi enzim çözeltilerini yıkamakla elimine edilebilir. Polietilen glikol (PEG) bu iş için bazen daha fazla tercih edilir. Belki de bunun sebebi, PEG'nin asetondaki çözünürlüğünün, enzim çözeltisi elde edilmesinde belirli avantajlar sağladığından dolayıdır. Bizde çalışmamızda PEG'yi kullandık.

PPO enzimini saflaştırmak amacıyla, %80 doygunlukta amonyumsulfat çöktürmesi, sephadeks G-100 üzerinde Jel filtrasyon kromatoğrafisi ve DEAE-Selüloz iyon değişim kromatoğrafisi teknikleri kullanıldı.

Tablo 3.2, kuşburnu meyvasından PPO saflaştırılmasında kullanılan basamakları göstermektedir. Tablo incelendiğinde ham ekstraktın aktivitesinin ölçülemediği verim ve saflaştırma derecelerinin ham ekstrakte göre kıyaslanmadığı görülmektedir. Bununda sebebi ham ekstrakte ilave edilen inhibitör etkiye sahip bol miktardaki askorbik asitten kaynaklanmasıdır. Tablo 3.2'de verilen aktiviteler herbir fraksiyondan sonra ölçülen değerlerdir. DEAE-selüloz iyon değişim kolonu üzerinde kromatografi yapıldığında saflığı 1,5-2 kat arttırmıştır. Ayrıca iyon değişim kromatografisinde aktiviteler çok düşük çıkmakadır. Bunun sebebi, bakır iyonlarının DEAE selüloz iyon değişim kromatografisi kolonu tarafından tutulduğu bildirilmektedir^{45,46}. Bu yüzden aktivitelerin çok düşük olduğu görülmüştür.

Ayrıca Şekil 3.2 ve Şekil 3.3 incelendiğinde jel filtrasyon kromatografisinde iki pikin görülmesi ve yine iyon değişim kromatografisinde de iki pikin varlığı kuşburnu meyvası PPO'nın iki izoenzimi olduğunu göstermektedir. Jel filtrasyon kromatografisi ve iyon değişim kromatografisi sonucu elde edilen numunelerin aktivitelerinin çok düşük çıkışlarından dolayı kinetik özelliklerinin incelenmesi amonyum sülfat çöktürmesi ve diyaliz işleminden sonra elde edilen enzim

çözeltileriyle yapılmıştır. Bu yüzden total çalışılmış olup diğer saflaştırma basamakları sonucu elde edilen numuneler üzerinde kinetik çalışmalar yapılamamıştır.

Bu saflaştırma derecesi, ham ekstrakte göre yapılabileseydi çıkacak olan bu değer kiraz ve yer elmasıyla elde edilen değerlerle eşdeğer ve Yali armutundan elde edilen değerlerle de uygunluk arzetmektedir¹⁵⁶.

Kuşburnu PPO enzimi ile ilgili kinetik çalışmalarından önce uygun bir substrat ve bu substrat için optimum şartların belirlenmesi gerekiyordu. Bu amaçla optimum pH, optimum sıcaklık ve iyonik şiddetin etkisi incelendi.

Optimum pH çalışması, optimum pH değerlerini belirlemek amacıyla, katekol, 4-metil katekol, L-DOPA, dopamin, gallik asit, pirogallol L-tirozin ve p-kresol substratları kullanılarak yapıldı. Bu substratlarla enzimin substrata doyduğu noktalarda pH=4-10 aralığında uygun tampon çözeltiler içinde enzimin gösterdiği aktiviteler spektrofotometrik olarak ölçüldü. Bulunan optimum pH'lar yukarıdaki substratlara göre sırasıyla 8.5, 8.5, 8.0, 8.5, 8.8, 7.0, 7.0 ve 5.0 olarak bulundu. PPO aktivitesinin optimum pH'sı Vigyazo tarafından hazırlanan bir derlemede enzimin kaynaklarına ve substratlarına göre genellikle pH 4.0-7.0 arasında değiştiği bildirilmektedir^{35,70}.

Birçok kaynaklardan elde edilen PPO'ın pH 4.0'un altında inaktif olduğu belirtilmiştir⁷¹. Bizim çalışmamızda pH 6.0'nın altında katekol ve tirozin substratları için inaktif olduğu bulunmuştur. Birbaşa çalışmada pH 5.5'un üstünde O₂'nin artırılması ile katekol substratının otooksidasyonu arttırdığını belirtmektedir¹⁵⁹. Bu çalışmada difenoller için bulunan optimum pH değerinin pH 8'in üzerinde olması birçok literatür verileriyle tezat teşkil etmekte ise de eriklerin PPO'nın maksimum aktivitesinin pH 8.0 olduğu bildirilmektedir¹³. Ayrıca difenollerin optimum pH'ların yüksek olması bu substratların yüksek pH larda otooksidasyon'a uğradıkları sanılmaktadır. Özellikle katekol substratında bu durum açıkça görülmektedir. Şekil 3.5 incelendiğinde optimum pH 8.5'in üstündeki pH değerlerinde aktivitede hızlı bir düşüş görülmemektedir. Belkide bu durum şimdije kadar kuşburnu meyasında bu çalışmanın yapılmamasının bir sebebi olabilir.

Optimum sıcaklık belirlenmesinde de yine aynı substratlarla optimum pH'larında 5°C-85°C sıcaklık aralığında aktiviteler belirlendi. Optimum sıcaklıklar; katekol, 4-metil katekol, L-dopa, dopamin, gallik asit, pirogallol, L-tirozin ve p-kresol için sırasıyla 25; 20, 45, 35, 15, 65 ve 60°C olarak tesbit edildi. PPO için optimum

sıcaklık üzerindeki araştırmalar optimum pH'ya göre oldukça azdır. Yapılan araştırmalar, enzimin sıcaklığının, optimum pH gibi aynı şartlara bağlı olduğunu göstermiştir. Stanley eriklerinden elde edilen PPO enziminin maksimum aktivitesi için 4-metil katekol substratı ile optimum sıcaklık 20°C,¹³ patatesde katekol substratı ile PPO 22°C'de maksimum aktiviteye sahipken⁷⁹ pirogallol substratı ile 15-35 °C arasında aktivitede lineer bir artış kaydedildiği bildirilmiştir⁷⁵. Bu değerler, bizim çalışmamızdaki aynı substratlarla yapılan optimum sıcaklık değerleriyle uyum içerisindeidir. PPO enzimi için, şeftalide 37°C, Kaysıda 25°C ve muzda ise 37°C de maksimum aktiviteye eriği bildirilmiştir^{75,77}. Kuşburnu meyvasından izole edilen PPO'nun düşük sıcaklıklarda monohidroksi fenollerle göre dihidroksi fenoller üzerinde daha etkili oldukları anlaşılmaktadır. Monohidroksi fenoller üzerinde ise yüksek sıcaklıklarda etkilidir. Literatürde monohidroksi fenoller için enzimin düşük sıcaklıklarda fazla etkili olmadığı belirtilmiştir.

Katekol, 4-metil katekol ve dopamin substratlarıyla, 0.01, 0.05, 0.10, 0.20, 0.30 ve 0.50 M seri tris-HCl tamponlarıyla kendi optimum pH'larında yapılan aktivite ölçümelerinden sonra Tablo 3.4 incelendiğinde her üç substratin da 0.2 M Tris-HCl tamponunda en yüksek aktiviteye sahip olduğu görüldü. Bu yüzden aktivite ölçümelerinde bu konsantrasyon kullanıldı.

Enzim stabilitesi üzerine pH'nın etkisini incelemek amacıyla, Enzim farklı pH'lı tamponlarda 4°C de muhafaza edildi. Aktivite ölçümeleri 4-metil katekol substratı ile inkübasyonun belli zaman periyotlarında ölçüldü. Sonuçlar şekil 3.21 gösterildi. Grafik incelendiğinde zamana bağlı olarak aktivitede en az azalma pH'sı 6.2 olan fosfat tamponunda olduğu görüldü. Bu yüzden PPO enzimi ekstraksiyonu bu tamponla yapıldı.

Optimum sıcaklık çalışmasından elde ettiğimiz sıcaklık-aktivite değerlerini kullanılarak her bir substrat için Arrhenius denkleminden yararlanılarak logk-1/T grafikleri çizildi.

Grafiklerin eğiminden ($-E_A/2.303 \cdot R$) yararlanılarak aktivasyon enerjileri hesaplandı. Tablo 3.5 incelendiğinde 4-metil katekol, pirogallol ve p-kresol substratları için çizilen grafiklerin eğiminin pozitif, katekol, L-dopa, dopamin gallik asit ve L-tirozin substratları için çizilen grafiklerin eğiminin ise negatif olduğu görüldü. Negatif eğim, pozitif aktivasyon enerjisini verirken, pozitif eğim ilgili substratin negatif aktivasyon enerjisine sahip olduğunu göstermektedir. Bu durum enzimin sıcaklıkla inaktive olduğu şeklinde izah edilebilir. Kimyasal reaksiyonların

çoğunun hızı sıcaklıkla artar. Enzim katalizli reaksiyonlarda buna uyarlar. Fakat enzimler kompleks protein molekülleridir. Katalitik etkinlikleri substrat bağlama ve katalitik merkezlere sahip, son derece düzenli bir yapıya sahip olmalarından kaynaklanır. Bu tersiyer yapı, çok sayıda zayıf kovalent olmayan bağlarla oluşur. Yani enzim çok hassas bir yapı gösterir. Eğer molekül büyük bir enerji absorblarsa tersiyer yapı bozulur ve enzim denatüre olur.

Substrat spesifikliği; optimum pH ve sıcaklıkları belirlenen substratlar için en az beş ayrı substrat konsantrasyonunda enzim aktivite değerleri belirlendi. Elde edilen $1/V_1/[S]$ değerleri ile Lineweaver-Burk grafikleri çizilerek bu grafiklerden K_M ve V_{max} değerleri bulundu.

Katekol, 4-metil katekol, L-dopa, dopamin, gallik asit, pirogallol, tirozin ve p-kresol substratları için bulunan K_M değerleri sırasıyla 7.41×10^{-3} M, 8.64×10^{-3} M, 6.06×10^{-4} M, 2.82×10^{-3} M, 2.64×10^{-3} M, 2.79×10^{-3} M, 8.27×10^{-4} M, ve 8.63×10^{-5} M olarak bulundu. Bu değerlere göre kuşburnu meyvası PPO enziminin çalışılan 8 substrattan, dihidroksi fenollerden L-dopaya, monohidroksifenollerden p-kresole ilgisinin diğerlerine göre daha büyük olduğu görülmektedir. Aynı substratlar için V_{max} değerleri ise sırasıyla, 41.66, 431.96, 45.45; 42.48, 111.11, 111.73, 142.85 ve 40.00 EÜ/ml x dak. olarak belirlendi. Bu değerlerden enzimin üzerinde en etkili olduğu substratın 4-metil katekol olduğu anlaşılmıştır. Farklı kaynaklı PPO enzimleri için katekol substrati ile 3.0×10^{-3} M dan 0.12 M'a kadar değişen K_M değerleri bildirilirken, 4-metil katekol için kayısından elde edilen enzimde K_M değerinin 1.4×10^{-3} M olduğu bildirilmiştir. L-dopa substratının ise patates ve şeker pancarından elde edilen enzim için sırasıyla 1.1×10^{-2} ve 2.0×10^{-3} M K_M değerlerine sahip olduğu bilidirilmektedir³⁵. Pirogallol substratının Yalı armutundan elde edilen PPO enzimi için 2.6×10^{-3} M K_M değeri bulunmuştur. Literatürlerde V_{max} değerlerinin genelde belirtildiği, görüldü. Ancak yalı armutundan izole edilen PPO i için klorogenik asit, pirogallol, katekol ve DL-dopa substratlarıyla bulunan V_{max} değerleri sırasıyla 258, 423, 766 ve 133×10^3 E U.mg⁻¹ dak⁻¹ olarak verilmiştir¹⁵⁶. 4-metil katekol ile bulunan aktivite, katekol ile bulunanandan on kat daha yüksektir. Bu sonuç literatür verileriyle uyum içindedir¹⁵⁹.

İnhibitör çalışmalarında; inhibitör olarak; sodyum metabisülfit, L-sistein, askorbik asit Glutatyon, tiyoüre, sodyum azotür, sodyum dietildiyokarbamat, ditiyoeritritol, tannik asit, benzoik asit ve β-merkaptoetanol için bulunan ortalama Ki değerleri sırasıyla 5.19×10^{-9} M, 5.79×10^{-8} M, 9.83×10^{-8} M, 3.67×10^{-8} M, 5.77×10^{-5} M

4.35×10^{-5} M, 1.53×10^{-8} M, 7.28×10^{-9} M, 1.21×10^{-1} M ve 2.38×10^{-4} M olarak hesaplandı. Söz konusu inhibitörlerden, sodyum dietilditiyokarbamat unkompetetiv (yarı yarışmalı), benzoik asit ve β -merkaptoetanol nonkompetetiv (yarışmasız) inhibisyon etkisi gösterirken, diğer inhibitörlerin kompetetiv (yarışmalı) inhibisyon etkisi gösterdiği belirlendi. Elde ettiğimiz değerlere göre kuşburnu meyvası PPO enziminin en kuvvetli inhibitörü sodyum metabisülfit iken bunu sırasıyla tannik asit, ditiyoeritritol, glutatyan, L-sistein, askorbik asit, tiyoüre, sodyum dietilditiyokarbamat, sodyum azotür, β -merkaptoetanol ve benzoik asit izlemektedir. Ayrıca, sodyum klorür, NaEDTA, etilenglikol ve Tiyodiglikol bileşiklerinin kuşburnu meyvası PPO enzimi üzerindeki inhibisyon etkileri incelenmiş, konsantrasyona bağlı olarak inhibisyon yüzdeleri tablo 3.9'da verilmiştir. Tablo incelendiğinde Benzoik asit gibi, NaEDTA da kuvvetli bir inhibitörü değildir. Tiyodiglikol'un etilen glikola göre daha etkili olduğu ancak yukarıdaki K_i değerleri tesbit edilen bileşiklere göre çok etkisiz olduğu görülmüştür. Sodyum Klorürün ise çok zayıf inhibisyon etkisi, hatta aktivatör özelliği gösterdiği tesbit edilmiştir. Bu durum d'Anjou ve Yali armutları PPO için de gözlendiği bildirilmiştir. Çalışılan inhibitörlerle ilgili olarak K_i sabitleri ve inhibisyon mekanizmalarına ilişkin çalışmalara literatürde rastlanmadı.

Kuşburnu meyvası PPO enzimi için 10 mM 4-metilkatekol substrat konsantrasyonunda %50 inhibisyon sebep olan inhibitör konsantrasyonları (I_{50}) Tablo 3.8'de verilmiştir. Tabloda verilen I_{50} değerleri azalan eki sırasına göre sırasıyla sodyum metabisülfit için 2.10×10^{-5} M, tannik asit için, 2.73×10^{-5} M, Ditiyoeritritol için 3.31×10^{-5} M, sodyum dietilditiyokarbamat için 4.30×10^{-5} M, β -merkaptoetanol için 8.20×10^{-5} M, L-sistein için 1.48×10^{-5} M, askorbik asit için 1.57×10^{-4} M, glutatyan için 3.44×10^{-4} M, tiyoüre için 7.49×10^{-2} M, sodyum azotür için 1.98×10^{-1} M ve benzoik asit için ise 3.47×10^{-1} M dir.

Bu etki sırası K_i değerlerinin sırasıyla çoğunlukla uyuşmaktadır. Yalnız β -merkaptoetanol ile sodyum dietilditiyokarbamatın yerlerinde farklılık vardır. I_{50} değerlerine göre bu iki inhibitörün K_i değerlerine göre K_i durumundan daha etkili olduğu tesbit edilmiştir.

Sıcaklığa denetürasyon ve renetürasyon özelliklerinin araştırılmasında, amonyum sülfat çöktürmesi sonucu elde edilen kuşburnu meyvası PPO enzimi 50°C , 60°C , 70°C , 80°C ve 90°C lerde ayrı ayrı 10, 20, 30, 45 ve 60 dakika sabit sıcaklık sirkülatöründe ısıtılarak aktiviteler ölçüldü. % aktiviteler ısıtma süresine karşı

grafik edildi ve şekil 3.60 gösterildi. Grafik incelendiğinde 60 dakikada ısıtma süresinde aktivitede 50°C, de % 20, 60°C de % 67, 70°C de %78 azalma görülürken 80°C, tamamen denatüre olduğu tesbit edilmiştir. 90°C, de ise enzim 30 dakika içinde tamamen inaktif hale geçmiştir.

İsıyla aktivitesini kaybetmiş yada tamamen denatüre olmuş örneklerin sıcaklıkları 22 °C ye kadar soğutularak 10', 20', 30', 45' ve 60' dakikalarda aktiviteler tayin edildi. 22°C deki inkübasyon süresine karşılık % orijinal aktiviteler şekil 3.61 de grafik halinde verildi. Grafik incelendiğinde 10 dakikada % 80, 20. dakikada %100 orijinal aktivitelerini kazandıkları tesbit edilmiştir. Bu sonuçlar kuşburnu meyvası PPO enziminin ısıyla inaktivasyonu uygun bir metod olmadığı anlaşılmıştır.

Elektroforez çalışması; SDS-poliakrilamid jel elektroforezi PPO enziminin safliğini kontrol etmek amacıyla, bölüm 2.4.3.e'de de anlatıldığı gibi hazırlanan kesikli SDS-poliakrilamid jel elektroforezine numunelerin tatbiki ve elektroforez işleminden sonra çekilen fotoğraf (Şekil 3.4) incelendiğinde 1. ve 2. kanallardaki ham ekstrakt bantın diğer kanallarda görülmemesi enzimin saflaştığını, 3. ve 4. kanallarda amonyum sülfatla saflaştırılmış enzim çözeltisinin ikinci defa amonyum sülfatla çöktürülmesi ile protein miktarının çok fazla olmasından dolayı ayrılmadan olmadığı görülmüştür. 5. ve 6. kanallarda amonyum sülfat sonucu 7. ve 8. kanallarda jel filtrasyon kromatografisi sonucu elde edilen elüatların 1. fraksiyonu (JF₁) ve 9. ve 10. kanallarda jel filtrasyon kromatografisi sonucu elde edilen elüatların 2. fraksiyonu (JF₂) nun bantları görülmektedir. Bu kanallarda ikişer bantın görülmesi enzimin ham ekstrakta göre saflaştırıldığı ve bu bantların izoenzim olabileceği gibi enzimin alt birimleri olduğu da kanaatine varılmıştır.

Kuşburnu meyvası PPO izoenzimlerinin tabii şartlarda poliakrilamid jel elektroforezi ile belirlenmesi amacıyla bölüm 2.4.7'de anlatıldığı gibi enzimin denatürasyonunu önlemek için 8°C'de hazırlanan kesikli poliakrilamid jel elektroforezine amonyum sülfat çöktürmesi sonrası tatbik edilen numunenin elektroforez işlemi sonrası çekilen fotoğrafı Şekil 3.62'de ve ayrıca ikinci olarak jel kanallarından 1. ve 2. kanala amonyum sülfat çöktürmesi sonrası 3. kanala jel filtrasyon kromatografisi sonrası 1. fraksiyon ve 4. kanala ise jel filtrasyon kromatografisi sonucu (2. fraksiyon) elde edilen numunelerin tatbikinden sonra 4-metil katekol substrati ile etkileştirilen jelin çekilen fotoğrafı Şekil 3.63'de gösterilmiştir. İlgili fotoğraflar incelendiğinde jeller üzerinde ikişer bantın görülmesi kuşburnu meyvası PPO enziminin iki izoenziminin varlığını göstermektedir. Ayrıca jel filtrasyon kromatografisinde (Şekil

3.2) iki pik görülmesi ve yine DEAE-selüloz iyon değişim kromatografisinde (Şekil 3.3) de iki pikin belirlenmesi kuşburnu PPO enziminin iki izoenzimi olduğunu göstermektedir. Yine bazı substratların optimum pH ve sıcaklık grafiklerinde de iki pikin görülmeside iki izoenzimin varlığını desteklemektedir.

Sonuç olarak; kuşburnu meyvası PPO enzimi için yapılan bu çalışmada aşağıdaki bulgular elde edilmiştir.

1. Enzimin optimum pH'sı o-dihidroksi substratları için diğer kaynaklı PPO'lara göre farklı bulunmuştur (pH=8.0'ın üzerinde),
2. Optimum sıcaklık çalışmaları hemen hemen bütün çalışılan substratlar için literatürde diğer kaynaklı PPO'lara uygunluk arz etmiştir.
3. Optimum şartlarda yapılan kinetik çalışmalar sonucu enzimin en çok 4-metil katekol substratı üzerinde etkili olduğu anlaşılmıştır ($V_{max} = 431.96$ EÜ/ml dak),
4. İnhibitörlerle yapılan çalışmalarında, elde edilen gerek I_{50} , gerekse K_i sabitlerinden en etkili inhibitörün sodyum metabisülfitin olduğu anlaşılmıştır. Bunu sırasıyla azalan etkinliğe göre tannik asit, ditiyoeritritol, glutatyon, L-sistein, askorbik asit, tiyoüre, sodyum dietilditiyokarbamat, sodyum azotür, β -merkaptoetanol ve benzoik asit takip etmiştir. Bu sonuçlar birçok literatür bilgisi ile uygunluk içindedir.
5. Sıcaklıkla enzimin denatürasyonu deneylerinde, enzimin sıcaklık artısına paralel olarak daha kısa sürede denetüre olduğu, ancak en yüksek sıcaklık olarak seçilen 90°C'de bile sıcaklığın düşürülmesi ile enzimin tekrar renatüre olduğu gözlenmiştir. Bundan dolayı kuşburnu meyvası için gıda işletmeciliğinde ısı ile inaktivasyon işleminin uygun bir metod olmadığı sonucuna varılmıştır.
6. Gerek jel filtrasyon kromatografisi, gerek iyon değişim kromatografisi ile iki pikin bulunması ve tabii elektroforez sonucu 4-metil katekol substratı ile renklendirme sonucu iki bantın gözlenmesi enzimin iki izoenzimi olduğu ancak elektroforezde bir bantın hafif renklenmesi ve dopamin substratı ile renklendirmede bu bantın ortaya çıkmaması bu izoenzim aktivitesinin düşük olduğu kanaati doğmuştur.

KAYNAKLAR

1. Matheis, G. and Belitz, H., 1983, Enzymatic browning of foods., Z. Lebensm Unters For., 176:454-462.
2. Ponting, J.D., 1960, The control of enzymatic browning of fruits, food enzymes., H.W., Schultz, ed., Avi Publ. Co., Inc, Westport, C.T.
3. Paulson, A.T., Vanderstoep, J., and Eaton, G.W., 1979, Effect of giberallic acid and ethepton on enzymatic browning of redhaven peaches., Hort. Science, 14 (6): 711-713.
4. Brown, B.R., 1967, Biochemical aspect of oxidative coupling of phenols in oxidative coupling of phenols., Taylor, W. I. and Battersby A.R., eds., Marcel Dekker, New York ,Chop. 4.
5. Ragazzi, E. and Veranese, G., 1967, Ricerche sulle fenoli oksidasie sul contenuto in o-difenol Delle Olive., Ann. Chim., 57, 1476.
6. Zaprometov, N.N., 1977, Metabolism of phenolic compounds in plants., (Russ.) Biochimie ,42.3.
7. Tolbert, N.E., 1973, Activation of polyphenol oxidase of chloroplast., Plant Physiol, 51, 234.
8. Craft, C.C., 1966, Localization and activity of phenolase in the potato tuber., Am. Potato J., 43,112.
9. Parish, R.W., 1972, The intracellular location of phenol oxidases and peroxidase in stems of spinach beet (*Beta vulgaris L.*), Z, Pflanzenphysiol, 66,176.
10. Harel, E., Mayer, A.M. and Shain, Y., 1964, Catechol oxidases from apples, their properties, subcellular location and inhibition., Plant Physiol. , 17,921.
11. Drawert, F. and Gebbing, H., 1967, Uber Aktiv und Latent Gebundene Phenoloxidase und Ihre Ablösung von Pflanzlichen Zellstrukturen., Naturwissenschaften, 54, 226.

12. Kenten, R.H., 1957, Latent phenolase in extracts of brood bean (*Vicia faba L.*) leaves, I. Activation by acid and alkali., Biochem. J., 67, 300.
13. Siddig M., Sinha, N.K. and Cash, J.N., 1992, Characterization of polyphenoloxidase from stanley plums., J.Food Sci., 57,5,1177-1179.
14. Galeazzi, M., A.M., Sgorbieri, V.C. and Constantinides, S.M., 1981, Isolation, purification and physicochemical characterization of polyphenoloxidases (PPO) from a dwarf variety of banana., J.Food Sci., 46, 150-155.
15. Voigt, J. and Noske, R., 1966, Zur Bestimmung der Polyphenoloxidase Aktivitat II. Orientierende Versuch zur Anwendung der Metode mit Besthorns Reagens in Apfeln., Z.Lebensm Unters, For., 130,9.
16. Blesermann, W., 1956, Oxydation in obst. and obststuften., Mit Geb. Lebensmit Chmters., Hyg, 47,86.
17. Walker,J.R.L.,1962, Studies on the enzymic browning of apple fruit., N.Z.J.Sci., 5, 316.
18. Vamos-Vigyazo,L.,Mihalyi,K.,Gajzago,I. and Nadudvari-Markus, V.,1977, Studies into the enzymic browning and the polyphenol-phenol oxidase complex of apple cultivars., Confructa., 21, 24.
19. Vamos-Vigyazo, L., Mihalyi, K., Gajzago, I. and Nadudvari-Markus, V.,1976, The role of enzym-substrate ratio in the enzymatic browning of fruit tissue homogenates., Acta Aliment Hung., 6, 379.
20. Vamos-Vigyazo, L., Gajzago, I., 1978, Substrat specificity of the enzymic browning of apples., Acta Aliment Hung., 7, 79.
21. Sapers, G.M., 1992, Chitosan enhances control of enzymatic browning in apple and pear juice by filtration., J.Food Sci., 57,5, 1192-1193.
22. Iliescu-Moruju, L., 1969, Activity of oxidases in sweet cherries during growth and maturation., Stud.Cercet. Biochem., 12 ,47.
23. Keleş, F., 1986, Amasya ve golden elmalarının polifenol oksidazları üzerine araştırmalar I. Genel Özellikler., Doğa, D2, 10 (2), 224-234.

24. Yankov, S.J., 1961, Activite et Localisation du Ferment Polyphenoloxydase Dans Certains Fruits., C.R. Acad. Bulg. Sci., 14, 455.
25. Mayer,A.,M.,1987,Polyphenol oxidases in plants-recent progress., Phytochemistry ,26,1,11-20.
26. Arturo,H. J, K., Florence, C.R.P. M-G. and Jacques, J.N., 1990, Inhibition studies on apple polyphenol oxidase., J.Agr.Food Chem., 38 , 4 , 926-931.
27. Ebeling, W.P. and Montgomery, M.W., 1990, Strawberry polyphendoxidase : purification and characterization., J.Food Sci., 55 , 5 , 1315-1319.
28. Kermasha, S., Goetghebeur, M., Monfette, A., Metche, M. and Rovel, B., 1993, Inhibitory effects of cysteine and aromatic acids on tyrosinase activity., Phytochemistry ,34 , 2, 349-353.
29. Valero,E.,Varon,R. and Garcia-Carmona, F., 1990, Inhibition of grape polyphenol oxidase by several natural aliphatic alcohols., J. Agr. Food Chem., 38, 1097-1100.
30. Chen,J.C.,Wei,C.,Rolle,R.,S.,et al.,1991, Inhibitory effect of kojic acid on some plant and crustraccon polyphenol oxidases., J. Agr. Food Chem., 39, 1396-1401.
31. Hsu,A.F.,Shieh,J.J.,Bills,D.D.and White,K.,1988,Inhibition of mushroom polyphenol oxidase by ascorbic acid derivatives.,J.Food Sci.,53,3.,765-771.
32. Cheynier, V. and Ricardo da Silva, J.M., 1991, Oxidation of grape procyanidins in model solutions containing trans-caffeoyleltartaric acid and polyphenol oxidase., J.Agr.Food Chem.,, 39, 1047-1049.
33. Cheynier, Y., Osse, C. and Rigaud, J., 1988, Oxidation of grape juice phenolic compounds in model solutions., J.Food Sci., 53, 6, 1729-1732.
34. Rivas, N.D.J. and Whitaker , J.R., 1973, Purification and some properties two polyphenol oxidases from bartlett pears., Plant Physiol., 52, 501-507.

35. Vamos-Vigyazo, L., 1981, Polyphenol oxidase and peroxidase in fruits and vegetables a review., CRC Crit. Rev., In Food Sci. and Nutrition, 49-123.
36. Matheis, G. and Belitz, H.D., 1977, Studies on enzymic browning of potatoes (*Solanum tuberarum*). III. Kinetics of potato phenol oxidase., Z. Lebensm. Unters. For., 163, 191.
37. Mason, H. S, 1955, Comparative biochemistry of the phenolase complex., Adv. Enzymol. Rel. Subj. Biochem., 16, 105.
38. Heimann, W. and Adler, St., 1962, Über die Hydroxylierende Wirkung der Phenol Oxidase, I. Untersuchung des Systems Sauerstoff-Phenolase-Brenz-Catechin-Hydrochinon., Z.Lebensm. Unters.For., 118, 1.
39. Zaprometov,M.N.,1977,Metabolism of phenolic compounds in plants.,Biochimie., 42,3.
40. Padron, M.P., Lazcano, J.A. and Gonzales, A.G., 1975, Properties of o-diphenol: O₂ oxidoreductase from *Musa cavendishii*., Phytochemistry, 14, 1959.
41. Whitaker, J.R., 1972, Principles of enzymology for the food sciences., Marcel Dekker, New York, Chaps 22 and 24.
42. Bendall, D.S. and Gregory, R.P.F., 1966, Purification of phenol oxidases in enzyme chemistry of phenolic compounds., Pridham, J.B, ed., Pergamon Press, Oxford, 7.
43. Robb, D.A., Magson, L.W. and Swain, T., 1965, On the heterogeneity of the tyrosinase of broad Bean (*Vicia faba*, L.), Phytochemistry, 4, 731.
44. Hyoda, H. and Uritani, I., 1965, Purification and properties of o-diphenol oxidases in sweet potato., J. Biochem., 58, 388.
45. Mathew, A.G. and Parpia, H.A.B., 1971, Food browning as a polyphenol reaction., Adv. Food. Res., 19, 75.
46. Brooks, D.W. and Dawson, Ch.R., 1966, Aspects of tyrosinase chemistry in the biochemistry of copper,peisach., J.B. Arsen, P. and Blumbery, W.E., eds., Academic Press, New York, 343.

47. Bresler, S.E., Kazbekov, F.N., Subhoolova, A.T. and Shadrin, Y.N., 1979, The mechanism of catalysis by o-diphenoloxidase., Biochimie, 44, 741.
48. De Amorim, H.V. and Silva, D.M., 1968, Relationship between the polyphenol oxidase acitivity of coflere beans and the quality of the beverage.,Nature, 219., 381.
49. Herrmann,K.,1974,Über die Phenolischen Inhaltsstoffe des Obstes., Erwerbsastbau, 16, 1.
50. Baruah, P. and Swain, T.,1959, The action of potato phenolase compounds., J. Sci. Food Agr., 10, 125.
51. Swain. T., 1962, Economic importance of flavonoid compounds, In "The chemistry of flavonoid compounds.", Pergamon Press, 513.
52. Frudenberg, K. and weinges, K., 1962, Cateehins and flavonoid compounds. In "The chemistry of flavonoid compaunds.", Pergamon Press, 197.
53. Rosenheim,O.,1920,Observations on anthocyanins. I. the anthocyanins of young leaves of the grape vine., Biochem. J. ,14, 178.
54. Robinson, G., M. and Robinson, R.,1993,A survey of anthocyanins. III. notes on the distobution of leucoanthocyanins., Biochem. J., 27, 206.
55. Ganguly, K. and Seshado T.R., 1958, Isolation of the more commanly occurring leucoanthocyanidins of plants., J. Sci. Ind. Res. Sect. B., 17. 168.
56. Geissman,T.A.,1963,Leucoanthocyanins.In "Aspects of plant phenolic chemistry " (V.C.Reneekles ed.),Plant Phelonic Group of North America,Toronto,p 1.
57. Hayashi, K., 1962, The anthocyanins. In "The chemistry of flavonoid compounds.", Pergamon Press,248.
58. Gripenberg, J., 1962, Flavones In "The chemistry of plavonoid compounds"., Pergamon Press,106.
- 59.Harborne, J.B., 1964, "Biochemistry of phenolic compounds., Academic Press.

60. Sato, M., 1962, The conversion by phenolase of p-coumaric acid to caffeic acid with special reference to the role of ascorbic acid., *Phytochemistry*, 8, 353.
61. Sandheimer, E., 1964, Chlorogenic acids and related depsides., *Bot. Rev.*, 30, 667.
62. Roberts, E.A.H., 1962, Economic importance of flavonoid substances; tea fermentation. In "The chemistry of flavonoid compounds"., Pergamon Press, 465.
63. Walker, J. R. L., 1964, Studies on the enzymic browning of apples II. Properties of apple polyphenol oxidase., *Aust.J. Biol. Sci.*, 17, 360.
64. Stelzig, D. A., Akhtar, S. and Riberio, S., 1972, Catechol oxidase of red delicious apple peel., *Phytochemistry*, 11, 575.
65. Gross, D. and Coombs, J., 1975, Enzymic colour of formation in beet and cane juices., paper presented at the 15 th General Assembly of C.I.T.S., Vienna.
66. Jan, J.J. and Kohler, K.R., 1974, Characterization of polyphenol oxidase in peaches grown in the South east., *Hortscience*, 9, 590.
67. Lanzarini, G., Pifferi, P. G. and Zamoroni, A., 1972, Specificity of an o-diphenol oxidase from prunus avium fruits., *Phytochemistry*, 11, 89.
68. Mayer, A. M., 1962, Inhibition and substrate specificity of lettuce phenolase., *Phytochemistry*, 1, 237.
69. Wildanger, W. and Hermann, K., 1973, Die Phenolischen Inhaltsstoffe des Obstes, II. Die Flavonole des Obstes., *Z.Lebensm. For.*, 151, 103.
70. Aylward, F. and Haisman, T.R., 1969, Oxidation systems in fruits and vegetables their relation to the quality of preserved products., *Adv. Food Res.*, 17, 1.
71. Weurman, C. and Swain ,T., 1955, Changes in the enzymic browning of Bromley's seedling apples during their development., *J. Sci Food Agr.*, 6-186.

72. Fujita, S. and Sano, T., 1976, Oxidation and browning reaction of pyrogallol the polyphenoloxidase from the immature fruit of Satsuma mandarin., Eiyo To Shokuryo,29,457.
73. Cash, J. N., Sistrunk,W.A. and Stuttet,C. A., 1976, Characteristics of concord grape polyphenoloxidase.Involuced in juice colorless.,J.Food Sci.,41, 1398-1402.
74. Augustin, M. A., Ghazali, H, M. and Hashim, H., 1985, Polyphenoloxidase from Guava., J.Sci. Food, Agr., 36, 1259-1265.
75. Mihalyi, K., Vamos-Vigyazo,L., Kisa-Kuts, N. and Babos-Szebeny, G., 1978,The activities of polyphenol oxidase and peroxidase in fruits and vegetables as related to pH and temperature.,Acia Alimgat Acad Sci. Horts, 5, 57.
76. Mayer,A.M. and Harel E.,1968, Laccase like enzyme in peaches.,Phytochemistry, 5, 763.
77. Pulmer, D. K., 1963, Banana polyhendoxidase preparation and proprives.,Plant Physiol., 38, 508.
78. Kaldy, M. S. and Murkakis, T.,1972, The browning of parsnips can., Inst.Food Sci. Techenol. J., 5, 37.
79. Schaller,K.,1972,Zur Bestimmung der Polyphenol Oxidase Activitat in Kartoffelknollen., Z. Lebems Unters For., 150, 211.
80. Ulrich,M.R.,1975,Lefroid et les gualites organoleptiques des produits alimen; aires., REV. Gen. Frond, 12, 1025, A.
81. Anon,A., 1978, Desa activacion desactivacion de polyfenoloxidasa en membrillos., Informacion Tecnica. REV. Agroquim. Tecnol., 18,265.
82. Wong, T. C., Zub, B. S. and Whitaker, J.R., 1971, Isolation and purification of polyphenol oxidase isozymes of Clingstone peach., Plant Physiol.,48, 19.
83. Halim, D. H. and Montgomery, M. W., 1978, Polyphenol oxidase of d'Anjou pears (*Pyruse communis*, L.), J.Food Sci.,43, 603-606.

84. Kohn, V., 1977, Latency properties polyphenol oxidase in two avocado cultivars differing in their rate of browning., J. Sci.Food Agr., 28, 233,
85. Lerner,H.R.,Mayer, A.H. and Harel E.,1972, Evidence for conformational changes in grape catechol oxidase., Phytochemistry, 11,2415.
86. Isbiguro, R-S.R. and Anyama Y., 1970, Studies on the relationship between L-ascorbic acid and o-diphenol oxidase activity in radish., Etyo To Shukoryo, 23, 13.
87. Weaver,M. L., Brown, R. C, and Steen,H. A.,1968,The association of copper whit tyrosinase activity and internal discoloration. In Russel Burbank potatoes., Am.Potato J.,45,132.
88. Mathen, A. G. and Parpia,H. A. B., 1971, Food browning as a polyphenol reaction., Adv. Food Res., 19, 75.
89. Walker, J. R. L., 1975, Enzymic browning in food. A review.,Technol.Deg., 4(3), 89.
90. Sapers, G.M., Garzarella, L. and Pilizota, V.,1990, Application of browning inhibitors to cut apple and potato by vacuum and pressure infiltration., J.Food Sci., 55, 4,1049-1053.
91. Palmer, J. K. and Roberts, J. B., 1967, Inhibition of banana polyphenol oxidase by 2-mercaptobenzthiazole., Science, 157, 200.
92. Galeazzi, M. A. and Sgarbieri, V. C.,1978, Banana polyphenol oxidase varietal differences and partial characterization., Food Sci. Technol., 237.
93. Yosunobu, K.T. and Norris, E.R., 1957, Mechanism of borate inhibition of diphenol oxidation by tyrosinase., J. Biol. Chem., 227, 473.
94. Weser, U., 1968, Hemmeng der o-Diphenol Oxydase Aktivitat Durch Borat und Germanat, Hoppe-Seyler's., Z.Physiol. Chem., 349, 982.
95. Pifferi, P. G., Baldassari, L. and Cultrera, R., 1974, Inhibition by carboxylic acids of an o-diphenol oxidase from prunus avium fruits., J.Sci.Food Agr., 25, 263.

96. Walker, J. R. L. and Wilson, E. L., 1975, Studies on the enzymic browning of apples-inhibition of apple o-diphenol oxidase by phenolic acids., J. Sci. Food Agr., 26, 1825.
97. Walker, J. R. L., 1976, The control of enzymic browning in fruit juices by cinnamic acids., J. Food Technol., 11, 341.
98. Soler-Mahnez, A., Sabater-Garcia, F. and Lozona, J. A., 1965, Inhibidores estructurales de fenolase de albaricique., Rev. Esp. Fisial., 21, 139.
99. Duckworth, H. and Coleman, J.E., 1970, Physicochemical and kinetic properties of mushroom tyrosinase., J. Biol. Chem., 245, 1613.
100. Ndubizu, T. O. C., 1976, Relations of phenolic inhibitors to resistance of immature apple fruits to rot., J. Home, 54, 311.
101. Pierpoint, W. S., 1966, Enzymic oxidation of chlorogenic acid and some reactions of the quinnone produced., Biochem., 98, 567.
102. Jones, J.D., Halme, A.C. and Waoltorton, L.S.C., 1965, Use of poly(vinyl) pyrrolidinone in the isolation of enzymes from chloroplast., Phytochemistry, 4, 659.
103. Khruskeheva, E. P. and Krehin, N. Ya., 1965, Certain physiological-biological indicators in the leaves of various frost resistant varieties of plums., Agro. Biologya, 6, 921.
104. Mayer, A. M., Harel, E. and Shain, Y., 1962, 2,3-Naphthalenediol a specific competitive inhibitor of phenolase., Phytochemistry, 3, 447.
105. Murt, D. P and Morrin, L. L., 1974, Effect on succinic acid 2,2-dimethyl-hydrazone on mushroom o-diphenol oxidase., J. Am. Sec. Home Sci., 3, 99.
106. Tomova, N., Sechenska, M. and Dechev, G., 1966, Phenoloxidase activity in spinach chloroplasts., C.R. Acad. Bulg. Sci., 19, 653.
107. Nakamura, T., Sho, S. and Ogura, Y., 1966, On the purification and properties of mushroom tyrosinase., J. Biochem., 59, 481.

108. Montedoro, G. and Cantarelli, C., 1969, Ricerche sulla polyfenol ocsidase delle uve: III-Stabilità ed inattivazione dell enzima., Ind. Agrar., 7, 323.
109. Wong, C.Y. and Mellenthin, W. M., 1974, Inhibition of friction discoloration on d-Anjou pears by 2-mercaptobenzthiazole., Hortscience, 9, 196.
110. Strübi,P.,Fischer,F.and Neukum, 1975, II, Neucre Arbeiten Über die Technologie des Apfeltektar.Herstelung Ind Obe.,Gemaseverwert., 60, 349.
111. Taufel, K. and Voigt, J., 1964, Zur inhibierenden Wirkung von Ascorbins Auere Gegenüber der Polyphenol Oxidase des Apfels., Z.Lebensm. Unters.For., 126, 19.
112. Singh, K. and Ahlawati, T. R., 1974, Effect of ascorbic acid on tyrosinase of dwarf Mexican wheats., Food, Sci Technol. Abstr., 6(10), 136.
113. Krueger, R. C., 1950, The effect of ascorbic acid on the enzymatic oxidation of monohydric acid on the enzymatic oxidation of monohydric and o-dihydric phenols.,J.Am. Chem. Soc., 72, 5582.
114. Markakis, P., Embs, R.J., 1966,Effect of sulfite and ascorbic acid on mushroom phenol oxidase.,J.Food Sci. ,31, 807.
115. Ponting,J.D.and Jackson, R., 1972,Pre-treezing processing of golden delicious apple slices., J.Food Sci., 37,812.
116. Kertesz, D. and Zito, R., 1965, Mushroom polyphenol oxidase I.Purification and general properties., Biochim. Biophys., Acta.,96, 447.
117. Kertesz,D.and Zito,R., 1962,Phenolase.In "Oxygenases" (O.Hayaichi.ed.) Academic Press New York ,p 307.
118. Mason, H. S., 1956, Structures and Funckions of the Phenolase Complex., Nature (London),177,79.
119. Pierpoint, W. S., 1966, The enzymic oxidation of cholorogenic acid and some reactions of the quinones produced., Biochem. J. ,98,567.

120. Baruah, P., 1963, Role of poly-phenol oxidase in tissue browning respiration., J. Unic. Gauhati., 14, 1.
121. Mason, H. S., 1955b, Reactions between quinones and proteins., Nature (London), 175, 771.
122. Hathway, D. E. and Seakins J. W., 1957b, Enzymatic oxidation of catechin to a polymer structurally related to some phlobatannins., Biochem. J., 67, 239.
123. Flurkey, W. H. and Jen, J.J., 1978, Peroxidase and polyphenol oxidase activities in developing peaches., J. Food Sci., 43, 1826.
124. Sapers, G.M. and Miller, R.L., 1992, Enzymatic browning control in potato with ascorbic acid-2-phosphates., J.Food Sci., 57, 5, 1132-1135.
125. Loomis, W. D. and Battaile, J., 1966, Plant phenolic compounds and the isolations of plant enzymes., Phytochemistry, 5, 423.
126. Loomis, W.D., 1968, Removal of phenolic compounds during the isolations of plant enzymes., Methods Enzymol., 13, 555.
127. Luh, B. S. and Phithakpol, B., 1972, Characteristics of polyphenol oxidase related to browning in Cling peaches., J. Food. Sci., 37, 264.
128. Anisimov, V. D., Kastelava, T. B. and Loginovs, L. N., 1978, Isolation and some properties of potato o-diphenoloxidase., Biochimie, 43, 1616.
129. Constantinides, S. M. and Bedford, C.L., 1967, Multiple forms of phenoloxidase J.Food Sci., 32, 446.
130. Matheis, G. and Belita, H.D., 1979, Multiple forms of soluble monophenol, dihydroxyphenylalanine: oxygen oxidoreductase (E.C.1.14.18.1) from potato tubers., Z. Lebensm. Unters. For., 169, 271.
131. Jolley, R. L. and Mason H. S., 1965, The multiple forms of mushroom tyrosinase interconversion., J. Biol. Chem., 240, 1459.
132. Harel, E., Mayer, A. M. and Lehman, E., 1973, Multiple forms of vitis vinifera catechol oxidase., Phytochemistry , 12, 2649.

133. Ulezlo,I.V.,Uporova,T.M. and Feniksova, R. V.,1975, Study of oxidative enzymes of the ligningrading fungus pleurons astreans.,*Prikl.Biochim. Mikrobiol.*, 11,535.
134. Mayer, A. M., Harel, E. and Ben-Shaul, R., 1966, Assay of catechol oxidase a critical comparison of methods., *Phytochemistry*, 5, 783.
135. Heimann, W. and Andler, St., 1962,*Zur Aktivitätsbestimmung der Polyphenoloxidase I. Untersuchungen Über die Anwendung der Colorimetrischen Methoden.*, *Z. Lebensm. Unters. For.*,117, 121.
136. Mihalyi, K. and Vamos-Vigyazo, L., 1976, A method for determining polyphenol oxidase activity in fruits and vegetables applying a natural substrate., *Acta Aliment. Hung.*,5, 69.
137. Long, T. J. and Alben. J. O., 1969,Preliminary studies of mushroom tyrosinase., *Mushroom Sci.*, 7,69.
138. El-Bayoami, M. A. and Frieden E., 1957, A spectrophotometric method for the determination the catecholase activity of tyrosinase and some of its applications., *J.Am.Chem.Soc.*, 79, 4854.
139. Sussmann, A. S., 1961, A comparison of the properties of two forms of tyrosinase from *Neurospora crassa* *Arch. ,Biochem. Biophys.*, 95, 407.
140. Esterbaruer, H., Schwaral, E. and Hayn, M., 1977, A rapid assay for catecol oxidase and Laccase using 2-nitro-5-thiobenzoic acid., *Anal. Biochem.*, 77, 486.
141. Bonner, W. D.,1957, Soluble oxidases and their functions., *Annu. Rev.Plant Physiol.*,8, 427.
142. Farkas, G. L. and Kiraly, Z., 1962, Role of phenolic compounds in the physiology of plant disease resistance., *Phytopathol. Z.*, 44, 106.
143. Macrae, A. R. and Duggleby, R. G., 1968, Substrates and inhibitors of potato tuber phenolase.,*Phytochemistry*, 7, 855.

144. Khuruskeheva, E.P. and Krehin, N.Y., 1965, Certain, physiological-biological indicators in the leaves of various frost resistant varieties of plums., Agro Biologya, 6, 921.
145. Molchanova, Z. Y., 1966, The role of oxidase in the resistance of grapevines to unfavorable conditions of wintering., Vinodel. Vinograd, SSSR, 26(1), 21.
146. Synge, R. L. M., 1975, Interaction of polyphenols with proteins in plants and plant products., Qual. Plant. Plant Foods Hum. Nutr., 24, 337.
147. Kent, K. N., Harkin, J. N. and Cowling, E.B., 1968, Fungal degradation of lignin. II. Degradation of The lignin model compound syringyl-glycol beta quaiacyl ether by polyporus versicolor and stereum frustularum., Biochim. Biophys. Acta, 165, 145.
148. Gregory, R. P. F. and Bendall, D. S., 1966, The purification and some properties of the polyphenol oxidase from tea (*Camellia sihensis*, L.), Biochem. J., 101, 569.
149. Cemeroğlu, B., 1982, Meyva suyu üretim teknolojisi., Ankara Teknik Basım Sanayii Matbaası.
150. Walker, J. R. L., 1977, Enzymic browning in foods : It's chemistry and control., Food Technology in New Zeland, 12, 3, 19-25.
151. Segel, I. H., 1968, Biichemical calculation., John Wiley and Sons, Inc., New York, 403.
152. Bradford, M., 1976, A rapid and sensitive method for the quantitation of microgram quantites of protein utilizing the principle of protein-dye binding., Anal. Biochem., 72, 248.
153. Ponting, J.D. and Joslyn, M.A., 1948, Ascorbic acid oxidation and the browning in apple-tissue extracts., Arch. Biochem., 19, 47-63.
154. Laemmly, D. K., 1970, Cleavage of structural proteins during in assembly of the heat of bacterophose T4., Nature (London), 227-680.

155. Park, E. Y. and Luh, B. S., 1985, Polyphenol oxidase of kiwi fruit., J.Food Sci., Vol., 50, 678-684.
156. Zhou, H. W. and Feng,X., 1991,Polyphenol oxidase from Yali pear., J. Sci. Food Agr., 57,307-313.
157. Jaenicke, L., 1984, Proteinbestimmung, Einführung in The Praxis des Biochemikers.,Köln, 27.
158. Rendina, G., 1971, Quantitive determination of protein by the Biüret reaction. experimental methods in modern biochemistry., W.B. Saunders Company, London, 75.
159. Wesche-Ebeling, P. and Montgomery,M.,1990, Strawberry polyphenol oxidase : extraction and partial characterization., J.Food Sci., 56,5,1320-1324.
160. Oktay, M.,1992,Amasya elmasından izole edilen polifenol oksidaz enziminin kinetik ve elektroforetik özelliklerinin araştırılması.,(Doktora Tezi),,Atatürk Üniversitesi Fen Bilimleri Enstitüsü.